

## UNIVERSIDAD NACIONAL AUTONOMA DE MEXICO

## **FACULTAD DE QUIMICA**

TRATAMIENTO DE VINAZAS EMPLEANDO REACTORES ANAEROBIOS AVANZADOS (UASB Y FA) CON ELIMINACION DE H<sub>2</sub>S

T E S I S

QUE PARA OBTENER EL TITULO DE

INGENIERO QUIMICO

PRESENTA:

FERNANDO DE JESUS RODRIGUEZ RIVERA

México, D. F.

1993

TESIS CON FALLA DE CRASEN





# UNAM – Dirección General de Bibliotecas Tesis Digitales Restricciones de uso

# DERECHOS RESERVADOS © PROHIBIDA SU REPRODUCCIÓN TOTAL O PARCIAL

Todo el material contenido en esta tesis está protegido por la Ley Federal del Derecho de Autor (LFDA) de los Estados Unidos Mexicanos (México).

El uso de imágenes, fragmentos de videos, y demás material que sea objeto de protección de los derechos de autor, será exclusivamente para fines educativos e informativos y deberá citar la fuente donde la obtuvo mencionando el autor o autores. Cualquier uso distinto como el lucro, reproducción, edición o modificación, será perseguido y sancionado por el respectivo titular de los Derechos de Autor.

## INDICE GENERAL

1	INTRODUCCION.	1
2	ORIGEN Y CARACTERIZACION DE LA VINAZA	3
2.1. 2.2 2.3	Procesos para la elaboración de alcohol etílico. Características del agua residual a tratar. Volumen de vinaza producida en México.	3 7 12
3	FUNDAMENTOS DE LA DIGESTION ANAEROBIA.	15
	Características generales de la digestión	15
3.1	Características generales de la digestión anaerobia.	15
3.1.1 3.1.2 3.1.3 3.1.4	Hidrólisis - Fermentación. Acetogénesis. Metanogénesis. Sulfatorreducción	15 17 19 20
3.2	Efecto de las condiciones fisicoquímicas del medio en la digestón anaerobia.	22
3.2.1 3.2.2 3.2.3 3.2.4	pH y los equilibrios gas - líquido. Alcalinidad. Temperatura. Nutrientes y sustancias tóxicas a la digestión anaerobia.	22 26 27 28
4	PROCESOS DE DIGESTION ANAEROBIA	38
4.1	Reactores anaerobios	38
4.1.1	Parámetros importantes en la operación y estudio de los reactores anaeropios.	39
4.1.2	Reactores anaerobios de primera generación. Fosa séptica. Tanque Imhoff. Lagunas anaerobias.	41 41 42 42
	Digestor anaerobio convencional. Digestor anaerobio completamente mezclado.	42 43
	Reactores de contacto anaerobio.	43
4.1.3	Reactores anaerobios de segunda generación. Filtro anaerobio. Reactor tubular de película fija	44 44
4.1.4	Reactor de lecho de lodos (UASB). Reactores anaerobios de tercera generación.	45 45

4.2.1 Utilidad de los gases. 4.2.1 Vilidad de los gases. 4.2.2 Solubilidad en agua de los principales gases. 4.2.3 Propiedades corrosivas y tóxicas (para el ser humano).  4.3 Proceso existentes para purificar los gases producidos en la digestión anaerobia. 51 Eliminación de K.O (vapor). 52 Reacción con sólidos. 62 Reacción con sóluciones alcalinas regenerables. 54 Empleo de etanol - aminas. 65 Absorción en aqua. 66 Absorción en carbonato de propileno. 67 Absorción en etanol 68 Separación mediante membranas permeables a gases. 68 Absorción en liquidos. 69 Formación de H.S. 69 Reacción con sólidos. 60 Reacción con súlidos. 60 Reacción con súlidos. 61 Reacción de H.S. 62 Reacción mediante membranas permeables a gases. 63 Reacción mediante membranas permeables a gases. 64 Reacción con óxidos de hierro. 65 Reacción con óxidos de hierro. 66 Reacción con óxidos de hierro. 67 Reacción es con sales de hierro. 68 Reacción con sales de hierro. 69 Reacción por complejos. 61 Uso de oxígeno. 61 Oxidación por complejos. 61 Procesos sugeridos. 61 Procesos sugeridos. 62 TRATAMIENTO ANAEROBIO DE AGUAS RESIDUALES ACIDAS Y ELEVADO CONTENIDO DE SULFATOS 63 Procesos para el tratamiento de aguas con elevada concentración de sulfatos o sulfitos. 64 Antecedentes experimentales inmediatos. 65 Procesos para el tratamiento de aguas residuales por vía anaerobia con recirculación. 68 Antecedentes experimentales inmediatos. 69 Planta piloto. 60 Reactores de laboratorio. 61 Reactores de laboratorio. 62 Reactores de laboratorio. 63 Reactores de laboratorio. 64 Reactores de laboratorio. 65 Reactores de laboratorio. 66 Reactores de laboratorio. 67 Reactores de laboratorio. 68 Reactores de laboratorio. 69 Reactores de laboratorio.		4 -	Gases obtenidos en el proceso de digestión	46
4.2.1 Utilidad de los gases. 4.2.2 Solubilidad en agua de los principales gases. 4.2.3 Propiedades corrosivas y tóxicas (para el ser humano).  4.3 Proceso existentes para purificar los gases producidos en la digestión anaerobia. 51 Eliminación de H.O (vapor). 52 Reacción con sólidos. 64.3.2 Eliminación de CÓ. 65 Reacción con soluciones alcalinas regenerables. 65 Reacción con soluciones alcalinas regenerables. 66 Absorción en agua. 67 Absorción en metanol 68 Absorción en metanol 69 Separación mediante membranas permeables a gases. 68 Absorción en ledidos. 69 Formación de H.S. 69 Absorción de sulfuros metálicos. 69 Reacción con óxidos de hierro. 60 Empleo de óxido de zinc y acetato de zinc. 60 Oxidación a azufre elemental. 61 Uso de oxígeno. 62 Oxidación por complejos. 63 TRATAMIENTO ANAEROBIO DE AGUAS RESIDUALES 64 ACIDAS Y ELEVADO CONTENIDO DE SULFATOS 65 Tratamiento anaerobio de aguas con elevada 66 concentración de sulfatoros o sulfitos. 67 Procesos para el tratamiento de aguas residuales 68 por vía anaerobia con recirculación. 69 Planta piloto. 60 Reactores de laboratorio. 60 Reactores de laboratorio. 61 Procesos para el inmediatos. 61 Planta piloto. 62 Reactores de laboratorio.		4.2		40
4.2.2   Solubilidad en agua de los principales gases.		4.2.1	Utilidad de los dages.	47
A.2.3   Propiedades corrosivas y tóxicas (para el ser humano).   49				48
A.3				
4.3 Proceso existentes para purificar los gases producidos en la digestión anaerobia. 51 4.3.1 Eliminación de H.O (vapor). 51 4.3.2 Eliminación de CÓ., 52 Reacción con sólidos. 52 Reacción con soluciones alcalinas regenerables. 54 Empleo de etanol - aminas. 55 Absorción en agua. 56 Absorción en metanol 57 Separación mediante membranas permeables a gases. 57 Mallas moleculares. 58 4.3.3 Eliminación de H.S. 58 Absorción en líquidos. 59 Formación de sulfuros metálicos. 59 Reacción con óxidos de hierro. 59 Reacción con óxidos de hierro. 60 Empleo de óxido de zinc y acetato de zinc. 60 Oxidación a azufre elemental. 61 Uso de oxígeno. 61 4.3.4 Procesos sugeridos. 64  5 TRATAMIENTO ANAEROBIO DE AGUAS RESIDUALES ACIDAS Y ELEVADO CONTENIDO DE SULFATOS 71 5.1 Efectos tóxicos de los sulfuros a la digestión anaerobia. 71 5.2 Tratamiento anaerobio de aguas con elevada concentración de sulfatos o sulfitos. 77 5.3 Procesos para el tratamiento de aguas residuales por vía anaerobia con recirculación. 84 Antecedentes experimentales inmediatos. 93 Planta piloto. 93 Reactores de laboratorio. 93 Reactores de laboratorio. 94		7.2.3		49
Producidos en la digestión anaerobia.   51			induatio).	•••
Producidos en la digestión anaerobia.   51		4.3	Proceso existentes para purificar los gases	
4.3.1 Eliminación de H.O (vapor).  4.3.2 Eliminación de CÓ. Reacción con sólidos. Reacción con sólidos. Reacción con soluciones alcalinas regenerables.  52 Empleo de etanol - aminas. Absorción en agua. Absorción en carbonato de propileno. 56 Absorción en metanol 57 Separación mediante membranas permeables a gases. 58 Eliminación de H.S. 58 Absorción en ligúidos. 59 Formación de sulfuros metálicos. 59 Reacción con óxidos de hierro. 59 Reacción con óxidos de hierro. 60 Empleo de óxido de zinc y acetato de zinc. 61 Uso de oxígeno. 61 Uso de oxígeno. 61 Vidación por complejos. 61 4.3.4 Procesos sugeridos. 62 TRATAMIENTO ANAEROBIO DE AGUAS RESIDUALES 63 ACIDAS Y ELEVADO CONTENIDO DE SULFATOS 64 Tratamiento anaerobio de aguas con elevada 65 Concentración de sulfatos o sulfitos. 65 Procesos para el tratamiento de aguas residuales 65 por vía anaerobia con recirculación. 66 Antecedentes experimentales inmediatos. 67 Planta piloto. 68 Planta piloto. 69 Planta piloto. 69 Panta procesos inmediatos. 60 Panta procesos para el tratamiento de aguas residuales 60 Planta piloto. 60 Planta piloto. 61 Procesos para el tratamiento de aguas residuales 63 Planta piloto. 64 Planta piloto. 65 Planta piloto. 66 Planta piloto. 67 Planta piloto. 68 Planta piloto. 69 Planta piloto. 69 Planta piloto. 60 Planta piloto. 60 Planta piloto. 61 Planta piloto. 61 Planta piloto. 62 Planta piloto. 63 Planta piloto. 64 Planta piloto.				51
4.3.2 Eliminación de CÓ. Reacción con sólidos. Reacción con soluciones alcalinas regenerables. Empleo de etanol - aminas. Absorción en aqua. Absorción en carbonato de propileno. 56 Absorción en metanol Separación mediante membranas permeables a gases. 57 Mallas moleculares. 58 4.3.3 Eliminación de H.S. Absorción en liquidos. Formación de sulfuros metálicos. 59 Reacción con óxidos de hierro. 59 Reacción con óxidos de hierro. 60 Empleo de óxido de zinc y acetato de zinc. 60 Oxidación a azufre elemental. 61 Uso de oxígeno. 61 4.3.4 Procesos sugeridos. 62 5 TRATAMIENTO ANAEROBIO DE AGUAS RESIDUALES ACIDAS Y ELEVADO CONTENIDO DE SULFATOS 51 Efectos tóxicos de los sulfuros a la digestión anaerobia. 5.2 Tratamiento anaerobio de aguas con elevad concentración de sulfatos o sulfitos. 77 5.3 Procesos para el tratamiento de aguas residuales por vía anaerobia con recirculación. 84 Antecedentes experimentales inmediatos. 93 Planta piloto. 93 Reactores de laboratorio. 94		4.3.1		51
Reacción con sólidos.   52     Reacción con soluciones alcalinas regenerables.   54     Empleo de etanol - aminas.   55     Absorción en agua.   56     Absorción en carbonato de propileno.   56     Absorción en metanol   57     Separación mediante membranas permeables a gases.   57     Mallas moleculares.   58     Alsorción en líquidos.   59     Formación de sulfuros metálicos.   59     Reacción con óxidos de hierro.   59     Reacción con óxidos de hierro.   60     Empleo de óxido de zinc y acetato de zinc.   60     Oxidación a azufre elemental.   61     Uso de oxígeno.   61     Uso de oxígeno.   61     4.3.4   Procesos sugeridos.   64     TRATAMIENTO ANAEROBIO DE AGUAS RESIDUALES   ACIDAS Y ELEVADO CONTENIDO DE SULFATOS   71     Efectos tóxicos de los sulfuros a la digestión   anaerobia.   71     Tratamiento anaerobio de aguas con elevada   concentración de sulfatos o sulfitos.   77     Procesos para el tratamiento de aguas residuales   por vía anaerobia con recirculación.   84     Antecedentes experimentales inmediatos.   93     Planta piloto.   93     Reactores de laboratorio.   94				52
Reacción con soluciones alcalinas regenerables. 54 Empleo de etanol - aminas. 55 Absorción en aqua. 56 Absorción en carbonato de propileno. 56 Absorción mediante membranas permeables a gases. 57 Mailas moleculares. 58 4.3.3 Eliminación de H.S. 58 Absorción en líqüidos. 59 Formación de sulfuros metálicos. 59 Reacción con óxidos de hierro. 59 Reacción con óxidos de hierro. 60 Coxidación a sugre elemental. 61 Uso de oxígeno. 61 Oxidación por complejos. 61 4.3.4 Procesos sugeridos. 64  5 TRATAMIENTO ANAEROBIO DE AGUAS RESIDUALES ACIDAS Y ELEVADO CONTENIDO DE SULFATOS 71 5.1 Efectos tóxicos de los sulfuros a la digestión anaerobia. 71 5.2 Tratamiento anaerobio de aguas con elevada concentración de sulfatos o sulfitos. 77 5.3 Procesos para el tratamiento de aguas residuales por vía anaerobia con recirculación. 84 Antecedentes experimentales inmediatos. 93 Planta piloto. 93 Reactores de laboratorio. 94	17.50			52
Empleo de etanol - aminas. 55 Absorción en agua. 56 Absorción en carbonato de propileno. 56 Absorción en metanol 57 Separación mediante membranas permeables a gases. 57 Mallas moleculares. 58 Eliminación de M.S. 58 Absorción en líquidos. 59 Formación de sulfuros metálicos. 59 Reacción con óxidos de hierro. 59 Reacción con óxidos de hierro. 60 Empleo de óxido de zinc y acetato de zinc. 60 Oxidación a azufre elemental. 61 Uso de oxígeno. 61 Uso de oxígeno. 61 4.3.4 Procesos sugeridos. 64  5 TRATAMIENTO ANAEROBIO DE AGUAS RESIDUALES ACIDAS Y ELEVADO CONTENIDO DE SULFATOS 71  5.1 Efectos tóxicos de los sulfuros a la digestión anaerobia. 71 5.2 Tratamiento anaerobio de aguas con elevada concentración de sulfatos o sulfitos. 77 5.3 Procesos para el tratamiento de aguas residuales por vía anaerobia con recirculación. 84 Antecedentes experimentales inmediatos. 93 Planta piloto. 93 Reactores de laboratorio. 94				54
Absorción en agua. Absorción en carbonato de propileno. Absorción en metanol Separación mediante membranas permeables a gases. Separación de H.S. Separación de H.S. Separación en liquidos. Separación en liquidos. Separación con óxidos de hierro. Separación con óxidos de hierro. Separación con óxidos de hierro. Separación en con sales de hierro. Separación en con sales de hierro. Separación de sulfuro. Separación de sulfuro. Separación de contrental. Separación de sulfaces. Separación de sulfaces o sulfaces. Separación de sulfaces o sulfitos. Separación de sulfaces de separación de sulfitos de s				55
Absorción en carbonato de propileno.  Absorción en metanol 57 Separación mediante membranas permeables a gases. 57 Mallas moleculares. 58 4.3.3 Eliminación de M.S. Absorción en líqüidos. 59 Formación de sufuros metálicos. 59 Reacción con óxidos de hierro. 59 Reacciones con sales de hierro. 59 Reacción de sufuros metálicos. 60 Empleo de óxido de zinc y acetato de zinc. 60 Oxidación a azufre elemental. 61 Uso de oxígeno. 61 4.3.4 Procesos sugeridos. 63  5 TRATAMIENTO ANAEROBIO DE AGUAS RESIDUALES ACIDAS Y ELEVADO CONTENIDO DE SULFATOS 5.1 Efectos tóxicos de los sulfuros a la digestión anaerobía. 5.2 Tratamiento anaerobío de aguas con elevada concentración de sulfatos o sulfitos. 5.3 Procesos para el tratamiento de aguas residuales por via anaerobía con recirculación. 5.4 Antecedentes experimentales inmediatos. 93 Planta piloto. 93 Reactores de laboratorio. 94		er et al. a.		
Absorción en metanol Separación mediante membranas permeables a gases. Separación mediante membranas permeables a gases.  4.3.3 Eliminación de H.S. Absorción en liquidos. Formación de sulfuros metálicos. Reacción con óxidos de hierro. Separación en sales de hierro. Reacciones con sales de hierro. Reacciones con sales de hierro. Separación de exigeno. Oxidación a azufre elemental. Uso de oxígeno. Oxidación por complejos. 61 4.3.4 Procesos sugeridos. 64  5 TRATAMIENTO ANAEROBIO DE AGUAS RESIDUALES ACIDAS Y ELEVADO CONTENIDO DE SULFATOS 71 5.1 Efectos tóxicos de los sulfuros a la digestión anaerobia. 71 5.2 Tratamiento anaerobio de aguas con elevada concentración de sulfatos o sulfitos. 77 75.3 Procesos para el tratamiento de aguas residuales por vía anaerobia con recirculación. 84 Antecedentes experimentales inmediatos. 93 Planta piloto. 93 Reactores de laboratorio.				
Separación mediante membranas permeables a gases. 57 Mallas moleculares. 58 Eliminación de H <sub>2</sub> S. 58 Absorción en liquidos. 59 Formación de sulfuros metálicos. 59 Reacción con óxidos de hierro. 59 Reacción con óxidos de hierro. 60 Empleo de óxido de zinc y acetato de zinc. 60 Oxidación a azufre elemental. 61 Uso de oxígeno. 61 Uso de oxígeno. 61 Vaidación por complejos. 61 4.3.4 Procesos sugeridos. 64  5 TRATAMIENTO ANAEROBIO DE AGUAS RESIDUALES ACIDAS Y ELEVADO CONTENIDO DE SULFATOS 71  5.1 Efectos tóxicos de los sulfuros a la digestión anaerobia. 71 anaerobia. 71 5.3 Procesos para el tratamiento de aguas cesiduales por vía anaerobia con recirculación. 84 Antecedentes experimentales inmediatos. 93 Planta piloto. 93 Reactores de laboratorio. 93 Reactores de laboratorio. 99			Absorción en metanol	
Mailas moleculares.   58				
4.3.3 Eliminación de H.S. 58 Absorción en liqüidos. 59 Formación de sulfuros metálicos. 59 Reacción con óxidos de hierro. 59 Reacción con óxidos de hierro. 60 Empleo de óxido de zinc y acetato de zinc. 60 Oxidación a azufre elemental. 61 Uso de oxígeno. 61 Uso de oxígeno. 61 4.3.4 Procesos sugeridos. 61  TRATAMIENTO ANAEROBIO DE AGUAS RESIDUALES ACIDAS Y ELEVADO CONTENIDO DE SULFATOS 71  5.1 Efectos tóxicos de los sulfuros a la digestión anaerobia. 71 5.2 Tratamiento anaerobio de aguas con elevada concentración de sulfatos o sulfitos. 77 5.3 Procesos para el tratamiento de aguas residuales por vía anaerobia con recirculación. 84 Antecedentes experimentales inmediatos. 93 Planta piloto. 93 Reactores de laboratorio. 94				
Absorción en ligididos. 59 Formación de sulfuros metálicos. 59 Reacción con óxidos de hierro. 59 Reacción con óxidos de hierro. 60 Empleo de óxido de zinc y acetato de zinc. 60 Oxidación a azufre elemental. 61 Uso de oxígeno. 61 4.3.4 Procesos sugeridos. 61  TRATAMIENTO ANAEROBIO DE AGUAS RESIDUALES ACIDAS Y ELEVADO CONTENIDO DE SULFATOS 71  5.1 Efectos tóxicos de los sulfuros a la digestión anaerobia. 71 5.2 Tratamiento anaerobio de aguas con elevada concentración de sulfatos o sulfitos. 77 5.3 Procesos para el tratamiento de aguas residuales por vía anaerobia con recirculación. 84 Antecedentes experimentales inmediatos. 93 Planta piloto. 93 Reactores de laboratorio. 94		4.3.3		
Formación de sulfuros metálicos.  Reacción con óxidos de hierro.  Reacciones con sales de hierro.  Empleo de óxido de zinc y acetato de zinc.  Oxidación a azufre elemental.  Uso de oxígeno.  Oxidación por complejos.  Efectos sugeridos.  TRATAMIENTO ANAEROBIO DE AGUAS RESIDUALES ACIDAS Y ELEVADO CONTENIDO DE SULFATOS  Tatamiento anaerobia.  Tatamiento anaerobio de aguas con elevada concentración de sulfatos o sulfitos.  Procesos para el tratamiento de aguas residuales por vía anaerobia con recirculación.  Antecedentes experimentales inmediatos.  Planta piloto.  Reactores de laboratorio.  93 Reactores de laboratorio.				
Reacción con óxidos de hierro. Reacciones con sales de hierro. Empleo de óxido de zinc y acetato de zinc. Oxidación a azufre elemental. Uso de oxígeno. Oxidación por complejos. 61 4.3.4 Procesos sugeridos. 65  TRATAMIENTO ANAEROBIO DE AGUAS RESIDUALES ACIDAS Y ELEVADO CONTENIDO DE SULFATOS 66  5.1 Efectos tóxicos de los sulfuros a la digestión anaerobia. 67  5.2 Tratamiento anaerobio de aguas con elevada concentración de sulfatos o sulfitos. 67  5.3 Procesos para el tratamiento de aguas residuales por vía anaerobia con recirculación. 68  5 Antecedentes experimentales inmediatos. 93 Planta piloto. 93 Reactores de laboratorio. 94				
Reacciones con sales de hierro. 60 Empleo de óxido de zinc y acetato de zinc. 60 Oxidación a azufre elemental. 61 Uso de oxigeno. 61 Oxidación por complejos. 61 4.3.4 Procesos sugeridos. 64  5 TRATAMIENTO ANAEROBIO DE AGUAS RESIDUALES ACIDAS Y ELEVADO CONTENIDO DE SULFATOS 71  5.1 Efectos tóxicos de los sulfuros a la digestión anaerobia. 71  5.2 Tratamiento anaerobio de aguas con elevada concentración de sulfatos o sulfitos. 77  5.3 Procesos para el tratamiento de aguas residuales por vía anaerobia con recirculación. 84  Antecedentes experimentales inmediatos. 93 Planta piloto. 93 Reactores de laboratorio. 94				
Empleo de 6xido de zinc y acetato de zinc. 60 Oxidación a azufre elemental. 61 Uso de oxígeno. 61 A.3.4 Procesos sugeridos. 61  TRATAMIENTO ANAEROBIO DE AGUAS RESIDUALES ACIDAS Y ELEVADO CONTENIDO DE SULFATOS 71  5.1 Efectos tóxicos de los sulfuros a la digestión anaerobia. 71  5.2 Tratamiento anaerobio de aguas con elevada concentración de sulfatos o sulfitos. 77  5.3 Procesos para el tratamiento de aguas residuales por vía anaerobia con recirculación. 84 Antecedentes experimentales inmediatos. 93 Planta piloto. 93 Reactores de laboratorio. 94				
Oxidación a azufre elemental. Uso de oxígeno. Oxidación por complejos. 61 4.3.4 Procesos sugeridos. 62  5 TRATAMIENTO ANAEROBIO DE AGUAS RESIDUALES ACIDAS Y ELEVADO CONTENIDO DE SULFATOS 71  5.1 Efectos tóxicos de los sulfuros a la digestión anaerobia. 71  5.2 Tratamiento anaerobio de aguas con elevada concentración de sulfatos o sulfitos. 77  5.3 Procesos para el tratamiento de aguas residuales por vía anaerobia con recirculación. 84  Antecedentes experimentales inmediatos. 93 Planta piloto. 93 Reactores de laboratorio. 94				
Uso de oxígeno. Oxidación por complejos. 61 4.3.4 Procesos sugeridos. 62  5 TRATAMIENTO ANAEROBIO DE AGUAS RESIDUALES ACIDAS Y ELEVADO CONTENIDO DE SULFATOS 71  5.1 Efectos tóxicos de los sulfuros a la digestión anaerobia. 71  5.2 Tratamiento anaerobio de aguas con elevada concentración de sulfatos o sulfitos. 77  5.3 Procesos para el tratamiento de aguas residuales por vía anaerobia con recirculación. 5.4 Antecedentes experimentales inmediatos. 93 Planta piloto. 93 Reactores de laboratorio. 94				
Oxidación por complejos. 61  4.3.4 Procesos sugeridos. 64  5 TRATAMIENTO ANAEROBIO DE AGUAS RESIDUALES ACIDAS Y ELEVADO CONTENIDO DE SULFATOS 71  5.1 Efectos tóxicos de los sulfuros a la digestión anaerobia. 71  5.2 Tratamiento anaerobio de aguas con elevada concentración de sulfatos o sulfitos. 77  5.3 Procesos para el tratamiento de aguas residuales por vía anaerobia con recirculación. 84  5.4 Antecedentes experimentales inmediatos. 93  Planta piloto. 93  Reactores de laboratorio. 94				
4.3.4 Procesos sugeridos. 64  TRATAMIENTO ANAEROBIO DE AGUAS RESIDUALES ACIDAS Y ELEVADO CONTENIDO DE SULFATOS 71  5.1 Efectos tóxicos de los sulfuros a la digestión anaerobia. 71  Tratamiento anaerobio de aguas con elevada concentración de sulfatos o sulfitos. 77  5.3 Procesos para el tratamiento de aguas residuales por vía anaerobia con recirculación. 84  5.4 Antecedentes experimentales inmediatos. 93  Planta piloto. 93  Reactores de laboratorio. 94				
5 TRATAMIENTO ANAEROBIO DE AGUAS RESIDUALES ACIDAS Y ELEVADO CONTENIDO DE SULFATOS 71  5.1 Efectos tóxicos de los sulfuros a la digestión anaerobia. 71  5.2 Tratamiento anaerobio de aguas con elevada concentración de sulfatos o sulfitos. 77  5.3 Procesos para el tratamiento de aguas residuales por vía anaerobia con recirculación. 84  5.4 Antecedentes experimentales inmediatos. 93 Planta piloto. 93 Reactores de laboratorio. 94		A 3 A		
ACIDAS Y ELEVADO CONTENIDO DE SULFATOS 71  5.1 Efectos tóxicos de los sulfuros a la digestión anaerobia. 71  5.2 Tratamiento anaerobio de aguas con elevada concentración de sulfatos o sulfitos. 77  5.3 Procesos para el tratamiento de aguas residuales por vía anaerobia con recirculación. 84  5.4 Antecedentes experimentales inmediatos. 93  Planta piloto. 93  Reactores de laboratorio. 94		4.5.4	11.00coos Bagerraos.	04
ACIDAS Y ELEVADO CONTENIDO DE SULFATOS 71  5.1 Efectos tóxicos de los sulfuros a la digestión anaerobia. 71  5.2 Tratamiento anaerobio de aguas con elevada concentración de sulfatos o sulfitos. 77  5.3 Procesos para el tratamiento de aguas residuales por vía anaerobia con recirculación. 84  5.4 Antecedentes experimentales inmediatos. 93  Planta piloto. 93  Reactores de laboratorio. 94				
5.1 Efectos tóxicos de los sulfuros a la digestión anaerobia. 71 5.2 Tratamiento anaerobio de aguas con elevada concentración de sulfatos o sulfitos. 77 5.3 Procesos para el tratamiento de aguas residuales por vía anaerobia con recirculación. 84 5.4 Antecedentes experimentales inmediatos. 93 Planta piloto. 93 Reactores de laboratorio. 94		5	TRATAMIENTO ANAEROBIO DE AGUAS RESIDUALES	
anaerobia. 71  5.2 Tratamiento anaerobio de aguas con elevada concentración de sulfatos o sulfitos. 77  5.3 Procesos para el tratamiento de aguas residuales por vía anaerobia con recirculación. 84  5.4 Antecedentes experimentales inmediatos. 93  Planta piloto. 93  Reactores de laboratorio. 94			ACIDAS Y ELEVADO CONTENIDO DE SULFATOS	71
anaerobia. 71  5.2 Tratamiento anaerobio de aguas con elevada concentración de sulfatos o sulfitos. 77  5.3 Procesos para el tratamiento de aguas residuales por vía anaerobia con recirculación. 84  5.4 Antecedentes experimentales inmediatos. 93  Planta piloto. 93  Reactores de laboratorio. 94				
5.2 Tratamiento anaerobio de aguas con elevada concentración de sulfatos o sulfitos. 77 5.3 Procesos para el tratamiento de aguas residuales por vía anaerobia con recirculación. 84 5.4 Antecedentes experimentales inmediatos. 93 Planta piloto. 93 Reactores de laboratorio. 94		5.1	Efectos tóxicos de los sulfuros a la digestión	
concentración de sulfatos o sulfitos. 77 5.3 Procesos para el tratamiento de aguas residuales por vía anaerobia con recirculación. 84 5.4 Antecedentes experimentales inmediatos. 93 Planta piloto. 93 Reactores de laboratorio. 94			anaerobia.	71
concentración de sulfatos o sulfitos. 77 5.3 Procesos para el tratamiento de aguas residuales por vía anaerobia con recirculación. 84 5.4 Antecedentes experimentales inmediatos. 93 Planta piloto. 93 Reactores de laboratorio. 94		5.2	Tratamiento anaerobio de aguas con elevada	
por vía anaerobia con recirculación. 84 5.4 Antecedentes experimentales inmediatos. 93 Planta piloto. 93 Reactores de laboratorio. 94				77
por vía anaerobia con recirculación. 84 5.4 Antecedentes experimentales inmediatos. 93 Planta piloto. 93 Reactores de laboratorio. 94		5.3	Procesos para el tratamiento de aguas residuales	
5.4 Antecedentes experimentales inmediatos. 93 Planta piloto. 93 Reactores de laboratorio. 94				84
Planta piloto. 93 Reactores de laboratorio. 94		5.4		
Reactores de laboratorio. 94				

6 PLANTEAMIENTO DEL TRABAJO EXPERIMENTAL 98 6.1 Objetivos de la investigación. 98 6.2 Descripción del os procesos empleados. 100 6.3 Descripción del equipo de proceso empleado. 101 6.4 Parámetros y técnicas analíticas 108 6.5 Condiciones de operación 109  7 RESULTADOS Y DISCUSION 114 7.1 Descripción de los períodos de operación. 114 7.2 Eficiencia en la remoción de materia orgánica. 114 7.3 pH y Alcalinidad. 122 7.4 Producción y composición del gas. 124  8 CONCLUSIONES 131 BIBLIOGRAFIA 134 APENDICE 1 TECNICAS DE ANALISIS 139 Alcalinidad Demanda química de oxígeno (DQO) Sulfatos Sulfatos Sulfatos Análisis de gases Sólidos APENDICE 2 RESULTADOS EXPERIMENTALES 155			
6.1 Objetivos de la investigación. 98 6.2 Descripción de los procesos empleados. 100 6.3 Descripción del equipo de proceso empleado. 101 6.4 Parámetros y técnicas analíticas 108 6.5 Condiciones de operación 109  7 RESULTADOS Y DISCUSION 114 7.1 Descripción de los períodos de operación. 114 7.2 Efficiencia en la remoción de materia orgánica. 114 7.3 pH y Alcalinidad. 122 7.4 Producción y composición del gas. 124  8 CONCLUSIONES 131 BIBLIOGRAFIA 134 APENDICE 1 TECNICAS DE ANALISIS 139 Alcalinidad Demanda química de oxígeno (DQO) Sulfatos Sulfatos Sulfatos Análisis de gases Sólidos			
6.1 Objetivos de la investigación. 98 6.2 Descripción de los procesos empleados. 100 6.3 Descripción del equipo de proceso empleado. 101 6.4 Parámetros y técnicas analíticas 108 6.5 Condiciones de operación 109  7 RESULTADOS Y DISCUSION 114 7.1 Descripción de los períodos de operación. 114 7.2 Efficiencia en la remoción de materia orgánica. 114 7.3 pH y Alcalinidad. 122 7.4 Producción y composición del gas. 124  8 CONCLUSIONES 131 BIBLIOGRAFIA 134 APENDICE 1 TECNICAS DE ANALISIS 139 Alcalinidad Demanda química de oxígeno (DQO) Sulfatos Sulfatos Sulfatos Análisis de gases Sólidos			
6.1 Objetivos de la investigación. 98 6.2 Descripción de los procesos empleados. 100 6.3 Descripción del equipo de proceso empleado. 101 6.4 Parámetros y técnicas analíticas 108 6.5 Condiciones de operación 109  7 RESULTADOS Y DISCUSION 114 7.1 Descripción de los períodos de operación. 114 7.2 Efficiencia en la remoción de materia orgánica. 114 7.3 pH y Alcalinidad. 122 7.4 Producción y composición del gas. 124  8 CONCLUSIONES 131 BIBLIOGRAFIA 134 APENDICE 1 TECNICAS DE ANALISIS 139 Alcalinidad Demanda química de oxígeno (DQO) Sulfatos Sulfatos Sulfatos Análisis de gases Sólidos			
6.1 Objetivos de la investigación. 98 6.2 Descripción de los procesos empleados. 100 6.3 Descripción del equipo de proceso empleado. 101 6.4 Parámetros y técnicas analíticas 108 6.5 Condiciones de operación 109  7 RESULTADOS Y DISCUSION 114 7.1 Descripción de los períodos de operación. 114 7.2 Efficiencia en la remoción de materia orgánica. 114 7.3 pH y Alcalinidad. 122 7.4 Producción y composición del gas. 124  8 CONCLUSIONES 131 BIBLIOGRAFIA 134 APENDICE 1 TECNICAS DE ANALISIS 139 Alcalinidad Demanda química de oxígeno (DQO) Sulfatos Sulfatos Sulfatos Análisis de gases Sólidos			
6.1 Objetivos de la investigación. 98 6.2 Descripción de los procesos empleados. 100 6.3 Descripción del equipo de proceso empleado. 101 6.4 Parámetros y técnicas analíticas 108 6.5 Condiciones de operación 109  7 RESULTADOS Y DISCUSION 114 7.1 Descripción de los períodos de operación. 114 7.2 Efficiencia en la remoción de materia orgánica. 114 7.3 pH y Alcalinidad. 122 7.4 Producción y composición del gas. 124  8 CONCLUSIONES 131 BIBLIOGRAFIA 134 APENDICE 1 TECNICAS DE ANALISIS 139 Alcalinidad Demanda química de oxígeno (DQO) Sulfatos Sulfatos Sulfatos Análisis de gases Sólidos		· · · · · · · · · · · · · · · · · · ·	
6.2 Descripción de los procesos empleados. 100 6.3 Descripción del equipo de proceso empleado. 101 6.4 Parámetros y técnicas analíticas 108 6.5 Condiciones de operación 109  7 RESULTADOS Y DISCUSION 114 7.1 Descripción de los períodos de operación. 114 7.2 Eficiencia en la remoción de materia orgánica. 114 7.3 pH y Alcalinidad. 122 7.4 Producción y composición del gas. 124  8 CONCLUSIONES 131 BIBLIOGRAFIA 134 APENDICE 1 TECNICAS DE ANALISIS 139 Alcalinidad Demanda química de oxígeno (DQO) Sulfatos Sulfuros Análisis de gases Sólidos	6	PLANTEAMIENTO DEL TRABAJO EXPERIMENTAL	98
6.3 Descripción del equipo de proceso empleado. 6.4 Parámetros y técnicas analíticas 108 6.5 Condiciones de operación 109  7 RESULTADOS Y DISCUSION 114  7.1 Descripción de los períodos de operación. 114 7.2 Eficiencia en la remoción de materia orgánica. 114 7.3 pH y Alcalinidad. 122 7.4 Producción y composición del gas. 124  8 CONCLUSIONES 131  BIBLIOGRAFIA 134  APENDICE 1 TECNICAS DE ANALISIS 139 Alcalinidad Demanda química de oxígeno (DQO) Sulfatos Sulfatos Sulfatos Sulfuros Análisis de gases Sólidos	6.1	Objetivos de la investigación.	
6.4 Parámetros y técnicas analíticas 6.5 Condiciones de operación  7 RESULTADOS Y DISCUSION  114  7.1 Descripción de los períodos de operación. 114  7.2 Eficiencia en la remoción de materia orgánica. 114  7.3 pH y Alcalinidad. 122  7.4 Producción y composición del gas.  8 CONCLUSIONES 131  BIBLIOGRAFIA 134  APENDICE 1 TECNICAS DE ANALISIS Alcalinidad Demanda química de oxígeno (DQO) Sulfatos Sulfuros Análisis de gases Sólidos		Descripción de los procesos empleados.	
7 RESULTADOS Y DISCUSION 114  7.1 Descripción de los períodos de operación. 114  7.2 Eficiencia en la remoción de materia orgánica. 114  7.3 pH y Alcalinidad. 122  7.4 Producción y composición del gas. 124  8 CONCLUSIONES 131  BIBLIOGRAFIA 134  APENDICE 1 TECNICAS DE ANALISIS Alcalinidad Demanda química de oxígeno (DQO)  Sulfatos Sulfuros Análisis de gases Sólidos		Descripción del equipo de proceso empleado.	
7 RESULTADOS Y DISCUSION 114 7.1 Descripción de los períodos de operación. 114 7.2 Eficiencia en la remoción de materia orgánica. 114 7.3 pH y Alcalinidad. 122 7.4 Producción y composición del gas. 124  8 CONCLUSIONES 131 BIBLIOGRAFIA 134 APENDICE 1 TECNICAS DE ANALISIS 139 Alcalinidad Demanda química de oxígeno (DQO) Sulfatos Sulfuros Análisis de gases Sólidos		Parametros y tecnicas analiticas	
7.1 Descripción de los períodos de operación. 114 7.2 Eficiencia en la remoción de materia orgánica. 114 7.3 pH y Alcalinidad. 122 7.4 Producción y composición del gas. 124  8 CONCLUSIONES 131 BIBLIOGRAFIA 134 APENDICE 1 TECNICAS DE ANALISIS 139 Alcalinidad Demanda química de oxígeno (DQO) Sulfatos Sulfuros Análisis de gases Sólidos	6.5	Condiciones de operación	109
7.1 Descripción de los períodos de operación. 114 7.2 Eficiencia en la remoción de materia orgánica. 114 7.3 pH y Alcalinidad. 122 7.4 Producción y composición del gas. 124  8 CONCLUSIONES 131 BIBLIOGRAFIA 134 APENDICE 1 TECNICAS DE ANALISIS 139 Alcalinidad Demanda química de oxígeno (DQO) Sulfatos Sulfuros Análisis de gases Sólidos			
7.2 Eficiencia en la remoción de materia orgánica. 114 7.3 pH y Alcalinidad. 122 7.4 Producción y composición del gas. 124  8 CONCLUSIONES 131  BIBLIOGRAFIA 134  APENDICE 1 TECNICAS DE ANALISIS 139 Alcalinidad Demanda química de oxígeno (DQO) Sulfatos Sulfuros Analisis de gases Sólidos	<b>7</b>	RESULTADOS Y DISCUSION	114
7.2 Eficiencia en la remoción de materia orgánica. 114 7.3 pH y Alcalinidad. 122 7.4 Producción y composición del gas. 124  8 CONCLUSIONES 131  BIBLIOGRAFIA 134  APENDICE 1 TECNICAS DE ANALISIS 139 Alcalinidad Demanda química de oxígeno (DQO) Sulfatos Sulfuros Analisis de gases Sólidos	7.1	Descripción de los períodos de operación.	114
7.3 pH y Alcalinidad. 7.4 Producción y composición del gas.  8 CONCLUSIONES 131 BIBLIOGRAFIA 134 APENDICE 1 TECNICAS DE ANALISIS Alcalinidad Demanda química de oxígeno (DQO) Sulfatos Sulfuros Análisis de gases Sólidos		Eficiencia en la remoción de materia orgánica.	
8 CONCLUSIONES 131 BIBLIOGRAFIA 134 APENDICE 1 TECNICAS DE ANALISIS 139 Alcalinidad Demanda química de oxígeno (DQO) Sulfatos Sulfuros Sulfuros Análisis de gases Sólidos	7.3	pH y Alcalinidad.	122
BIBLIOGRAFIA 134  APENDICE 1 TECNICAS DE ANALISIS 139 Alcalinidad Demanda química de oxígeno (DQO) Sulfatos Sulfuros Análisis de gases Sólidos	7.4	Producción y composición del gas.	124
BIBLIOGRAFIA 134  APENDICE 1 TECNICAS DE ANALISIS 139 Alcalinidad Demanda química de oxígeno (DQO) Sulfatos Sulfuros Análisis de gases Sólidos			
APENDICE 1 TECNICAS DE ANALISIS 139 Alcalinidad Demanda química de oxígeno (DQO) Sulfatos Sulfuros Análisis de gases Sólidos	8	CONCLUSIONES	131
Alcalinidad Demanda química de oxígeno (DQO) Sulfatos Sulfuros Análisis de gases Sólidos		BIBLIOGRAFIA	134
Sulfatos Sulfuros Análisis de gases Sólidos		Alcalinidad	139
		Sulfatos Sulfuros Análisis de gases	
APENDICE 2 RESULTADOS EXPERIMENTALES 155		Solidos	
		APENDICE 2 RESULTADOS EXPERIMENTALES	155
		•	
	•		
tion in the company of the company of the company of the company of the company with the company were company			
	****	talitati kalendari kan kalendari kalendari kalendari kata bara bara bara bara bara bara bara b	
			10 march 10

#### 1 INTRODUCCION

La vinaza es un efluente producido durante la destilación de alcohol etílico. Este efluente presenta una elevada cantidad de materia orgánica que causa un grave problema ambiental, para el cual no existe aún legislación referente a los valores límite a los que deben ceñirse sus descargas.

El establecimiento de una Norma Técnica Ecológica referente a esta industria puede provocar graves dificultades en su cumplimiento, lo que acarrearía multas o clausuras con sus respectivas consecuencias ecónomicas y sociales.

Por lo anterior, es necesario estudiar la forma de tratar adecuadamente estos desechos, considerando que todo contaminante es una sustancia no aprovechada a la que se le debería encontrar un fin útil. Con tal perspectiva se realizó esta investigación a nivel laboratorio para estudiar el tratamiento secundario de los desechos (originados 1a alcoholera) consistentes en la. corriente de fondo (vinaza) que proviene de la torre destilación (mediante arrastre con vapor) que separa etanol de una mezcla obtenida al fermentar melaza de caña por vía anaerobia. Para ello se empleron dos reactores avanzados tipo flujo ascendente con lecho de lodos (UASB). El establecimiento de estos

Los diferentes tratamientos a las aguas residuales se pueden clasificar en:
Pretratamiento, eliminación de sólidos de tamaño considerable.

Primario, separación de sólidos suspendidos. Secundario, eliminación de materia orgánica disuelta en el agua.

Terciario, purificación final del aqua.

procesos básicos y su modificación, buscando mejores condiciones de operación al remover algunos gases producidos (como  ${\rm H_2S}$  y  ${\rm CO_2}$ ), son la parte fundamental en este trabajo de tesis.

Las actividades se desarrollaron dentro de un proyecto global del Instituto de Ingeniería de la UNAM que incluye trabajo a nivel planta piloto (en el ingenio Alianza Popular ubicado en Tambaca, S.L.P.) donde se emplearon reactores anaerobios tipo UASB y también tipo filtro anaerobio, así como pruebas sobre degradabilidad biológica del efluente.

## 2 ORIGEN Y CARACTERIZACION DE LA VINAZA.

## 2.1. Proceso de elaboración del alcohol etílico.

En México, la elaboración de alcohol etílico está intimamente relacionada con la producción de azúcar. En algunos casos, los ingenios cuentan con una fábrica de alcohol, ya que la materia prima empleada en ella es la miel incristalizable, llamada también miel final o melaza, subproducto de la fabricación de azúcar (Fig. 2.1). La melaza no es, empero, la única materia prima usada ya que el empleo de azúcares fermentables como sustrato hace posible el uso de jugo de caña concentrado o incluso de soluciones de azúcar [23].

La reacción de fermentación alcóholica de la glucosa que permite la obtenición de etanol es:

$$C_6H_{12}O_6$$
 ----> 2  $CH_3CH_2OH$  + 2  $CO_2$  [62]

El proceso de elaboración de alcohol etilico comienza diluyendo el sustrato con agua caliente hasta alcanzar entre 20 y 22º Brix²; se añade ácido sulfúrico para ajustar el pH entre 4.0 y 4.5 unidades obeniendo así una mezcla que se denomina "mosto fresco".

Con el mosto fresco se alimentan el pasteurizador, el tanque de mezclado y la tina de fermentación.

En el pasteurizador se agregan además  ${\rm (NH_4)}_2{\rm SO}_4$  y  ${\rm (NH_4)}_3{\rm PO}_4$  necesarios para el desarrollo de las levaduras empleadas; de ahí pasa al tanque de preparación de levadura donde se agrega levadura seleccionada, que se desarrolla en el mosto hasta alcanzar una

Los grados Brix especifican la concentración de sacarosa en disolución acuosa; se definen como los gramos de sacarosa que contienen 100 gramos de disolución; es decir, el % en peso de sacarosa.

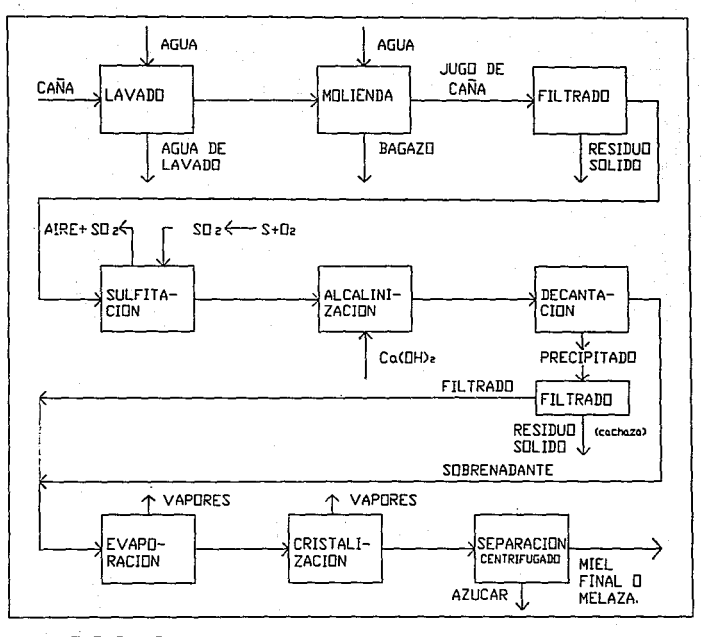


FIGURA 2.1 PROCESO PARA LA PRODUCCION DE AZUCAR

concentración conveniente (madurez de la levadura) para enviarla al tanque de mezclado donde se une a la corriente de mosto fresco; con la mezcla se llenan las tinas de fermentación. Esta se realiza entre 20 v 30°C. la reacción es exotérmica siendo necesario que las tinas tengan un sistema de enfriamiento. Cuando se desea detener la fermentación, se permite que la temperatura alcance 38°C lo que inactiva a las levaduras obteniendo un producto llamado "mosto muerto" que consiste en etanol formado v otros productos, restos de sustrato, materia en suspensión, levadura empleada y la levadura generada. Esta serie de reacciones realizadas por lotes requieren de 28 a 72 horas y el producto es las operaciones de separación que consisten fundamentalmente en una serie de destilaciones. En la figura 2.2 se presenta el diagrama de flujo de proceso correspondiente a una planta para la obtención de etanol. El diagrama está tomado de Noyola, Briones y Jiménez [36].

Primeramente, el mosto muerto alimenta una columna de destilación por arrastre de vapor llamada fraccionadora o destrozadora (en otros países el mosto muerto es enviado primero a una separación por centrifugación con objeto de recuperar la levadura); de ella se obtienen como productos una mezcla de vapores que está formada principalmente por agua, alcoholes y aldehidos (8 a 10 OGL 3) que sirven de alimentación a la columna depuradora. Los productos de

<sup>&</sup>lt;sup>3</sup>Grados GL; Gay-Lussac representan la concentración de alcohol etílico en disolución, definido como volumen de alcohol en 100 mL de mezcla a 15 C.

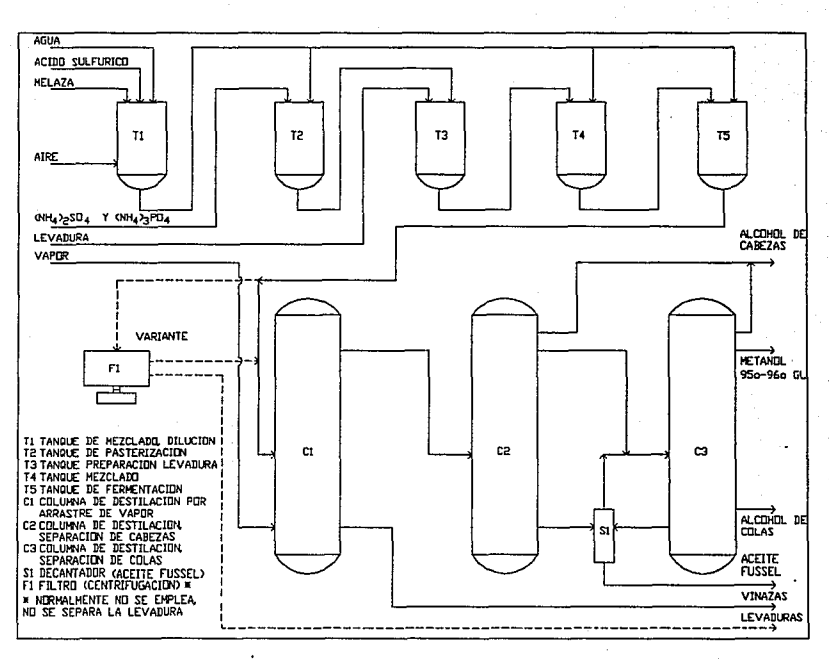


FIGURA 2.2 PROCESO PARA LA ELABORACION DE ETANOL

fondo de la primera columna son un residuo y se conocen como vinaza, siendo este el efluente tratado anaerobiamente durante la fase experimental de esta tesis.

El producto del domo de la fraccionadora pasa a una torre de destilación con calentamiento indirecto llamada columna depuradora. De ella se obienen dos productos:

Las cabezas, formadas por metanol, etanol, y aldehidos junto con otras impurezas.

La corriente de fondo del la columna es una mezcla de alcoholes sin aldehidos, de la cual son separados, por diferencia de densidades, los acoholes superiores de alto peso molecular (amílico, isoamílico, propílico etc.).

La corriente constituida por alcoholes (cabezas), principalmente etanol, es mandada a una tercera columna que también opera por calentamiento indirecto; en ésta se obtiene etanol de 95 - 96 OGL por el domo, mientras que en la parte inferior se obtienen las llamadas colas que se encuentran contaminadas por alcoholes amílicos.

En el proceso, grandes volúmenes de agua son requeridos para la generación de vapor y como agua de enfriamiento. A pesar de esto, la mayor parte de la contaminación generada por la fábrica de alcohol se encuentra en las vinazas; la descarga de éstas es de 10 a 12 L por litro de etanol de 96°GL producido.

Características del agua residual a tratar (vinaza).
 Partiendo del proceso para la fabricación de azúcar (Fig. 2.1), se

puede observar que se busca eliminar del jugo de caña original (mediante sulfitación, alcalinización y precipitación ), materia en suspensión, materia colorante, partículas y coloides que se forman a pH elevado, así como oxidar los compuestos ferrosos a férricos (mediante la sulfitación). Se obtiene así una solución lo más libre de impurezas posible, a partir de la cual se cristaliza el azúcar de caña (sacarosa). Esta solución además de sacarosa contiene glucosa y fructosa, resultado de 1a hidrólisis (inversión) de la sacarosa así como otras sustancias producidos por la caña de azúcar: diversos azúcares, aceites orgánicos [35]. De la cristalización y separación del azúcar, se obtiene el centrifugado, que corresponde a las mieles finales o melazas, el cual es el sustrato usual de la fermentación alcóholica. En la tabla 2.1 se muestra un una composición característica para melazas provenientes de caña.

Tabla 2.1. COMPOSICION CARACTERISTICA REPORTADA PARA MELAZA.

Compuesto	Porcentaje en peso.
н <sub>2</sub> о	20
Sacarosa	32
Glucosa	14
Fructosa	14
Compuestos nitrogenados, y otro	os orgánicos 10
к <sub>2</sub> о	3.5
CaO	1.5
P2O5	0.2
Carbonatos (Como CO3)	1.6
Sulfatos (Como SO <sub>4</sub> )	0.4
Otros	0.8
Densidad típica	1.42 kg/L

Fuente: P. Honig [23].

De aquí se puede comenzar a dilucidar cuales son los componentes característicos de la vinaza, ya que a los presentados en la tabla 2.1 sólo hay que incluir sulfato de amonio, fosfato de amonio, ácido sulfúrico, así como las levaduras afiadidas a las melazas para su fermentación. Durante ésta, una gran parte de los azúcares contenidos las melazas 65 utilizado convirtiéndose en principalmente en etanol; la mezcla fermentada constituye el llamado mosto muerto. Este, en la primera columna es destilado por arrastre de vapor y la mayor parte de los compuestos volátiles (principalmente etanol) son separados en esa misma columna.

Se obtiene un destilado constituido fundamentalmente por etanol y, por otra parte, un residuo, la vinaza, que contiene una gran cantidad de materia orgánica, proveniente en parte de las levaduras empleadas en la fermentación, una alta concentración de sulfatos y de sólidos en suspensión [35].

Estas características son relativamente comunes a todas las vinazas ya que el proceso empleado es semejante en todo el mundo<sup>4</sup>, tal y como se puede apreciar por los datos de la caracterización de vinazas que se muestran a continuación (tablas 2.2 a 2.5). Las causas más importantes de variación en las características de la vinaza, son por una parte las debidas al sustrato empleado (melaza, jugo de caña o incluso algún otro) y por otra las referentes al proceso empleado, que consisten en si se recuperaron o no las levaduras antes de mandar el mosto muerto a la

<sup>&</sup>lt;sup>4</sup>El adelanto más reciente en la elaboración de etanol para consumo humano (proceso bioquímico de fermentación), consiste en el empleo de levaduras inmovilizadas en un gel que permiten trabajar con reactores a régimen permanente (alimentación contínua) alcanzando conversiones entre el 95 y 98% con una concentración de etanol en el efluente de entre 8 y 11% en volumen [56].

destilación. Si se separa la levadura, la cantidad de materia orgánica disminuye. De acuerdo con Carbajal [6], se reduce en un 80% la demanda bioquímica de oxígeno (DBO), que representa aproximadamente un 60% de la demanda química de oxígeno (DQO). Según Honig [23], por cada m³ de melaza se pueden producir 120 kg de CO<sub>2</sub>, 9 kg de levadura para alimento, 35 kg de levadura para panificación, 315 L de alcohol puro, 9.2 L de alcohol de cabezas más alcohol de colas y 1 L de aceite fusel [23]. Si se acepta la relación de 12 L de vinaza generada por cada litro de alcohol producido, se deben obtener 3780 L de vinaza por m³ de melaza. Esto representa la eliminación de 11.64 g de levadura por litro de vinaza producido.

En México no se acostumbra recuperar la levadura formada. Para ello se requiere separar por centrifugación la levadura del producto de la fermentación, lo que complica en cierta forma el proceso. Además, para obtener levadura de características óptimas se require mantener un gran control sobre el sustrato empleado (melazas), que en su obtención debe de ser enfriado rápidamente cuando es separado de los cristales de azúcar para evitar la inversión de la sacarosa, y debe de procesarse rápidamente. Existe también el problema de que la melaza puede varíar grandemente en sus características debido a los problemas tenidos en el proceso de elaboración del azúcar.

Estas características del proceso de recuperación de levaduras desalientan su uso en las destiladoras que tienen por objetivo principal la producción de etanol.

Tabla 2.2. COMPOSICION CARACTERISTICA REPORTADA PARA VINAZA. FUENTE: Secretaría de Recursos Hidráulicos [46].

pн	4.6
DBO	91520
DQO*	22000
Nitrógeno orgánico	446
Grasas y aceites	2
STT	97222
STF	27226
STV	69996
SST	33400
Sólidos Sedimentables	1.0
Sólidos Disueltos	63822
Foefatoe Totales	1250

\* Nota: Se reporta un DQO menor al DBO lo cual no es posible por lo que asumiendo un error de tipografía en el documento original, el DQO debe de ser 122000mg/L lo cual sería razonable.

Todos los valores en mg/L excepto Sol. Sedimentables (mL/L) y pH.
Tabla 2.3. COMPOSICION CARACTERISTICA REPORTADA PARA VINAZA.

			_		
FUENTE:	Reis	et	al.	T421	

рн	4.01	±	0.05
DQO	40900	±	4600
STT	46600	±	5000
STV	32100	±	2600
SST	4000	±	1200
ssv	3500	±	830
so <sub>4</sub> -2	4650	±	450
Hierro *	32	<u>+</u>	3.06
Nitrógeno	620	±	45
F6sforo	125	±	5

<sup>\*</sup> Incluye Hierro añadido no contenido inicialmente en la vinaza. Todos los valores en mg/L excepto pH.

Table 2.4. COMPOSICION CARACTERISTICA REPORTADA PARA VINAZA

FUENTE:	Valdés	У	colaboradores;	[53].
pН				4.2
DQOt				69060
DQOs				64040
DQOV				11520
Nt				730
n-nh <sup>+</sup>				310
P				150
Ca				2960
Mg				1370
Na				310
ĸ				2550
so <sub>4</sub> -2				2670
ST				61260
STF				15220
STV				46030
SST				3350
ssv				2840
SSF				610
SDV				43230
SDS				14770
SDT				59990

DQOv = DQO volátil a 103 °C.
Todos los valores en mg/L excepto pH.

## 2.3Volumen de vinaza producido en México.

En México, la producción de alcohol etílico se realiza principalmente por procesos bioquímicos, a partir de melazas (mieles incristalizables) gracias a la gran cantidad de este subproducto que se obtiene de la elaboración de azúcar. Los países que no disponen de melazas obtiene etanol para uso industrial vía hidratación catalítica del etileno (proceso petroquímico). Pemex

Tabla 2.5. COMPOSICION CARACTERISTICA REPORTADA PARA VINAZA.

FUENTE: Instituto de Indeniería, UNAM [35] на 4.8 SSV 9300 98100 STT STF 27400 STV 70700 9500 SSF Doot 93800 90100 BQ0s N-NH 100 1700 640 4200 18800

Todos los valores en mg/L excepto pH.

canceló un proyecto para producir 50000 toneladas por año, aproximadamente  $64000 \text{ m}^3$  al año, en un complejo que se localizaría en Laguna Ostión. Veracruz [13].

Para producir 1  $m^3$  de alcohol del 95% se requieren en forma aproximada 2.4  $m^3$  de mieles incristalizables, 20 kg de  $H_2SO_4$ , 18 kg de  $(NH_4)_2SO_4$ , 6 Ton de vapor, 10  $m^3$ de agua de proceso, 43  $m^3$ de agua de enfriamiento y 30 kWh de energía electrica [13]. Por tanto, entran al proceso 2.4  $m^3$  de mieles, 0.01  $m^3$  de  $H_2SO_4$  y 10  $m^3$  de agua de proceso, 10 que da un total de 12.41  $m^3$  de los cuales 11.41 corresponderían a la vinaza. Esto concuerda con la estimación [35] de que por cada litro de alcohol se producen de 10 a 12L de vinza. Considerando que por cada  $m^3$  de alcohol se producen 12 de vinaza podemos estimar la producción de vinaza a partir de la de alcohol como se muestra en la tabla 2.6.

Tabla 2.6. Producción anual reportada de etanol y estimación de la vinaza producida en México.Fuentes 1974-1980 [13], 1981-1987 [3].

Año	Etanol m <sup>3</sup> /año	Vinaza m <sup>3</sup> /año
1974	57900	694800
1975	69800	837600
1976	57800	693600
1977	73000	883200
1978	80600	967200
1979	88400	1060800
1980	88000	1056000
1981	55834	670008
1982	55616	667392
1983	71180	854160
1984	67572	810864
1985	77551	930612
1986	72833	873996
1987	69671	836052

Nota: La producción de vinaza fue estimada a partir de la producción de etanol: (12 L vinaza / L de alcohol).

Con respecto a los sulfatos, del balance de materia se tiene que 2700 mg/L de vinaza provienen de los reactivos añadidos durante la fermentación, mientras que los compuestos contenidos en las melazas aportan 570 mg/L (de acuerdo a la tabla 2.1), que da un total de 3270 mg/L de sulfatos en las vinazas. Este valor teórico se aproxima a los resultados experimentales mostrados en las tablas 2.3 a 2.5 para vinazas producidas en diferentes países.

#### 3 FUNDAMENTOS DE LA DIGESTION ANAEROBIA

3.1. Características generales de la digestón anaerobia.

La digestión anaerobia es la degradación bacteriana de un sustrato orgánico, que puede estar formado por carbohidratos, lípidos y proteínas, en ausencia de oxígeno hasta formar  ${\rm CO_2}$  y  ${\rm CH_4}$ . Esta degradación se realiza fundamentalmente en tres fases sucesivas: hidrólisis - fermentación<sup>5</sup>, acetogénesis y metanogénesis (figura 3.1).

#### 3.1.1. Hidrólisis - fermentación.

En la hidrólisis, los componentes del sustrato que tienen alto peso molecular son desdoblados en moléculas más sencillas (celulosa glucosa, proteinas en aminoácidos en Simultáneamente, en la fermentación, las moléculas sencillas del sustrato son transformadas en ácidos carboxílicos de bajo peso molecular (ácidos grasos volátiles o AGV) como ácido acético. propiónico, butírico y valérico; en alcoholes (metanol, etanol); CO, e hidrógeno.

<sup>5</sup>Los mecanismos de fermentación se encuentran entre aquellos que los seres vivos utilizan para la obtención de energía sin el empleo de oxígeno.

Constan de dos partes: En la primera, la materia orgánica es oxidada por la pérdida de átomos de hidrógeno; en el segundo paso, la materia orgánica es reducida por los átomos de hidrógeno que se eliminaron en el primer paso. En este proceso no se regresa a la sustancia original; se producen sustancias más sencillas, de ello la obtención de energía.

Como ejemplo, en la fermentación alcóholica de la glucosa se obtienen dos moléculas de bióxido de carbono y dos de etanol a partir de cada moléculas debióxido de Carbono, la energía obtenida consiste en dos moléculas de ADP transformada a ATP [59].

Cofizo 4 20P -----> 2002 + 2CH-CH2OH + 2ATP

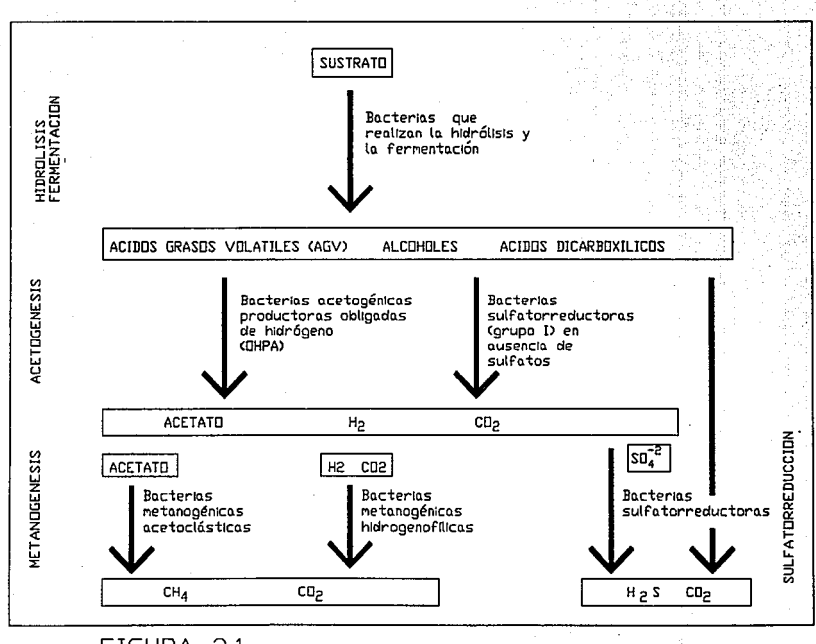


FIGURA 3.1 ESQUEMA DE LA DIGESTION ANAEROBIA

Las bacterias que realizan estas reacciones son quimioheterótrofas, que pueden ser anaerobias facultativas (con la capacidad de vivir en un medio que contenga oxígeno molecular e incluso emplearlo) o anaerobias estrictas (no pueden vivir en presencia de oxígeno molecular en el medio).

## 3.1.2. Acetogénesis.

En esta fase, los productos de la hidrólisis y la fermentación son transformados en acetato, CH<sub>3</sub>COO<sup>-</sup>; hidrógeno, H<sub>2</sub>; y dióxido de carbono, CO<sub>2</sub>. Estas reacciones son realizadas por bacterias acetogénicas (es decir, generadoras de ácido acético) que son productoras obligadas de hidrógeno u OHPA ("obligate hydrogen producing acetogens"):

$$CH_3CH_2OH + H_2O -----> CH_3COO^- + H^+ + 2H_2$$

$$2G^O 9.6 kJ/mol ^6[17]$$

$$CH_3CH_2COO^- + 3H_2O -----> CH_3COO^- + H^+ + 3H_2O + HCO_3^-$$

$$\Delta G^O 76.1 kJ/mol [17]$$

Estas bacterias son inhibidas por el hidrógeno que producen; la figura 3.2 [29, 49], muestra los intervalos de presión parcial de  $\rm H_2$  donde es posible que se realicen algunas reacciones de acetogénesis y de metanogénesis, cuyos  $\rm \Delta G^6$  deben ser negativos para ser realizables. Se observa que respecto a la acetogénesis la presión parcial debe ser menor a  $\rm 10^{-0.5}$ atm a partir de etanol y a

 $<sup>^6</sup>$   $_{\Lambda}$  G°, la variación en la energía libre de Gibbs en condicioens estándar, es sólo una referencia de la factibilidad termodinámica de las reacciones presentadas, ya que éstas no se realizan precisamente a las condiciones estándar.

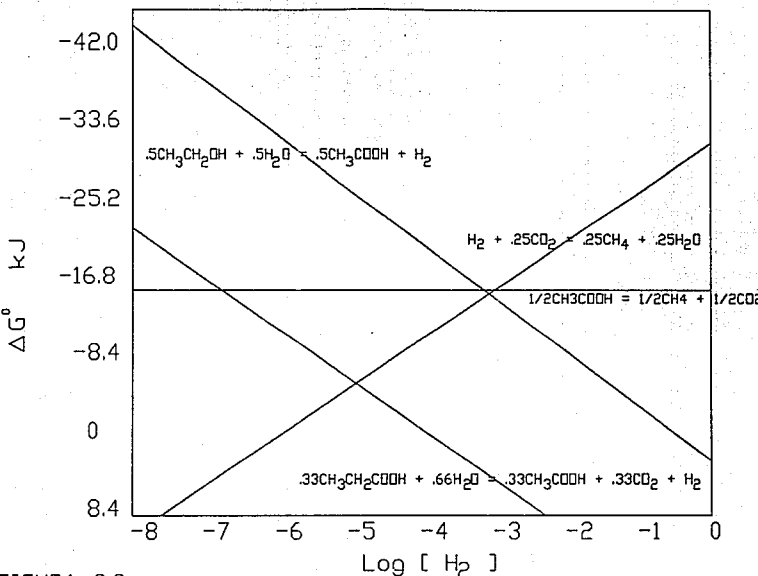


FIGURA 3.2

EFECTO DE LA PRESION PARCIAL DE HIDROGENO SOBRE LA TERMODINAMICA DE LAS REACCIONES DE METANOGENESIS Y ACETOGENESIS

10<sup>-4</sup>atm a partir de propionato. Como la acetogénesis es un paso esencial en la digestión anaerobia, la presión parcial de H, no debe de exceder los valores límite. Respecto a la metanogénesis, la línea horizontal que corresponde a la reacción efectuada por las bacterias acetoclásticas muestra que no son afectadas en forma directa por la presión parcial de H2, mientras que las hidrogenofilicas sólo pueden actuar a presiones parciales mayores 10<sup>-6</sup>atm. Por ello, las bacterias acetogénicas productoras obligadas de hidrógeno (OHPA) sólo pueden sobrevivir en presencia bacterias metanogénicas utilizan que (hidrogenofilicas) que son estrictamente anaerobias, siendo esta la causa de que las bacterias OHPA se encuentren únicamente en esas condiciones.

## 3.1.3. Metanogénesis.

Esta última etapa, que corresponde a las reacciones que dan lugar a la formación de metano (CH<sub>4</sub>), es realizada por dos clases de bacterias; las que a partir de acetato forman metano (bacterias acetoclásticas), responsables del 73% del metano producido:

$$CH_3COO^- + H_2O^- ----> CH_4 + HCO_3^-$$
  
 $\Delta G^O^- -31 \text{ kJ/mol [43]}$ 

y las bacterias que teniendo como sustrato hidrógeno  $(H_2)$  y  $CO_2$  o formato producen metano:

$$HCO_3^- + 4H_2^- + H^+^- ----> CH_4^- + 3H_2^- O$$
  
 $\Delta G^0^- -135 \text{ kJ/mol [43]}$ 

Estos dos tipos de reacciones son las que concluyen la digestión anaerobia y muestran que los productos finales de este proceso son el metano,  $\mathrm{CH_4}$  y  $\mathrm{HCO_3^-}$ . Ambos productos se desorben de la fase líquida, aunque siempre queda algo del producto disuelto.

La especie HCO3 se desorbe como CO2:

La desorción de  $CO_2$  provoca un aumento del pH ya que el consumo de  $H^+$  causa una disminución en la concentración de esta especie (ver el punto 3.2.1. pH).

Las bacterias metanogénicas son anaerobias estrictas que requieren un intervalo de pH entre 6.2 y 8 siendo óptimo de 6.8 a 7.2. Necesitan además que el potencial del medio sea menor a -330mV.

## 3.1.4. La sulfatorreducción.

La serie de reacciones que llevan a la producción de metano no es la única que se puede realizar en las condiciones de digestión anaerobia. Cuando el sustrato presenta elevadas concentraciones de sulfatos, las bacterias sulfatorreductoras los emplean para oxidar los productos de la hidrólisis - fermentación o de la acetogénesis tales como lactato, ácidos grasos volátiles (AGV) o H<sub>2</sub>. Para logralo, los sulfatos son reducidos a sulfuros:

CH<sub>3</sub>CHOHCOO<sup>-</sup> + 0.5SO<sub>4</sub><sup>2-----></sup> CH<sub>3</sub>COO<sup>-</sup> + HCO<sub>3</sub><sup>-</sup> + 0.5HS<sup>-</sup> + 0.5H<sup>+</sup>

$$\Delta G^{O} - 19.1 \text{ kJ/mol [17]}$$

$$CH_{3}COO^{-} + SO_{4}^{2-} - ----> 2HCO_{3}^{-} + HS^{-}$$

$$\Delta G^{O} - 71 \text{ kJ/mol [43]}$$

$$2H_{2} + SO_{4}^{2-} + H^{+} - ----> HS^{-} + 4H_{2}O$$

$$\Delta G^{O} - 152 \text{ kJ/mol [43]}$$

Algunas bacterias sulfatorreductoras (acetogénicas sulfatorreductoras, grupo I [17]) son capaces de actuar como acetogénicas oxidando parcialmente productos de la hidrólisis - fermentación, como lactato o etanol, en acetato cuando el sustrato no contiene sulfatos:

$$CH_3CHOHCOO^- + 2H_2O^- ---- > CH_3COO^- + HCO_3^- + H^+ + 2H_2$$
  
 $\Delta G^O + KJ/mol [17]$ 

Cuando las bacterias sulfatorreductoras son incapaces de actuar como acetogénicas en ausencia de SO<sub>4</sub><sup>2-</sup>, pertenecen al grupo II.

Las bacterias sulfatorreductoras compiten con las bacterias metanogénicas [43][49][42] al consumir el sustrato empleado por ellas, siendo energéticamente favorecidas las sulfatorreductoras.

Con las metanogénicas acetoclásticas:

$$CH_3COO^- + SO_4^{2-} ----> 2HCO_3^- + HS^-$$

$$\Delta G^0 -71 kJ/mol [43]$$

$$CH_3COO^- + H_2O ----> CH_4 + HCO_3^-$$

$$\Delta G^0 -31 kJ/mol [43]$$

Con las metanogénicas hidrogenofílicas:

$$4H_2 + SO_4^{2-} + H^+ ----> HS^- + 4H_2O$$

$$\triangle G^O -152 kJ/mol [43]$$
 $HCO_3^- + 4H_2 + H^+ ----> CH_4 + 3H_2O$ 

$$\triangle G^O -135 kJ/mol [43]$$

Estas bacterias, acetoclásticas sulfatorreductoras (oxidadoras completas), no se reproducen facilmente a un pH menor a 6 y probablemente pierden parte de su actividad [41].

Es importante hacer notar que el S<sup>-2</sup> producido durante la sulfatorreducción inhibe la metanogénesis, siendo las concentraciones de inhibición muy variables (de 50 a 1000 mg/L de

 $s^{-2}$ ) [17], ya que dependen de las condiciones particulares a las que se realiza la digestión anaerobia, en especial del pH. El  $s^{-2}$  es también un producto final de la digestión anaerobia al igual que el  $CH_4$  o el  $CO_2$ ; aparece como sulfuro o bisulfuro en la fase líquida o en el efluente y como  $H_2S$  en el gas al desorberse de la misma forma que el  $CO_2$ :

 3.2. Efecto de las condiciones fisicoquímicas del medio en la digestión anaerobia.

La digestión anaerobia es un proceso que involucra la acción de una gran diversidad de bacterias que mantienen entre sí estrechas relaciones (simbiosis, dependencia, competencia, etc.) y que pueden actuar sobre muy variados sustratos. Al tener cada una requerimientos característicos en intervalos específicos, las condiciones del medio determinarán que bacterias tendrán mayor actividad, estableciendo un consorcio bacteriano particular con sus productos respectivos.

3.2.1. pH y los equilibrios gas - líquido.

El pH que prevalece en un medio donde se realiza digestión anaerobia depende de varios factores: el pH del sustrato, la proporción existente entre bacterias que provocan una disminución del pH (las que realizan hidrólisis, fermentación o acetogénesis) al liberar ácidos orgánicos CH<sub>3</sub>COO<sup>-</sup> H<sup>+</sup>, HCO<sub>3</sub> H<sup>+</sup>, etc. y las que lo aumentan por consumir H<sup>+</sup>; las bacterias hidrogenofílicas:

$$HCO_3^- + 4H_2^+ + H^+ ----> CH_4^- + 3H_2^-$$

La diferencia en la rapidez de consumo y de generación de  $H^+$  origina variaciones en el pH.

En los reactores contínuos, cuando se aumenta la cantidad de sustrato alimentada, se produce un aumento en la concentración de H<sup>+</sup> ya que las bacterias que producen H<sup>+</sup> lo hacen a una rapidez mayor que la de las bacterias que lo consumen, causando una disminución en el pH.

En los reactores por lotes, debido a la conversión gracual de toda la materia orgánica hasta su forma más degradada posible ( a través de la digestión anaerobia), el pH inicialmente bajo aumenta en forma paulatina por consumo de  ${\rm H}^{+}$ .

Otra causa de variación en el pH es el equilibrio entre el  ${\rm CO}_2$  en fase líquida y en fase gaseosa El carbono se puede encontrar de varias formas en disolución acuosa: como  ${\rm CO}_3^{\pm}$ ,  ${\rm HcO}_3^{-}$ ,  ${\rm H}_2{\rm CO}_3$  y como  ${\rm CO}_2$  disuelto, presentando los equilibrios mostrados en las figuras 3.3 y 3.4.

En un sistema anaerobio, el pH depende también de la concentración de CO<sub>2</sub> en la fase gaseosa. La desorción de CO<sub>2</sub> consume H<sup>+</sup> aumentando el pH. Si la presión parcial de CO<sub>2</sub> es baja, tenderá a desorbese y si es alta lo hará en menor medida, buscando siempre alcanzar el equilibrio termodinámico.

Del pH que prevalezca en el medio dependerá la forma en que se encuentre el s $^{-2}$  y el  $\mathrm{N}^3$  .

Para controlar el pH en un proceso de digestión anaerobia, se

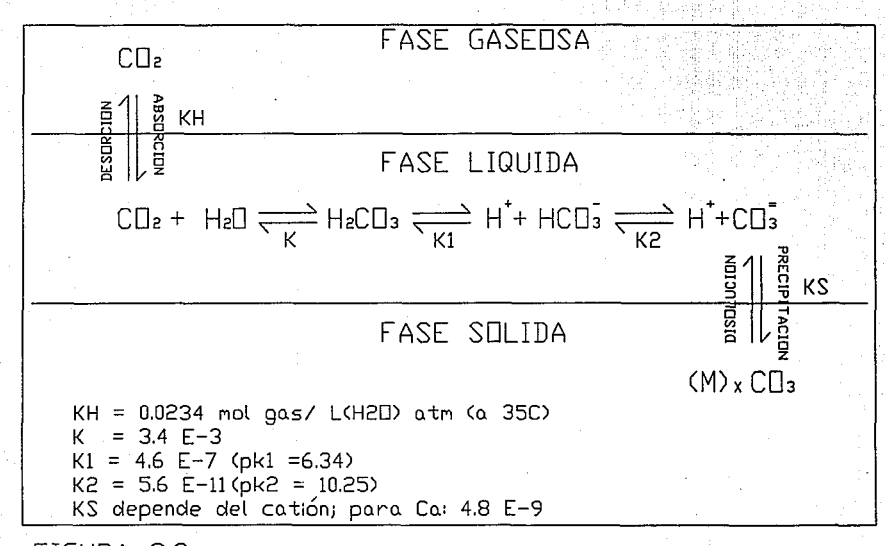


FIGURA 3.3 EQUILIBRIOS DEL CARBONATO [1,2]

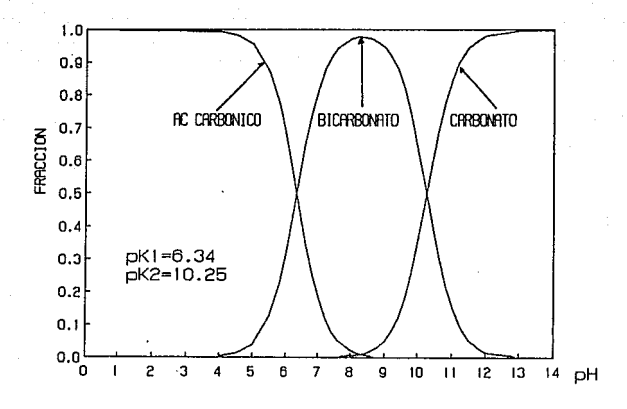


DIAGRAMA DE DISTRIBUCION DE ESPECIES EN DISOLUCION ACUOSA PARA EL CARBONATO COMO FUNCION DEL pH.

acostumbra añadir al sustrato una base, preferentemete bicarbonato de sodio debido a sus propiedades. Una forma diferente de hacerlo consiste en recircular parte del efluente de los reactores operados a régimen contínuo pudiendo desorber o no el CO<sub>2</sub> de dicha corriente [12].

Otra forma de controlar el pH, tal y como se propone en esta tesis, consiste en consumir la mayor cantidad posible de  $\mathrm{H}^+$ , gracias a la desorción de  $\mathrm{CO}_2$  dentro del reactor, mediante la disminución de la presión parcial del  $\mathrm{CO}_2$  en el gas que se encuentra en contacto con la fase líquida.

La reducción en la presión parcial de  ${\rm CO}_2$  se realiza haciendo pasar la corriente de gas producido en el reactor por un equipo de absorción de  ${\rm CO}_2$  y recirculando al reactor parte del gas.

El gas recirculado, que presenta una menor concentración de  ${\rm CO_2}$ , se mezcla con el producido durante la digestión anaerobia, logrando así la disminución en la presión parcial de  ${\rm CO_2}$  en el reactor.

## 3.2.2. Alcalinidad.

La alcalinidad es la capacidad de un sistema para mantener un pH determinado; es una medida de la capacidad tampón del sistema. En cuanto mayor sea la alcalinidad, se podrá mantener un pH más fácilmente a pesar de un aumento en la generación de  $H^+$ . En los sistemas donde se realiza digestión anaerobia, se debe a la presencia de carbonato, en particular a la capacidad tampón de la especie  $HCO_3^-$  (Fig. 3.3 y Fig. 3.4).

## 3.2.3. Temperatura.

Las reacciones que ocurren en la digestión anaerobia se pueden realizar en tres diferentes intervalos de temperatura: psicrofílicos a una temperatura menor a 20°C, mesofílico de 20 a 40 teniendo los 37°C como temperatura óptima y termófilico de 45 a 65 con los 55°C de temperatura óptima. Cada intervalo presenta la acción de diferentes especies bacterianas. La rapidez de reacción depende en forma importante de la temperatura, de acuerdo a la ecuación de Arrhenius, por lo que es diferente en cada intervalo de temperatura.

Generalmente el intervalo seleccionado es el mesofílico, a pesar de que las reacciones presentan una rapidez de reacción menor a las mantenidas en el termofílico, una de sus principales ventajas consiste en la facilidad para mantener la temperatura dentro del intervalo, esto lo hace más atractivo, sin demasiadas variaciones que afectan negativamente al los microoganismos empleados. Por otro lado, la cantidad de especies microbianas adaptadas al intervalo mesofílico es mayor que para los otros intervalos, de esta forma la relación entre estas especies es menos frágil que en el intervalo termofílico.

La baja rapidez de reacción característica del intervalo psicrofílico hace que casi no sea empleado.

Es importante considerar que la solubilidad de los gases disminuye con el aumento de la temperatura, por lo que la desorción de los productos volátiles es mayor en el intervalo termofílico.  3.2.4. Nutrientes y sustancias tóxicas para la digestión anaerobia.

Las bacterias que intervienen en la digestión anaerobia, como cualquier otro organismo, requieren junto con una fuente de carbono de algunos compuestos químicos determinados para su metabolismo. Estas sustancias indispensables (nutrientes) pueden resultar perjudiciales si su concentración es elevada (fenómeno de inhibición de la actividad de las bacterias). Los principales nutrientes son: nitrógeno, fósforo, azufre, hierro, niquel y cobalto.

Los requerimientos de nitrógeno y fósforo se han determinado en forma empírica dada la variedad de sustratos y bacterias involucradas. Se requiere que el carbono esté presente en concentraciones de 30 a 40 veces mayores que el nitrógeno. Los requerimientos de fósforo son aproximadamente un 15% de los de nitrógeno [50]. Se considera óptima la relación C/N/P, 150/5/1 [35].

El exceso de nitrógeno propicia la formación de ión amonio  $(\mathrm{NH}_4^+)$ . En concentraciones de 1500 a 3000 mg/L este ión causa la inhibición de las bacterias anaerobias ([29] tomado de [35]). El amoniaco  $(\mathrm{NH}_3)$ , es inhibidor a concentraciones de  $150\mathrm{mg/L}$  [35] siendo importante el pH para determinar si el nitrógeno se encuentra como amoniaco o como ión amonio. En la figura 3.5 se presentan los equilibrios en las fases gas y líquida; en la figura 3.6 se presenta el diagrama de distribución de especies para el ión amonio y el amoniaco en disolución acuosa como función del pH. De la observación de estas gráficas se puede apreciar que a un pH

menor a 7.5, prácticamente todo el nitrógeno se encuentra como ión amonio, por lo que la cantidad de NH<sub>3</sub> libre susceptible de ser desorbido y por tanto de aparecer en el gas producido es muy reducida. Conforme el pH aumenta, la fracción de NH<sub>3</sub> libre se incrementa, con lo que la concentración de NH<sub>3</sub> en el gas producido es mayor.

El intervalo de pH en el que es factible la digestión anaerobia va de 6.2 a 8.0 (ver punto 3.1.4), por tanto poco NH<sub>3</sub> pasará al gas producido a menos que el pH sea cercano a 8.0 y que la concentración de nitrógeno en el agua residual a tratar sea suficientemente elevada.

La principal fuente de azufre para las bacterias anaerobias es el  ${\bf S}^{-2}$ , en su forma no disociada.

Las bacterias también pueden asimilar el azufre de la cisteína y de la metionina, que son dos aminoácidos.

La concentracion óptima de azufre como  $s^{-2}$  es 25 mg/l a un pH de 6.85 unidades, igual al pKa del  $H_2S$ , donde la concentración de  $H_2S$  es prácticamente la mitad (12.5 mg/L) de la concentración total de  $s^{-2}$ . A esta concentración, un 0.5% (v/v) del gas producido en la digestión anaerobia corresponde a  $H_2S$  [49].

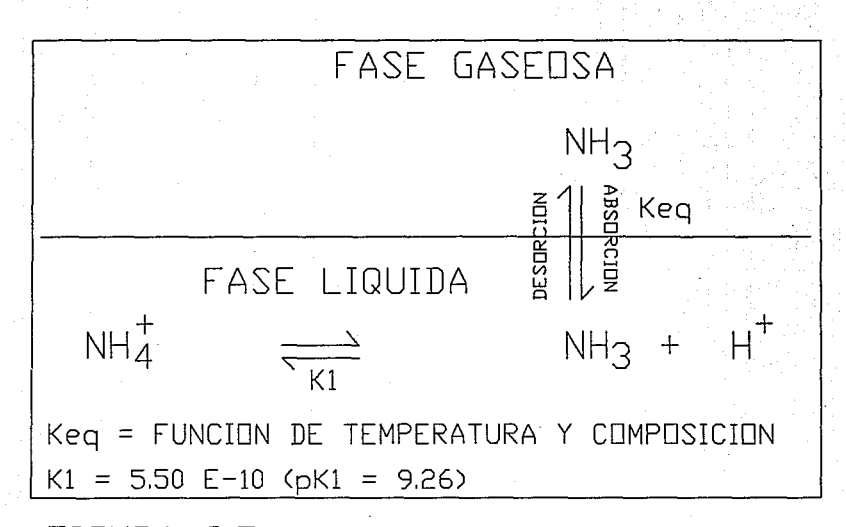


FIGURA 3.5 EQUILIBRIOS DEL AMONIACO

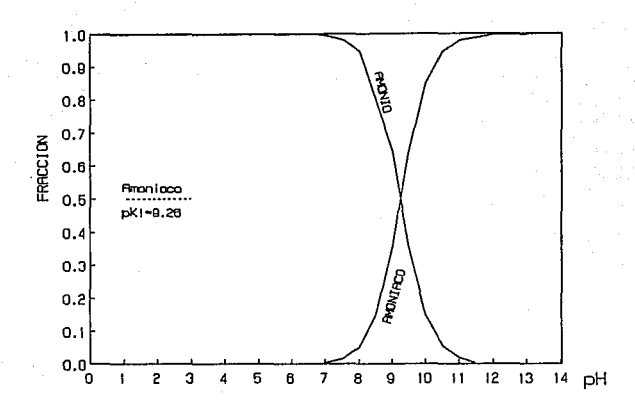


FIGURA 3.6 DIAGRAMA DE DISTRIBUCION DE ESPECIES EN DISOLUCION ACUOSA PARA EL AMONIACO COMO FUNCION DEL DH.

En la Figura 3.7 se presentan los equilibrios entre las fases gas, acuosa y sólida para el  $s^{-2}$ .

Para poder pasar a través de la membrana celular, el  $s^{-2}$  debe encontrarse en su forma no ionizada,  $\rm H_2S$  [48], especie que es tóxica para las bacterias metanogénicas en concentraciones superiores a 100 o 150 mg/L [49]; con 200 mg/L se reporta la ausencia total de metano producido [22]. En al figura 3.8 se muestra el diagrama de distribución de especies en disolución acuosa para los sulfuros en función del pH. Por otro lado, el  $s^{-2}$  provoca la precipitación de los metales al formar sulfuros metálicos (figura 3.7, equilibrios del sulfuro en las fases gas, líquida y sólida), incluso de aquellos metales necesarios para las bacterias.

De acuerdo con la información publicada [22], las reacciones de sulfatorredución son inhibidas en proporción a la concentración total de  $s^{-2}$  y no a la de  $H_2s$ . Hilton y colaboradores [22] informan que con altas concentraciones de  $s^{-2}$  y un alto pH (baja fracción de  $H_2s$ ), la remoción de carbono ocurre principalmente por vía metanogénica, mientras que a bajos pH (alta fracción de  $H_2s$ ), tanto la metanogénesis como la sulfatorreducción son inhibidas.

FIGURA 3.7 EQUILIBRIOS DEL SULFURO [2]

w

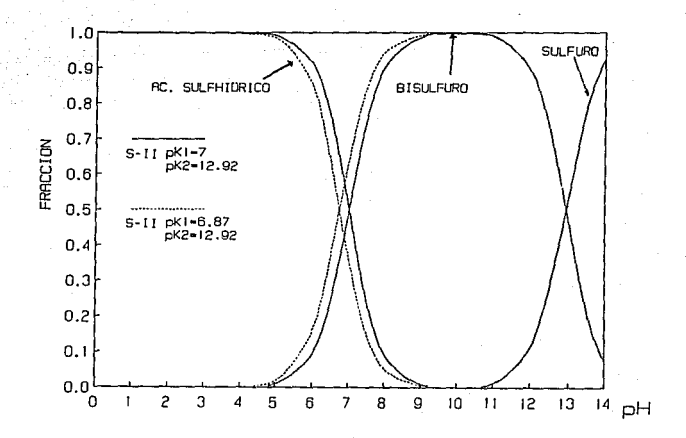


FIGURA 3.8

DIAGRAMA DE DISTRIBUCION DE ESPECIES EN DISOLUCION ACUOSA PARA EL  $\mathrm{s}^{-2}$  En funcion del ph.

El pKa depende de la fuerza iónica de la disolución, de la temperatura y de los componentes de la solución en particular E la gráfica el pK1 = 7.00 (línea contínua) corresponde a disoluciones a  $30^{\circ}$ C y conductividad de 0 micromhos y pK1 = 6.87 a  $30^{\circ}$ C y 4000 mircomhos (línea discontínua), que es un parâmetro para evaluar la fuerza iónica.

En la figura 3.9, se presenta en forma simultánea los equilibrios para el carbonato, el sulfuro y el amoniaco en disolución acuosa como función del pH. En ella se puede apreciar que las especies predominates en el intervalo de pH que corresponde a la digestión anaerobia son: bicarbonato y carbonato, ácido sulfhídrico y bisulfuro y amonio.

Los metales que precisan las bacterias anaerobias son Hierro (Fe), Cobalto (Co), Niquel (Ni) [48]. Se reporta el requerimiento de trazas de Molibdeno (Mo), Tungsteno (W), Selenio (Se) [48] e incluso Zinc (Zn) [26]. Estos elementos en concentraciones mayores a las necesarias pueden resultar tóxicos al inhibir la actividad de las bacterias. Otros elementos como Aluminio (Al), Cromo (Cr<sup>4+</sup>), Arsénico (As) y en especial metales pesados tales como Plomo (Pb) y Plata (Ag) sin ser nutrientes causan toxicidad aún en bajas concentraciones.

Los cationes de los metales alcalinos y alcalinotérreos favorecen la actividad de las bacterias anaerobias, aunque en altas concentraciones la inhiben. Pueden actuar en forma antagónica (efectos opuestos, contrarrestando los estímulos, ya sean inhibidores o favorecedores) o en forma sinergística (mismos efectos, aumentando el estímulo). El efecto aislado de estos cationes se muestra en la tabla 3.1.

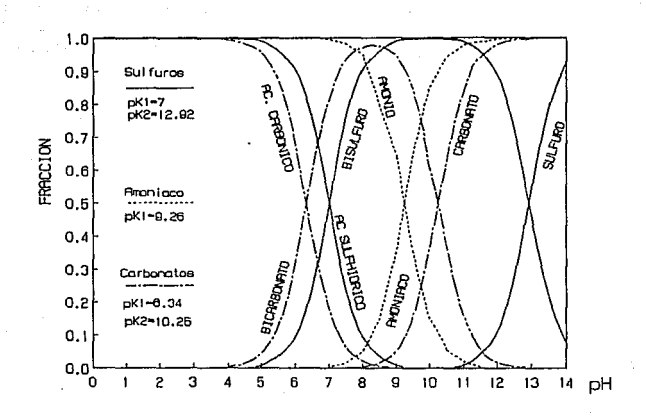


FIGURA 3.9

DIAGRAMA DE DISTRIBUCION DE ESPECIES PARA EL CARBONATO Y EL

SULFURO EN DISOLUCION ACUOSA COMO FUNCION DEL DH.

Tabla 3.1 Efecto de las concentraciones de cationes de metales alcalinos y alcalinotérreos en la actividad metanogénica Fuente: [29] tomado de [35].

# Concentración (mg/L)

Catión	Favorecedora	Ligeramente Inhibitoria	Inhibitoria	
Na <sup>+</sup>	100-200	3500-5500	8000	
K+	200-400	2500-4500	12000	
Ca <sup>++</sup>	100-200	2500-4500	8000	
Mg <sup>++</sup>	75-150	1000-1500	3000	

#### 4 PROCESOS DE DIGESTION ANAEROBIA

Los procesos de digestión anaerobia aprovechan las características de esta vía metabólica, descritas en el capítulo anterior, para someter a tratamientos depuradores las corrientes de desecho que presenten una elevada concentración de materia orgánica, la cual es hidrolizada, fermentada y finalmente llevada hasta metano durante el proceso de digestión. Se obtiene de esta manera una corriente de agua tratada con menor concentración en materia orgánica y a la vez productos útiles tales como gas metano o, en ciertos casos, azufre (recuperación de azufre a partir del H<sub>2</sub>S producido, aspecto que se detallará posteriormente).

Los procesos de digestión anaerobia tienen como parte central al reactor anaerobio, en torno al cual se diseña el resto del proceso: Sistemas de bombeo, sedimentadores o flotadores, tanques de neutralización, manejo y purificación de los productos en estado gaseoso (metano, CO<sub>2</sub> y H<sub>2</sub>S principalmente) e incluso de los efluentes líquidos con sus posibles tratamientos posteriores, así como los sistemas de control requeridos para el proceso en su conjunto.

#### 4.1. Reactores anaerobios.

El desarrollo de los reactores anaerobios ha permitido establecer tres clases de ellos, denominadas generaciones. La primera generación corresponde a los reactores donde los microorganismos responsables de la digestión anaerobia se encuentran en suspensión, distribuidos con menor o mayor grado de homogeneidad

en el reactor, siendo así evacuados junto con los residuos líquidos tratados. La segunda generación corresponde a aquellos reactores que mantienen a los microorganismos retenidos en su interior, existiendo varias formas de lograrlo. Una es emplear un soporte fijo con el fin de permitir la formación de una capa o película de microorganismos sobre su superficie. Otra alternativa consiste en propiciar (evitando una agitación excesiva y con el uso de un inóculo adecuado<sup>1</sup>) que los microorganismos se agrupen en los llamados lodos anaerobios ("flocular") donde llegan incluso a formar granos (lodo anaerobio concentrado en pequeños grumos o granos con hasta 5mm de diámetro) de una alta sedimentabilidad, que permite retenerlos. Los reactores de tercera generación son aquellos que mantienen a los microorganismos en película sobre algún soporte, sólo que dicho soporte es expandido o fluidificado mediante un flujo de recirculación.

4.1.1. Parámetros importantes en la operación, diseño y estudio de los reactores anaerobios contínuos.

Es necesario fijar las condiciones fisicoquímicas adecuadas para la digestión anaerobia (Anexo 1: pH, alcalinidad, temperatura etc.) mediante el establecimientode ciertas condiciones de operación del reactor.

Los parámetros principales son: tiempo de retención ( 0 ) y carga orgánica volumétrica ( Bv ). Para definirlos se empleael gasto o

Se le llama lodo de inóculo al lodo rico en bacterias anaerobias que se introduce ("siembra") al reactor para iniciar su operación. Es mejor en cuanto mayor sea la actividad y la cantidad de bacterias anaerobias que contenga. Dependiendo de la clase de reactor que se emplee pueden ser importantes sus características de sedimentabilidad.

flujo volumétrico  $Q = \begin{bmatrix} L^3 \\ T \end{bmatrix}$ , Volumen del reactor  $V = \begin{bmatrix} L^3 \\ \end{bmatrix}$  y concentración del reactivo (sustrato), que para reactores que degradan la materia orgánica se maneja como DQO o DBO: demanda química de oxígeno o demanda bioquímica de oxígeno, que representan la cantidad de oxígeno necesario para degradar, totalmente (DQO) o bioquímicamente (DBO), la materia orgánica presente (ver apéndice 1) expresándose como masa de oxígeno requerida ( Q O MQ ) por volumen de muestra.

El tiempo de retención  $(\theta)$ , la carga orgánica (Bv) y la carga orgánica másica (Bm) son definidos de la siguiente manera:

$$e = V / Q = [T L^3 / L^3] = [T]$$
  
 $BV = Q C / V = [L^3 M / T L^3 L^3] = [M / T L^3]$ 

La carga orgánica volumétrica muestra la masa de sustrato por unidad de tiempo y por unidad de volumen que es alimentada al reactor y la carga orgánica másica representa el mismo concepto, pero por unidad de biomasa (SSV).

Las variaciones en estas condiciones de operación pueden tener un fuerte impacto en las condiciones fisicoquímicas de los reactores; si el tiempo de retención es demasiado elevado, puede provocar el arrastre del lodo ( esto último depende en gran medida del diseño del reactor, en especial de su zona de sedimentación ). Cuando la carga orgánica es excesiva, las bacterias metanogénicas no pueden procesar el sustrato procedente de pasos anteriores de la

digestión anaerobia. Esto ocasiona un descenso en el pH, una mayor proporción de bióxido de carbono respecto al metano en el gas producido y una inhibición de las bacterias metánogénicas.

La eficiencia en la remoción de materia orgánica o, en una forma más sencilla: porcentaje de remoción, se determina con base en la concentración en materia orgánica del efluente de reactor y la de su influente, que se pueden expresar como DQO o DBO2.

## 4.1.2. Reactores anaerobios de primera generación.

Son los reactores más antiquos: se caracterizan por mantener elevados tiempos de retención, que trae como consecuencia un gran tamaño de reactor.

Los principales reactores de primera generación son:

### Fosa séptica:

Realiza principalmente la hidrólisis de la materia orgánica en suspensión, siendo la depuración realizada sólo parcial. Consiste en un tanque cerrado, que generalmete se encuentra enterrado, al cual se alimenta el agua residual. El agua residual tratada fluye en el extremo opuesto del tanque por lo que funciona como un reactor convencional no mezclado [58]. La acumulación de materia

<sup>&</sup>lt;sup>2</sup>En caso de que la concentración este expresada como DBO, imposible obtener una eficiencia del 100% porque parte de la materia orgánica es transformada en bacterias del consorcio bacteriano presente (biomasa, que puede ser retirada de la corriente líquida). Cuando se expresa como DQO, a la razón anterior se suma el hecho de que no toda la materia orgánica degradable quimicamente lo es bioquimicamente por lo que menos aun se puede obtener una eficiencia del 100%. % de Remoción =

<sup>(</sup>DOO o DBO)1 - (DOO o DBO)2 \* 100% (DOO o DBO) 1

<sup>(</sup>DQO o DBO)1: Concentración en materia orgánica del influente. (DQO o DBO)2: Concentración en materia orgánica del enfluente.

en el interior del reactor hace necesario remover el lodo acumulado cada seis meses. Como en toda digestión anaerobia completa se produce CH<sub>4</sub> y CO<sub>2</sub> pero, las fosas sépticas normalmente no se diseñan de forma tal que sea posible captar el gas generado.

### Tanque Imhoff.

Es un reactor que consta de dos compartimientos, en la parte superior se encuentra un sedimentador y en la inferior el cuerpo del reactor; el tanque no tiene agitación. El sedimentador, que es por donde se alimenta al reactor, tiene un tiempo de retención corto; la parte inferior funciona como reactor convencional y la recuperación de gas es más sencilla que para la fosa séptica. Tanto el tanque Imhoff como la fosa séptica mantienen tiempos de retención a partir de dos días. Su diseño se basa más que en un porcentaje de remoción, en el volumen deseado para acumular los lodos y en el período de purga.

### Lagunas anaerobias.

Estos reactores son grandes estanques con hasta 10 m de profundidad que se mantiene en condiciones anaerobias excepto en su zona superficial. La mala distribución del sustrato y de las bacterias anaerobias es causa de sus prolongados tiempos de retención y en consecuencia grandes volumenes de reactores. Estos sistemas pueden ser fuente de olores desagradables.

### Digestor anaerobio convencional.

Consiste en un tanque cerrado sin agitación ni calentamiento, donde la materia en suspensión se estratifica estableciendo zonas

definidas: una capa superficial, otra de sobrenadante, la capa activa, donde se realiza prácticamente la totalidad de la digestión anaerobia, que corresponde apenas a un 30% del volumen total del reactor [58], y finalmente una capa de espesor varible formada por sólidos estabilizados.

# Digestor anaerobio completamente mezclado.

Es un digestor anaerobio convencional que cuenta con agitación y comúnmente con calentamiento. Se utiliza con frecuencia para tratar vía anaerobia los lodos de purga provenientes de plantas de tratamiento aerobio de aguas residuales [30]. El mezclado se realiza con un agitador mecánico o mediante la inyección en la parte inferior del reactor del gas producido, con esto se busca la agitación completa y una concentración homogénea en el reactor. Debido a la presencia de sólidos suspendidos en el efluente (arrastre de lodos anaerobios por efecto de la mezcla completa), se acostumbra unir al sistema un tanque similar en volumen para sedimentar los lodos.

### Reactor de contacto anaerobio.

Es un reactor completamente mezclado seguido de un sedimentador, el cual permite separar los lodos anaerobios evacuados, con altas concentraciones de microorganismos, del resto de efluente líquido tratado. Los lodos anaerobios recuperados son recirculados al reactor o desechados de alguna otra forma. Se operan generalmente con tiempos de retención cercanos a 5 días. Es la variante anaerobia del proceso de lodos activados; propiamente un proceso

de transición entre la primera y la segunda generación.

### 4.1.3. Reactores anaerobios de segunda generación.

La principal característica de los reactores de segunda generación es retener a los microorganismos en el reactor; la elevada concentración de microorganismos así lograda permite que estos reactores sean operados a tiempos de retención sustancialmente menores a los reactores de primera generación, comúnmente entre 0.5 y 3 días. En consecuencia son de menor tamaño que los reactores de primera generación.

### Filtro anaerobio

Más propiamente, reactor de lecho empacado con película biológica fija. Es en realidad un reactor y no un filtro. Fue desarrollado por Young y McCarty en 1964 [56] y es generalmente operado en flujo ascendente. El agua residual atraviesa de un extremo a otro el reactor, en ese recorrido entra en contacto con la película biológica. La relación entre volumen del empaque y volumen libre (inverso del coeficiente de vacío) debe de ser baja para evitar la obstrucción del reactor dada la acumulación paulatina de lodos. Estos reactores pueden ser operados con alimentación de altas cargas orgánicas, del orden de 10 kg DQO/m<sup>3</sup>día.

# Reactor tubular de película fija.

Es un reactor de lecho empacado y película fija para el cual el empaque consiste en tubos o placas de cerámica, poliester, PVC, etc. que forman canales verticales con relaciones área/volumen

mayores a 150 m $^2/m^3$ . El empaque ordenado permite evitar los taponamientos y facilita las purgas de lodos. Soporta cargas orgánicas de hasta 15 kg  $DQO/m^3$  día.

Reactor anaerobio de lecho de lodos (UASB: "upflow anaerobic sludge blanket").

Este reactor desarrollado por Lettinga en Holanda, se basa en la formación de lodo anaerobio granular de buena sedimentabilidad. La digestión anaerobia se realiza fundamentalmente en el lecho de lodos a través del que asciende el sustrato alimentado por la parte inferior. La sedimentabilidad de los lodos permite que no sean arrastrados fuera del reactor, cuenta además, en la parte superior, con un sistema de separación de fases gas-líquido-sólido para evitar la salida de sólidos suspendidos en el efluente y separar el gas generado, permitiendo su recuperación.

Para su empleo adecuado, es necesario en el arranque que el reactor contenga lodos anaerobios (inóculo), que permitan la rápida formación de la cama granular. Es importante la correcta distribución de la alimentación en la parte inferior del reactor que mantenga una disponibilidad de sustrato suficiente en todo el lecho de lodos.

El hecho de no requerir soporte hace disminuir el volumen de este reactor frente a los empacados, siendo su costo menor tanto por la reducción de volumen como por la eliminación del empaque. Es capaz de soportar cargas de 20  $kg/m^3$ día.

# 4.1.4. Reactores anaerobios de tercera generación.

Son reactores de lecho fluidificado o expandido mediante la recirculación del efluente producido. Los microorganismos se concentran en forma de película fija sobre el soporte fluidificado (que estático ocupa alrededor de un sexto del volumen del reactor [48]). El soporte frecuentemente es poroso, (por ejemplo vidrio sinterizado), con un área superficial del soporte por volumen empacado superior a 200 m²/m³ que puede ser aprovechada para la formación de la película fija. Este reactor tiene la ventaja de permitir tiempos de retención menores a 12 h con cargas superiores a 30 kg DQO/día.

Este tipo de reactor requiere de un arranque y operación en especial cuidadosos, principalmente respecto al gasto de recirculación y a la formación de la película biológica.

# 4.2. Gases obtenidos en el proceso de digestión anaerobia.

En la digestión anaerobia se produce un desecho líquido de menor carga orgánica junto con diversos gases, siendo los principales metano ( $\mathrm{CH_4}$ ), bióxido de carbono ( $\mathrm{CO_2}$ ) y ácido sulfhídrico ( $\mathrm{H_2S}$ ). A los dos primeros corresponde casi la totalidad del volumen de gas liberado; se encuentran normalmente en concentraciones de 50 a 70 y de 30 a 50% respectivamente, la presencia de  $\mathrm{H_2S}$  es función del contenido en  $\mathrm{SO_4}$  en el agua a tratar. El resto son trazas de hidrógeno ( $\mathrm{H_2}$ ), nitrógeno ( $\mathrm{N_2}$ ), y amoniaco ( $\mathrm{NH_3}$ ). Hay que señalar que el nitrógeno es el segundo componente del gas ( $\mathrm{22}$ ) cuando se trata por vía anaerobia el agua residual doméstica.

4.2.1. Utilidad de los gases.

El metano puede ser empleado como combustible en motores que generen energía mecánica o eléctrica, en calderas para generar vapor, para proporcionar iluminación, como gas de cocina, y en otros usos. Las propiedades de este compuesto y las de otros combustibles usuales se muestran en la tabla 4.1.

El bióxido de carbono generalmente no es aprovechado, mientras que a partir del H,S se puede recuperar azufre elemental [16].

El uso a que se destine el gas obtenido determina el proceso de separación necesario y la pureza deseada en los productos.

Los datos mostrados en al tabla 4.1 ponen en evidencia la diferencia entre el gas purificado (metano) y el no purificado; se produce 40% más energía del metano puro que de la misma masa de la mezcla más usualmente obtenida (aproximadamente 60% CH<sub>4</sub>, 40% CO<sub>2</sub>). Es importante tener en cuenta que la eliminación de CO<sub>2</sub>resulta indispensable cuando se desea comprimir el gas ya que reduce en un 40% el volumen de gas a comprimir para lograr una consecuente disminución tanto en el tamaño del equipo empleado como en la energía consumida en ello.

Tabla 4.1. Propiedades caloríficas del metano y de algunos otros combustibles usuales. Fuente [7].

	Entalpia de	compustion
Combustible	MJ/kg	MJ/m <sup>2</sup>
Metano	50.0	35.9
90% Metano 10% inerte	45.0	32.3
60% Metano 40% inerte	30.0	21.5
Propano	46.4	90.9
Butano	45.7	118.5
Metanol	19.9	15900
Etanol	26.9	21400
Gasolina	45.0	33300
Diesel	42.1	34500

# 4.2.2. Solubilidad en agua de los principales gases.

Una de las propiedades más importantes de los gases producidos en la digestión anaerobia (sobre todo para la purificación de estos) es su solubilidad en agua. Algunos valores reportados se muestran en la tabla 4.2. El amoniaco no sigue la ley de Henry, por lo que no se incluye su constante. Para este compuesto se requiere otro modelo o emplear datos experimentales.

Ley de Henry:

Xi [moles/L] = kH [ moles / LH<sub>2</sub>O atm] \* pYi [atm]

Xi = Concentración moloar del gas en el líquido.

kH = Constante de Henry.

pYi = Presión parcial del gas.

Tabla 4.2. Valores de la constante de Henry y la solubilidad correspondiente. Fuente [7].

Valor de la constante de Henry, kH (mol gas/LH20 atm)

Temp.	H <sub>2</sub>	N <sub>2</sub>	02	CH <sub>4</sub>	co2	H <sub>2</sub> s
20C	7.93E-4	6.78E-4	1.36E-4	1.45E-4	3.84E-4	0.113
25C	7.17E-4	5.85E-4	1.16E-4	1.23E-4	3.11E-4	0.093
30C	6.59E-4	4.96E-4	0.97E-4	1.005E-4	2.34E-4	0.0724
Solubilidades correspondientes (ml gas/LH20 atm)						
Temp.	н <sub>2</sub>	N <sub>2</sub>	o <sub>2</sub>	CH <sub>4</sub>	coz	H <sub>2</sub> S
					070	2502

Temp.	H <sub>2</sub>	N <sub>2</sub>	02	CH <sub>4</sub>	co <sub>2</sub>	H <sub>2</sub> S
20C	18.24	15.42	31.03	33.80	678	2582
25C	17.54	14.32	28.44	30.00	760	2282
30C	16.66	12.54	24.52	25.04	592	1831

### 4.2.3. Propiedades corrosivas y tóxicas (para el ser humano).

El ácido sulfhídrico es altamente corrosivo para los metales, en especial Cu y Fe; la presencia de humedad facilita la corrosión. El contenido de  $\rm H_2S$  en el gas que se lleve a combustión debe ser limitado, no es adecuada una concentración mayor a  $0.7 \, \rm kv/v$  [7], debido a que en la combustión se forman  $\rm SO_2$  y  $\rm SO_3$ , gases cuya emisión debe ser controlada (provocan problemas de corrosión y lluvia ácida).

La acción biológica del H<sub>2</sub>S no se limita a la inhibición de la digestión anaerobia, es también un compuesto tóxico al ser humano. Los efectos de la exposición a esta sustancia pueden ser graves y dependen tanto de la concentración presente como del tiempo de exposición (Tabla 4.3.).

Tabla 4.3. Efecto del H<sub>2</sub>S sobre el ser humano a diferentes concentraciones. Fuentes [67, 7].

CONCENTRACION	N <sup>3</sup> EFECTOS			
(ppmv) 0.13	Umbral de olor para el ser humano.			
10	Concentración máxima aceptable para exposición			
prolongada ("threshold limit value"; TLV).				
5-40	En este intervalo se pierde la sensibilidad al H <sub>2</sub> S			
	con el olfato.			
75-150	Síntomas ligeros después de algunas horas de			
exposición.				
170-300	Máxima concentración inhalable por una hora sin			
	efectos serios, se presenta una significativa			
	irritación ocular y respiratoria.			
400-500	Intervalo peligroso después de 30 a 60 minutos de			
	exposición.			
600 6 más	Fatal en menos de 30 minutos de exposición.			

El gas producido por los reactores anaerobios puede contener normalmente hasta 3% y excepcionalmente 10% v/v de  $H_2S$  [42], concentración que puede resultar perjudicial para el humano. Es necesario tomar las precauciones pertinentes (eliminación de  $H_2S$ , ventilación adecuada).

Un importante agente corrosivo es el bióxido de carbono en presencia de humedad, ya que el agua absorbe  ${\rm CO}_2$  a saturación. El  ${\rm CO}_2$  disuelto, por los equilibios existentes para el carbonato en agua, forma ácido carbónico y abate drásticamente el pH (figuras

<sup>&</sup>lt;sup>3</sup>ppmv: Partes por millon en volumen.

3.3 y 3.4). La acidez de una solución saturada de CO<sub>2</sub> depende de la presión parcial de CO<sub>2</sub> de acuerdo con la siguiente expresión:

$$pH = 3.8 - 0.5 \log P de CO_2$$

( P en Bar a 20°C )

Esta ecuación es válida para altas presiones parciales de CO<sub>2</sub>, aunque la fuente no indica el intervalo preciso [7].

4.3. Procesos existentes para purificar los gases producidos en la digestión anaerobia.

# 4.3.1. Eliminación de H2O (vapor).

El gas producido se encuentra si no saturado, si muy cerca de su saturación por vapor de agua; esto se debe a que el gas ha sido liberado por la desorción de sus componentes de la fase líquida contenida en el reactor. El agua al condensarse puede ocasionar problemas en el flujo de gas, en su compresión o corrosión (ver punto 4.2.3.). Existen diferentes metodos para secar el gas:

## Condensación del vapor de agua

Se realiza por enfriamiento o en trampas a temperatura ambiente, o por compresión y enfriamiento. Este último método es el más eficiente.

Adsorción física en sólidos.

Para esto se usan sólidos parcialmente deshidratados como alúmina activada (Al<sub>2</sub>0<sub>3</sub>-1/2H<sub>2</sub>0) o sílicagel o mallas moleculares.

Absorción en líquidos.

Soluciones altamente concentradas de LiC1, NaCl o CaCl<sub>2</sub> e inclusive dietilenglicol o trietilenglicol son los líquidos higroscópicos seleccionados más frecuentemente. La regeneración de los glicoles se realiza por destilación o por desorción del agua, ya sea con una corriente de un gas inerte o por vacio. Un ejemplo del último proceso es Dehydrate ( BS & B Engineering Company Inc. [16]).

Adsorción química en sólidos.

Para ello se emplea cloruro de calcio, CaCl<sub>2</sub> y óxido de calcio CaO. Ambos pulverizados, que se desechan cuando se encuentran saturados.

Las reacciones que ocurren son:

$$CaCl_2 + nH_2O < -----> nH_2O - CaCl_2; n < 6$$
 $CaO + H_2O < ----> Ca(OH)_2$ 

El Ca(OH) $_2$  reacciona con CO $_2$  y H $_2$ S.

# 4.3.2. Eliminación de CO2

El CO<sub>2</sub> junto con el metano son los principales componentes del gas producido en la metanogénesis. La presencia de CO<sub>2</sub> y H<sub>2</sub>S son problemas compartidos con la industria petroquímica donde también es necesario remover estos compuestos de mezclas gaseosas. Así algunos procesos petroquímicos de endulzado<sup>4</sup> de gas son aplicables a procesos anaerobios con perspectivas interesantes.

<sup>&</sup>lt;sup>4</sup>Se entiende por gas amargo a aquel que contiene compuestos que al disolverse en agua pueden formar ácidos, los principales son CO<sub>2</sub> y H<sub>2</sub>S. Por extensión, cuando se han eliminado estos compuestos de<sup>2</sup>un gas amargo, se tiene un gas dulce.

Reacción con sólidos.

El CaO es el único compuesto en estado sólido usado comunmente con este fin. La reacción presente es:

Reacción con soluciones alcalinas.

En esta técnica se selecciona una de las soluciones de hidróxidos o carbonatos que reacciona con CO<sub>2</sub>. Las reacciones más comunes son:

Las solubilidades de los carbonatos formados son:  $K_2CO_3$ : 105.5g / 100g $H_2O$  a 0°C, 156g / 100g $H_2O$  a 100°C [68];  $NaCO_3$ : 15.4g/100g $H_2O$  a 10°C, 37.3g/100g $H_2O$  a 90°C [68] y  $CaCO_3$ : pKs = 8.54 [69].

Si el gas a tratar contiene H<sub>2</sub>S, este compuesto se elimina al reaccionar con la solución y formar sulfuros:

Las solubilidades de los sulfuros formados son:

 $K_2$ S: muy soluble; Nas: 15.4g/100g $H_2$ O (10 $^{\circ}$ C), 57.3g/100g $H_2$ O (90 $^{\circ}$ C) [G8].

Como se puede observar, la solubilidad de los sulfuros y carbonatos formados es muy grande, por lo que sólo se presentarán precipitados cuando se agoten soluciones concentradas.

La elección del compuesto a usar depende principalmente de criterios económicos ya que, a excepción de los carbonato de sodio y potasio no son soluciones regenerables, lo que conlleva altos costos de operación.

Soluciones alcalinas regenerables: Carbonato de Potasio y Carbonato de sodio.

La eliminación de  ${\rm CO_2}$  así como de  ${\rm H_2S}$  se realiza con las reacciones mostradas anteriormente. A saber:

$$2NaOH + CO_2 -----Na_2CO_3 + H_2O$$
 $2NaOH + H_2S -----Na_2S + 2H_2O$ 
 $K_2CO_3 + CO_2 + H_2O ------> 2KHCO_3$ 
 $K_2CO_3 + H_2S ------> K_2S + 2KHCO_3$ 

La soluciones alcalinas puede ser regeneradas al desorber los gases absorbidos mediante calentamiento:

$$Na_2CO_3 + H_2O$$
 ----->  $2NaOH + CO_2$ 
 $Na_2S + 2H_2O$  ---->  $K_2CO_3 + CO_2 + H_2O$ 
 $K_2S + 2KHCO_3$  ----->  $K_2CO_3 + H_2S$ 

La aplicación industrial de estas reacciones se realiza mediante columnas de absorción y de desorción. Existen varios procesos comerciales tales como Giammarco-Vertroke (Giammarco) [16], Bendfield (UOP)[16] y Flexorb (Exxon) [16].

Empleo de etanol-aminas.

Las etanol-aminas  $^5$  son algunos de los absorbentes más usados en la petroquímica para el endulzamiento de gas. Su uso es posible gracias a que forman complejos con  ${\rm CO_2}$  y  ${\rm H_2S}$  a bajas temperaturas ( 30 - 50°C por ejemplo) mientras que a temperaturas más elevadas (110 - 150°C) los compuestos formados son destruidos, lo cual libera  ${\rm CO_2}$  y  ${\rm H_2S}$  por desorción.

$$2RNH_2 + H_2S < ---- > (RNH_3)_2S$$
  
 $2RNH_2 + CO_2 + H_2O < ---- > (RNH_3)_2CO_3$ 

En general estos procesos constan de un absorbedor en una o varias etapas y un desorbedor. La absorción se realiza a una mayor presión que la desorción, lo que propicia el desarrollo de procesos con destilación en una etapa en equilibrio (flash) entre el absorbedor y el desorbedor. Se obtiene la amina parcialmente regenerada, que se alimenta en la parte del absorbedor más cercana a la alimentación del gas a tratar, mientras el resto de la amina pasa al desorbedor. Con calor y bajas presiones se desorbe practicamente todo el CO<sub>2</sub> y el H<sub>2</sub>S, y la amina se regenera para poder ser usada de nuevo. Esto permite una disminución en las pérdidas de energía y hace más costeable el proceso, que es ampliamente usado en petroquímica: Activated MDEA [16], Adip [16], Amine Guard [16], Econamine, Flexorb SE y PS [16] y Sulfinol [16].

Monoetanol amina, MEA; dietanol amina, DEA; trietanol amina, TEA; metil dietanol amina, MDEA; diisopropil amina, DIPA y diglicol amina, DGA.

Absorción en agua.

Los gases  $\rm H_2S$  y  $\rm CO_2$  son más solubles que el  $\rm CH_4$  en agua (tabla 4.3); esta propiedad es aprovechada para la purificación del metano mediante la absorción a contracorriente de  $\rm H_2S$  y  $\rm CO_2$  en agua.

El proceso consiste en una columna de absorción, generalmente empacada, a la cual se alimentan las corrientes de gas y agua.

Se obteniene un gas con menor concentración de  ${\rm CO_2}$  y  ${\rm H_2S}$ , así como agua con estos compuestos disueltos y algo de metano. El agua es dirigida a una columna de desorción, la que se realiza con una corriente de aire para poder usar el agua nuevamente.

Con objeto de favorecer la absorción, la presión del gas en el absorbedor es mayor a la atmosférica, del orden de 13.6 a 20.4 atmósferas [16], esto permite reducir al contenido de CO<sub>2</sub> hasta 4 o 5% v/v.

Absorción en carbonato de propileno.6

El carbonato de propileno anhidro se emplea para absorber  ${\rm CO_2}$ ,  ${\rm H_2S}$  y  ${\rm H_2O}$ . Este absorbente se puede regenerar por destilación en equilibrio (flash).

El proceso consta básicamente de una columna de absorción y de un destilador en equilibrio. El absorbedor opera a presiones mayores a 20 bar y una temperatura menor a 0°C.

 $<sup>^{6}\</sup>mathrm{El}$  carbonato de propileno  $\mathrm{C_3H_6CO_3}$  presenta temperaturas de fusión -49.2°C y 241.7°C de ebullición. Soluble en benceno, cloroformo, etcr y acetato de etilo; moderadamente en  $_2\mathrm{H}$  O y tetracloruro de carbono. Se emplea como disolvente de Nylon.

Absorción en metanol.

Este proceso fue desarrollado por Linde AG y Lurgi GmbH [67, 16]. Se usa comúnmente para separar en forma selectiva  $CO_2$  y  $H_2S$  de una corriente de gas, generalmente compuesta por  $H_2$ ,  $CH_4$ ,  $CO_2$ ,  $H_2S$  ("gas de síntesis"). Se puede emplear en el caso de que la corriente de gas a tratar no contenga  $H_2$ .

Para lograr la separación selectiva de los diferentes compuestos presentes se emplea metanol como absorbente, lo que requiere de bajas temperaturas (entre -34 y -73°C) y de al menos cinco columnas de separación que operan a diferentes condiciones.

Membranas permeables a gases.

El uso de membranas poliméricas para separar compuestos gasesos se basa en su diferente permeabilidad (Pg) con respecto a un material determinado. Esta permeabilidad es producto del coeficiente de solubilidad (Sg) por el coeficiente de difusión (Dg) en el polímero seleccionado.

$$Pg = Sg * Dg$$

El transporte de moléculas gaseosas a través de la membrana se realiza al disolverse la molécula gaseosa en el lado de mayor concentración, desde donde se difunde en la membrana para desorberse en el lado de menor concentración. Las membranas son elaboradas con acetato de celulosa o polisulfonatos, siendo películas extremadamente delgadas (menos de 50 nm).

Bajo condiciones semejantes los compuestos  $CO_2$  y  $H_2S$  son de 10 a 20 veces más permeables que el metano mientras que el agua lo es más de 200 veces.

Para lograr la separación son necesarios altos gradientes de presión entre los dos lados de la membrana empleada [67].

### Mallas moleculares.

Las mallas moleculares son adsorbentes que presentan una estructura molecular ordenada con tamaño de poro característico, lo que permite adsorber sólo particulas de dicho tamaño o menor. Presentan una alta capacidad de adsorción respecto al carbón activado o a la alúmina activada.

Las mallas moleculares se empacan en columnas diseñados para operar de 6 a 8 horas antes de requerir regeneración del adsorbente.

La regeneración, que dura una hora o más, de estos adsorbentes se efectúa por desorción por un aumento de la temperatura (325°C) y una reducción de la presión [67].

# 4.3.3. Eliminación de HoS

Entre los procesos existentes para eliminar  $H_2S$  de una corriente gaseosa, algunos pueden eliminar simultáneamente  $CO_2$  mientras que otros sólo el primer compuesto. La elección del proceso depende del uso que se tenga contemplado para el gas obtenido.

Las principales formas de remover H<sub>2</sub>S de una corriente gaseosa son: Absorción en líquidos, separación mediante membranas, formación de sulfuros metálicos, oxidación a azufre elemental (por complejos u otros compuestos) u oxidación por microorganismos. Absorción en líquidos.

La absorción en diferentes líquidos: aminas, agua, carbonato de potasio, polietilen-glicol y metanol se describió en el punto 4.3.2.

El único proceso de absorción de  $H_2^S$  en líquido no comentado hasta este momento, por no eliminar  ${\rm CO}_2$ , es la absorción en amoniaco, que se realiza a presión atmosférica. La regeneración del amoniaco se efectua por desorción con vapor.

$$2NH_3 + H_2S < ----> (NH_4)_2S$$

La absorción y la desorción generalmente se realiza en columnas empacadas, ya que son preferidas a las columnas por etapas cuando se manejan sustancias corrosivas.

Separación mediante membranas permeables a gases.

Estos procesos son los mismos explicados en el punto 4.3.2.

Formación de sulfuros metálicos.

Para el empleo de soluciones alcalinas, los procesos se muestran en el punto 4.3.2. Se puede usar otros compuestos como óxidos de hierro, de zinc; sales de hierro o acetato de zinc.

Reacción con óxidos de hierro.

El ácido sulfhídrico reacciona con los éxidos de hierro en presencia de humedad para formar sulfuros insolubles en agua:

Los óxidos de hierro se empacan en una columna que es mantenida

húmeda por goteo de agua. El gas pasa a través de ella, mientras reacciona el  $H_2$ S.

La regeneración de los óxidos de hierro es posible pero no práctica (manejo de la oxidación controlada de los sulfuros para evitar la formación de SO<sub>2</sub> o de SO<sub>3</sub> ):

FeS + 1/2 
$$0_2$$
 <-----> Fe0 + S +  $0_2$  <---->  $S0_2$  Fe $_3$ S $_2$  + 3/2  $0_2$  <---->  $S0_3$  El proceso Sulfatreat (Gas Sweetener Assoc, Inc.) [16] es semejante, sólo que emplea la adsorción en espoja de hierro, por lo que no requiere de humidificación.

Reacciones con sales de hierro.

Son reacciones de sustitución que se efectúan en fase acuosa para formar sulfuro de hierro [7]. Este compuesto es muy poco soluble en agua y se puede separar por precipitación o filtración. Entre las sales empleadas están cloruros, bromuros y otras altamente solubles.

Empleo de óxido de zinc y acetato de zinc.

Este proceso utiliza una suspensión de partículas de óxido de zinc en una solución de acetato de zinc contenida en una columna. El ácido sulfhídrico al pasar reacciona y forma sulfuro de zinc que también permanece en suspensión hasta que por su agotamiento sea cambiada la suspensión. El nombre del proceso es Chemsweet [16]. En la industria petroquímica es común el empleo de reactores empacados con pellets que contienen óxido de zinc en fase sólida, compuesto que por adsorción química elimina el ácido sulfhídrico:

$$z_{n0} + H_2 s < ---- > z_{ns} + H_2 o$$

Oxidación a azufre elemental.

Para oxidar  $s^{-2}$  a  $s^0$  se pueden emplear dos procesos: Reacción de  $H_2s$  con oxigeno en presencia de un catalizador o la oxidación por un completo de Fe<sup>+3</sup> que es reducido a Fe<sup>+2</sup>.

Empleo de oxígeno.

La oxidación de S<sup>-2</sup> a S<sup>0</sup> es la reacción fundamental del proceso Claus<sup>7</sup>. Existen diferentes procesos; fundamentalmente varían en el catalizador empleado: Carbón activado húmedo [7], Dióxido de Titanio (proceso MODOP, Mobil Oil Corp. [16]), además de los procesos Catasulf ( BASF AG [16]) y Superclaus ( Comprimo B.V. [16]) que no reportan su catalizador.

Todos estos procesos se basan en la siguiente reacción:

$$2H_2S + O_2 -----> 2S^0 + 2H_2O$$

El uso de carbón activado como catalizador tiene el inconveniente de que el azufre elemental formado queda adsorbido, lo que limita la cantidad de H<sub>2</sub>S que se puede tratar. Los demás catalizadores requieren de temperaturas cercanas a 500°C, temperatura a la que se realiza la reacción.

Oxidación por complejos.

La oxidación de  $s^{-2}$ a  $s^0$  por un complejo de Fe $^{3+}$  que se reduce a Fe $^{2+}$  es posible dada la gran afinidad existente entre los cationes

<sup>&</sup>lt;sup>7</sup>El proceso Claus se emplea para obtener azufre elemental a partir de H,S por oxidación con Q en reactores catalíticos. La materia primá empleada proviene generalmente de la industria petroquímica (endulzamiento del gas natural).

de Hierro con quelantes como EDTA (ácido etilen diamino tetraacético) y otros. La formación de los complejos de hierro (muy estables) impide la formación de los sulfuros de hierro (Tabla 4.5). El catión  ${\rm Fe}^{3+}$ , que forma parte del complejo, en presencia de  ${\rm H}_2{\rm S}$  y ausencia de  ${\rm O}_2$  es reducido a  ${\rm Fe}^{2+}$  que permanece complejado, mientras la especie  ${\rm S}^{-2}$  es oxidada a  ${\rm S}^0$ .

La reacción que se efectua es la siguiente:

$$2FeY^{-} + S^{-2} -----> 2FeY^{-2} + S^{0}pp$$

Esta se lleva a cabo en medio acuoso, ya que el  $\rm H_2S$  se absorbe en la fase líquida. De esta manera se presentan los equilibrios mostrados en la figura 3.5. De acuerdo con dichos equilibrios, se deben realizar consecutivamente, la absorción de  $\rm H_2S$  y su disociación en iones  $\rm H^+$  y  $\rm S^{2-}$  para después poder reaccionar con el complejo de  $\rm Fe^{3+}$ . En consecuencia la reacción global de oxidación del ácido sulfhídrico es:

$$2FeY^{-} + H_{2}S$$
 ---->  $2FeY^{-2} + S^{0}pp + 2H^{+}$ 

El azufre elemental formado, insoluble en agua, precipita. Es posible separalo por sedimentación o algún otro método.

Fey<sup>2-</sup>, complejo de Fe<sup>2+</sup>, producto en la reacción de oxidación del sulfuro es un compuesto facilmente oxidable en presencia de oxígeno molecular de acuerdo a la siguiente reacción:

Tabla 4.5 Valores logarítmicos de los coeficientes de formación para los complejos con  $Fe^{3+}$  y  $Fe^{2+}$  (  $25^{\circ}$ C, I=0.1 ). Fuente [2].

QUELANTE		Fe <sup>3+</sup>	Fe <sup>2+</sup>	
ANT	ácido nitrilioacético.	8.8	15.8	
EDTA	ácido etilen diamino tetraacético.	14.4	25.1	
ADTP	ácido dietilen amino pentacético.	16.7	27.5	

De esta forma, un dispositivo que por un lado oxide  ${\rm H_2S}$  y por otro regenere el complejo oxidante con  ${\rm O_2}$  puede funcionar en forma contínua. Los equipos empleados en este proceso son fundamentalmente dos reactores; en el primero en forma simultánea se realiza la absorción de  ${\rm H_2S}$  y la oxidación del  ${\rm S^{2-}}$  a  ${\rm S^0}$ . En el segundo reactor se realiza la regeneración del complejo. Generalmente se emplean columnas empacadas o tanques donde los gases burbujean en la solución de complejo. El diseño de ambos equipos debe tomar en cuenta la presencia de azufre elemental que puede ocasionar taponamientos. La separación de este elemento se puede efectuar con un sedimentador o filtro en paso de la corriente de solución de complejo entre los dos reactores.

Existen numerosos procesos basados en estos principios: LOCAT [5] [51] [18] [16] [67], Sulferox [5] [16], Sulfint [16] y Sulfolin [16], por ejemplo.

Existe otro proceso que oxida los sulfuros a azufre elemental, con óxidos de vanadio. El  $V^{+5}$  pasa a  $V^{+4}$ . y este último es regenerado al ser oxidado por el ácido disulfo antraquinónico (ADA); este a su vez regenerado por oxidación con oxígeno. Las principales reacciones son:

Este proceso lleva el nombre comercial de Stretford [5] [16] [8].

### 4.3.4. Procesos sugeridos.

Los principales gases producidos durante la digestión anaerobia son  ${\rm CH_4}$ ,  ${\rm CO_2}$ ,  ${\rm H_2S}$  y  ${\rm H_2O}$  (vapor). Cualquiera que sea el uso final de estos gases es muy conveniente la eliminación de  ${\rm H_2S}$  (por su poder corrosivo, su efecto contaminante -formación de  ${\rm SO_2}$  o  ${\rm SO_3}$ - o para recuperar azufre).

En la gran mayoría de las ocasiones, el objetivo de la digestión anaerobia es reducir la carga orgánica presente en los efluentes líquidos y no la obtención de energía del gas metano obtenido, que en muchos casos es quemado o venteado. Este proceder puede no ser el más apropiado, pero si es común. En esos casos, la eliminación de CO<sub>2</sub> o de H<sub>2</sub>S del gas carece de sentido; sin embargo, es muy recomendable cuando se desea aprovechar el metano como combustible y en especial en el caso de que se quiera comprimir.

Para la selección de un proceso se considera que la concentración de  ${\rm H_2S}$  es tal que para el uso a que se destina el gas producido justifica su eliminación.

Se han descrito los principales procesos para eliminar H<sub>2</sub>S. La mitad aproximadamente corresponde a procesos de absorción - desorción, que varían fundamentalmente en el líquido absorbente empleado: Etanolaminas, agua, carbonato de potasio, carbonato de

propileno, polietilen-glicol y metanol. Estos no permiten resolver adecuadamente el problema, ya que liberan  $\rm H_2S$  junto con  $\rm CO_2$  durante la desorción. El último, (empleo de metanol) libera  $\rm H_2S$  sin  $\rm CO_2$ , pero aún le falta la forma de transformar dicho compuesto en otro menos contaminante (presenta otros inconvenientes como la temperatura de proceso). Esto nos remite al uso simultáneo de dos procesos sucesivos o acoplados, el primero para separar  $\rm H_2S$  y el segundo para convertirlo en un compuesto menos problemático.

Respecto al empleo de membranas permeables a gases y mallas moleculares, no existe gran información respecto a su empleo comercial. Junto a los requerimientos de altos gradientes de presión y de regeneración a altas temperaturas, respectivamente además de que presentan también el inconveniente de liberar  ${\rm H_2S.}$ 

Los procesos que funcionan con base en reactivos no regenerables no son de uso muy atractivo dado el alto costo (en general) de operación que representa el uso de uno de estos reactivos frente a otro regenerable. Un problema es la necesidad de encontrar una forma apropiada de desechar el reactivo usado (precipitado de sulfuro de zinc formado en el proceso Chemsweet [16] por ejemplo). El proceso industrial para la obtención del azufre parte de  $\rm H_2S$  (Claus), pero requiere de la adición de oxígeno y calentamiento hasta  $\rm 500^{\circ}C$  de la corriente de gas a tratar, lo que no es recomendable para corrientes con alto contenido de metano.

La remoción por complejos de H<sub>2</sub>S tiene la ventaja de eliminar este compuesto de la corriente gasesosa al mismo tiempo que lo

transforma en azufre elemental ( que puede ser aprovechable <sup>8</sup>), por lo que no genera residuos peligrosos o de dificil manejo. Estas razones hacen de estos procesos los más prometedores para la eliminación de ácido sulfhídrico del gas producido por digestión anaerobia.

Entre los procesos de oxidación por complejos es importante hacer notar que el proceso Stretford (óxidos de vanadic y ADA) parece más complicado que los que emplean principalmente quelatos de hierro.

El proceso básico de tratamiento, mediante la reacción del  $H_2S$  con complejos, del gas producido anaerobiamente se muestra en la figura 4.1.

En caso de que el gas obtenido (CH $_4$  y CO $_2$ ) sea destinado para algún uso específico que requiera la eliminación de CO $_2$ , se puede acoplar al proceso básico anterior algún proceso para la eliminación de este compuesto. A escala industrial sólo son usados para ello procesos de absorción – desorción (por el costo de operación que representan todos los demás procesos) en diversos disolventes (aminas, amoniaco, carbonato de potasio, carbonato de propileno, metanol o agua).

La selección específica de un proceso de este tipo depende de factores principalmente económicos y de la disponibilidad de servicios, por lo que se requiere de un estudio más preciso que incluya estos aspectos.

Un diagrama del proceso de eliminación de H,S y CO, para el gas

<sup>8</sup> En este caso es importante recordar que en los ingenios azucareros se quema azufre elemental para producir SO<sub>2</sub> empleado en la sulfitación (figura 1.1)

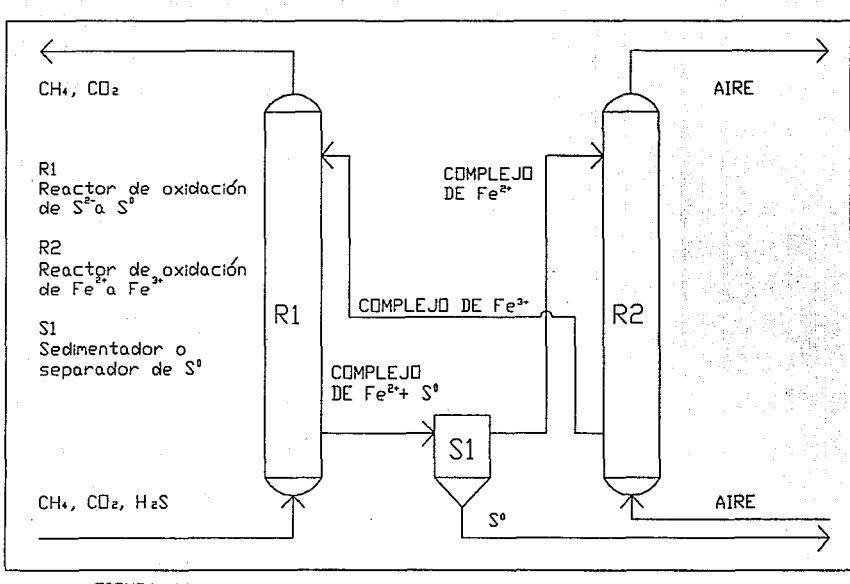


FIGURA 4.1 ESQUEMA DE FLUJO DE PROCESO PARA LA ELIMINACION DE  $H_{\epsilon}S$ 

producido anaerobiamente se muestra en la figura 4.2. Se presenta el equipo de proceso necesario para el empleo de un sistema de absorción de  ${\rm H_2S}$  y oxidación por complejos con regeneración, para el  ${\rm CO_2}$ ; se muestra un sistema de absorción en etanol-aminas con regeneración.

La figura 4.3 corresponde a la matriz de decisiones para la selección del proceso para la eliminación de  $CO_2-H_2S$ . En ella se muestra que el mejor proceso, de acuerdo a los parámetros empleados en esta evaluación es la absorción en etanolaminas.

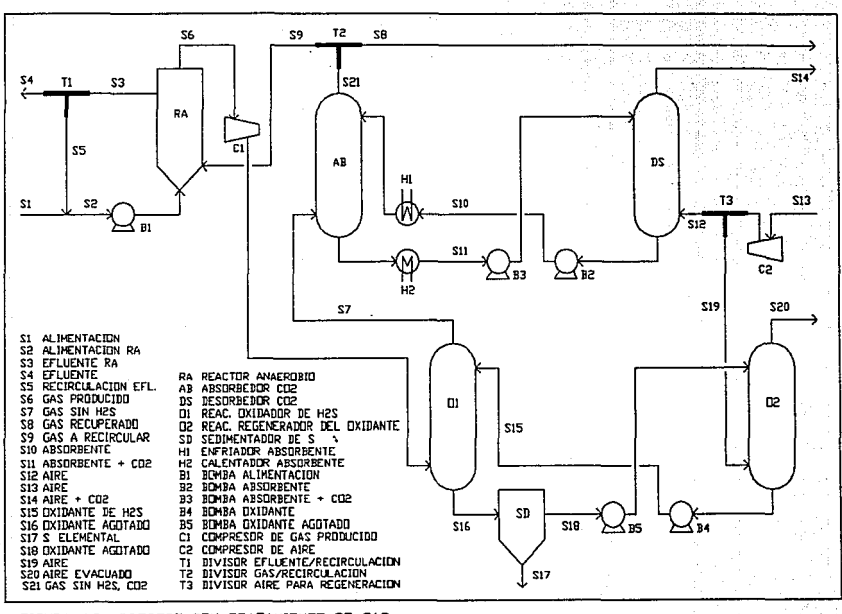


FIGURA 4.2 PROCESO CON TRATAMIENTO DE GAS CON ELIMINACION DE CO2 Y H2S

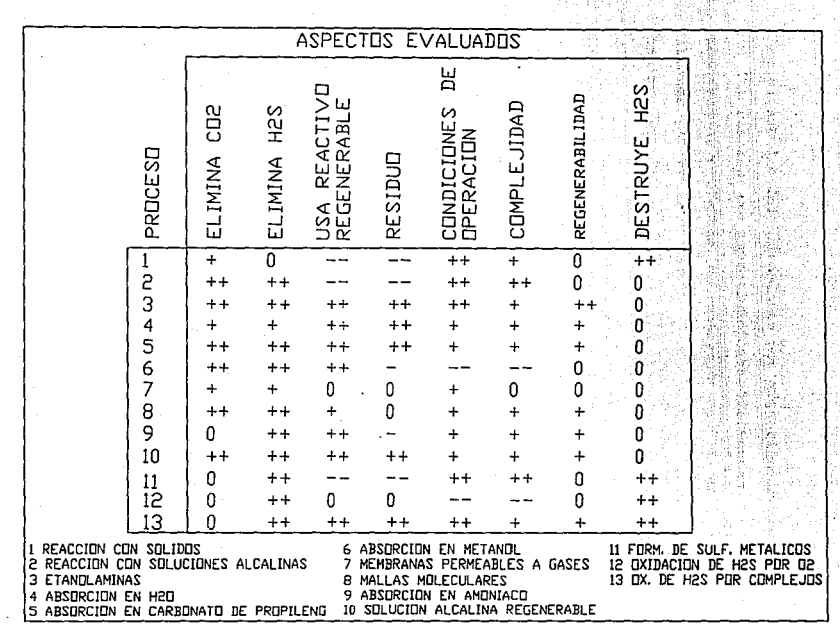


FIGURA 4.3 MATRIZ DE DECISIONES PARA EL PROCESO DE ELIMINACION DE CO<sub>2</sub> - H<sub>2</sub>S

#### 5 TRATAMIENTO ANAEROBIO DE VINAZAS

Para el estudio del tratamiento por digestión anaerobia de vinazas son importantes las investigaciones efectuadas con sustratos que presentan una elevada concentración en materia orgánica y en sulfatos, características de las vinazas. Estas investigaciones persiguen diferentes objetivos de estudio, siendo los principales:

5.1 Efectos tóxicos de los sulfuros a la digestión anaerobia (Koster [25], Rinzema [42], Oleszkiewicz [39]).

Tratamiento anaerobio de aguas con elevada concentración de sulfatos o sulfitos (Farkin [40], Reis [42], Sarner[44]).

Procesos para el tratamiento de aguas residuales ácidas por vía anaerobia con recirculación (Ely [12], Ferguson [14] y, Graef y Andrews [60]).

Para manejar una nomenclatura homogénea en todos los artículos presentados,  $s^{-2}$  corresponde a la concentración total en disolución de los sulfuros en sus tres especies:  $H_2s$ ,  $Hs^-$  y  $s^-$ . Esta última especie no puede presentarse en forma libre si el pH de sistema es menor a 10.5, por lo que en todos los estudios y casos mostrados su concentración es cero.

## 5.1 Efectos tóxicos de los sulfuros a la digestión anaerobia.

Koster [25] y sus colaboradores estudiaron la actividad del lodo granular anaerobio, en especial el efecto tóxico del sulfato, debido a la formación de sulfuros, en tres diferentes intervalos de pH (6.4-6.6, 7.0-7.2, 7.8-8.0) sobre la degradación de propionato.

Emplearon reactores que operaban por lotes, en los que se redujo la pérdida de sulfuros, debida a la desorción por arrastre, al conservar éste en el interior del reactor. Las concentraciones de sustrato usadas en este estudio fueron de 500, 1000 y 2000 mg/L. La mayor parte de los resultados se obtuvieron con la concentración intermedia.

Asumen que la especie tóxica del  $s^{-2}$  es el  $H_2S$ , especie capaz de atravezar la membrana celular (Specce, [49]).

Los resultados que obtuvieron se presentan en la tabla 5.1. Muestran que las concentraciones que causaron una inhibición del 50% de la actividad metanogénica fueron 250 mg de  $\rm H_2S/L$  en los intervalos 6.4-6.6 y 7.0-7.2, y de 90 mg/L en el de 7.8-8.0.

Encontraron que para los dos primeros intervalos se tiene una buena correlación entre la concentración de H<sub>2</sub>S libre y la actividad metanogénica, mientras que para el intervalo 7.8-8.0 la correlación fue más bien entre la concentración de sulfuros totales y la actividad metanogénica.

Informan que los resultados obtenidos pueden reflejar el efecto de la formación de gradientes de pH o de concentración de sulfuros en el interior del lodo granular. Este hecho puede permitir una mayor tolerancia a las condiciones del medio.

De acuerdo a estos resultados, sólo la concentración de  $\rm H_2S$  no es un buen parámetro para describir la inhibición debida a sulfuros en la digestión anaerobia debido a que a pH neutro o básico la inhibición es función del la concentración de  $\rm H_2S$ , mientras a pH alto es función de la concentración total de sulfuros.

Tabla 5.1 Concentración de las diferentes especies de S<sup>-2</sup> cuando se tiene una inhibición del 50% en la digestión anaerobia. Resultados obtenidos por Koster [25].

рн	s <sup>-2</sup> (mg/L)	H <sub>2</sub> S (mg/L)	HS (mg/L)	S (mg/L)
6.4 - 6.6	375	246	129	0
7.0 - 7.2	810	252	558	0
7.8 - 8.0	841	90	751	0

s-2: Concentración total de sulfuros solubles.

Rinzema y su equipo [42] continuaron el estudio anterior, pero ahora operando reactorea anaerobios contínuos (UASB). Manejan una carga orgánica de 5 kg DQO/  $m^3$ día con 10 g/L de  $SO_4^{-2}$ .

Encontraron que la degradación anaerobia del propionato es estable a concentraciones de sulfuros de hasta aproximadamente 700 mg/L manteniendo la concetración de H<sub>2</sub>S debajo de 100 mg/L, ya sea por regulación del pH o por dilución.

Cuando la concentración de  $H_2S$  excede 100 mg/L, la degradación del propionato se reduce y el proceso es inestable tardando en recuperarse entre 3 y 4 semanas.

Asumen también que la especie del  $s^{-2}$  que inhibe la metanogénesis es el  $H_2S$ . Encontraron que el paso inhibido en la digestión anaerobia por altas concentraciones de  $H_2S$  no es propiamente la metanogénesis sino la acetogénesis, al menos en ese caso. Es notable el hecho de que a pesar de mantener concentraciones superiores a 700 mg/L de  $s^{-2}$ , la degradación de propionato es estable si la concentración de  $H_2S$  es mantenida debajo de 100 mg/L de S en esa especie. Las diferencias entre estos resultados y los de Koster se pueden deber al hecho de que ahora se emplean reactores contínuos (en el otro experimento son batch) lo que modifica muchas condiciones.

Oleszkiewicz [39] realiza un estudio más completo ya que no se limita al empleo de un sustrato, pues emplea lactato, butirato, propionato, acetato y una mezcla 50% - 50% de acetato y propionato (con base en sus DQO). Maneja diferentes concentraciones de sulfuros que van de 0 a 1800 mg/L (expresadas como mg de S).

Las conclusiones obtenidas por Oleszkiewicz son:

- 1.- El tiempo requerido para alcanzar una eficiencia de remoción del 90% aumenta conforme la concentración de  ${\rm s}^{-2}$  aumenta.
- 2.- El tiempo requerido para alcanzar una eficiencia de remoción del 90% fue menor para un pH elevado (7.7-7.9) que para un pH ácido (6.6-7.4) mostrando que la especie responsable de la inhibición es H<sub>2</sub>S.
- 3.- Los microoganismos responsables de la digestión anaerobia presentan diferentes sensibilidades a la especie H<sub>2</sub>S; en este caso fueron mucho más afectados los microorganismos que emplean propionato seguidos de los que emplean acetato, butirato y finalmente. lactato.
- 4.- La disminución en la rapidez de utilización del sustrato puede ser expresada en forma adecuada por la relación entre la rapidez de utilización del sustrato y la concentración total de sulfuros (para un pH dado), a esta relación la llama coeficiente de retardo k (L/mg).
- 5.- Con una alta concentración total de sulfuros y un elevado pH, la rapidez de consumo de acetato puede ser mucho más afectada (disminuida) que la de propionato.

Las tres investigaciones, fundamento para el trabajo desarrollado en esta tesis, presentan el efecto de la sulfatorreducción en la digestión anaerobia. Koster muestra (empleando reactores por lotes) que, a pH ácido y neutro, la inhibición es función de la concentración de  $\rm H_2S$ , mientras a pH básico es función de laconcentración de sulfuros totales.

Rinzenma y Oleszkiewicz determinaron el efecto del  ${\rm H_2S}$  disuelto en la degradación anaerobia, que se realizó en reactores contínuos empleado diferentes sustratos.

A partir de lo presentado por las tres investigaciones es importante considerar a un pH elevado (mayor a 7.5) la concentración de sulfuros totales en el medio cuando se presenta inhibición es mayor que a pH neutro o básico.

5.2 Tratamiento anaerobio de aguas con elevada concentración de sulfatos o sulfitos.

Parkin [40] trabajó con un reactor filtro anaerobio de flujo ascendente y propionato como sustrato, buscando de evaluar la capacidad de dicho reactor para tratar las aguas residuales con un alto contenido de sulfatos, establecer las concentraciones de H<sub>2</sub>S y de sulfuros disueltos que afectan al sistema para poder comparar a este reactor con uno de tanque agitado.

Empleó varias combinaciones de carga (Bv =  $kgDQO/m^3d1a$ ) con relación  $DQO (kg/m^3)/S(kg/m^3)$  y dos tiempos de retención: 1 y 2 días.

Para un tiempo de retención de un día, las combinaciones fueron: 3-20, 3-15, 5-24.5, 5-15, 5-12.5, 5-10 y 5-8. Se paso de una a otra condición en forma sucesiva.

Con esto busco pasar de condiciones favorables respecto a la carga y la concentración de sulfatos a condiciones menos favorables, para poder determinar en que momento comienza a verse afectada la digestión anaerobia.

En los resultados muestra un incremento paulatino en la concentración de los sulfuros disueltos y del  $H_2S$  libre. La condición de fallo del reactor se dio a cuando las condiciones fueron BV = 5, DQO/S = 8 con un tiempo de retención hidráulico de l día.

Las concentraciones de H<sub>2</sub>S y sulfuros disueltos que comienzan a afectar el proceso fueron de 110 y 350 mg de S/L, producidos por una concentración de sulfatos en la alimentación de 625mg/L. No se

presenta en forma explicita el pH, lo que presenta son las relaciones  $H_2S/S^{-2}$ , que corresponden a un pH determinado. En este caso la fracción de  $H_2S$  es 0.314, que corresponde a un pH de 7.25 (empleando la constante de equilibrio quese reporta en el artículo: K1 = 1.21E-7).

Con un tiempo de retención de dos días se mantuvieron las siguientes condiciones Bv-DQS/S: 3-8, 4-8 y 4.5-9. En esta última se llegó a condición de fallo.

Encontró que el aumento en Bv y en la concentración de sulfatos alimentada provoca una disminución en la remoción de propionato; al incrementar el tiempo de retención hidráulico de 1 a 2 días, el proceso fue mucho menos estable.

La mayor parte de la actividad biológica se lleva a cabo en el primer tercio del reactor, lo que sugiere que después de este punto la alta concentración de sulfuros inhibe la degradación en el reactor. Reis [42] propone lograr la disminución en la inhibición debida a sulfuros, mediante su eliminación del medio anaerobio; en su experimento esto se realiza al dividir la digestión anaerobia en dos partes. La primera, sulfatorreductora, se realiza en un medio acidogénico, y la otra es metanogénica, cada cual realizada en su propio reactor.

Compara el funcionamiento de dos reactores acidogénicos: un reactor filtro anaerobio y un reactor de tanque agitado. El diagrama del proceso empleado se presenta en la figura 5.1.

Empleó vinaza con un contenido de 4.2 a 5.1 g/L de sulfatos en reactores anaerobios acidogénicos estabilizados a diferente pH por adición de amoniaco empleando un controlador de pH; estos pH fueron 4, 5.4, 5.8, 6.2 y 6.6. Bajo dichas condiciones (todas acidogénicas) se favorece en diferente grado la sulfatorreducción. La eliminación se realiza convirtiendo la mayor proporción posible de sulfatos en sulfuros que, son precipitados al reaccionar con óxidos de hierro antes de pasar la fase acuosa a un reactor metanogénico. El gas producido por los reactores acidogénicos se cuantifico y analizó para determinar el comportamiento de los reactores. Los resultados más significativos se muestran en la tabla 5.2

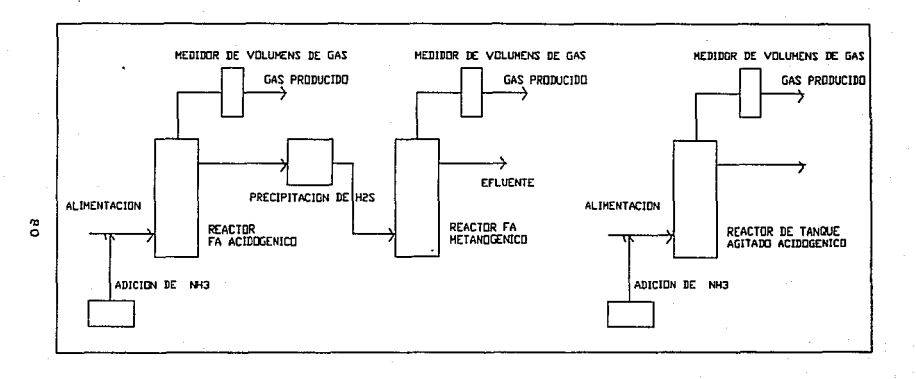


FIGURA 5.1 PROCESOS EMPLEADOS POR REIS

Tabla 5.2 Principales resultados obtenidos por Reis [42]

Reactor filtro anaerobio

	*	Remoción	Sulfatos	* н <sub>2</sub> s		% CH	4
рH		91	<b>8</b> 2	<del>0</del> 1	<b>82</b>	<del>0</del> 1	92
6.6		100	90	9	9	36	18
6.2		100	78	9.4	9.6	29	na
5.8		47	31	4.6	2.8	5.6	7.5
5.4		18	7	1.2	0.8	nd	nd
			Reacto	r agitado	5		
6.6		71	72	9.5	9	22	3.6
6.2		65	59	10.5	10	4.5	nd
5.8		38	33	6.4	5.3	nđ	nd
5.4		8	7	0.3	0.8	nd	nd

01= 28.8 h, 02= 22h, na= no analizado, nd= no detectado.

Encontró que a pH de 6.6 y de 6.2, se obtiene una elevada remoción de sulfatos y una alta concentración de H<sub>2</sub>S en el gas producido en el reactor acidogénico que permitió operar el reactor metanogénico que le seguia sin ningún problema.

El tiempo de retención conjunto, considerando la suma de los volúmenes del reactor acidogénico y el metanogénico, fue de 2.1 días cuando en el reactor acidogénico fue de 28.8h y de 2.8 días cuando en el acidogénico fue de 22h.

Los resultados muestran que el reactor filtro anaerobio se desempeña mejor que el reactor de tanque agítado.

El proceso empleado en este experimento presenta algunos inconvenientes importantes: Requiere de un cuidadoso control del pH<sup>1</sup> en los reactores acidogénicos y la adición de amoniaco en cantidades no precisadas en el estudio para lograrlo. Emplea un reactivo no regenerable (óxidos de hierro) para eliminar los sulfuros al formar un precipitado, que debe de ser separado de la corriente de líquido. No debe pasarse por alto el hecho, no comentado en el artículo, de que en la fase acidogénica se forma una gran cantidad de ácidos grasos volátiles (las concentraciones encontradas se reportan en el artículo) que confieren al gas el olor correspondiente.

Sarner [44] muestra los resultados obtenidos en una planta industrial de tratamiento de aquas residuales provenientes de una fábrica de celulosa. Dicha agua residual contiene un promedio de 0.7 g/L de azufre en forma de sulfitos. El proceso empleado, que se muestra en la figura 5.2, consiste en un reactor anaerobio al cual es recirculado parte del gas que produce, después de haber desorbido el H<sub>2</sub>S. La masa de gas recirculado corresponde a 20 veces la generada de gas. La solución absorbente contiene sulfuro de sodio y carbonato de sodio, por lo que también absorbe CO., aunque según el artículo en muy pequeña cantidad. La solución absorbente agotada se regenera por desorción debida calentamiento.

<sup>1</sup> Sin este control, el pH en forma natural seria menor a 5.4. El poder mantener 4 diferentes pH estables bajo las mismas condiciones de operación solo se puede explicar por la adición de reactivos para controlarlo, iclusive a pH 5.4. Esto indica que sin este control el pH en forma natural sería menor a 5.4.

FIGURA 5.2 PROCESO EMPLEADO POR SARNER

Las eficiencias que reporta son de entre 63 y 71% con una DQO de entrada de 12 g/L. Calcula que sin recirculación de gas ni absorción de  $\rm H_2S$ , la concentración de  $\rm H_2S$  en el reactor sería mayor a 200 mg/L, con una concentración en el gas de 4 a 8%. Esto en comparación con los resultados de operación en la planta real, que fueron de 60 a 100 mg/L en el reactor y de 0.8% en el gas. Atribuyen las altas eficiencias de remoción obtenidas a la absorción de  $\rm H_2S$ .

## Comparación.

La forma de evitar la existencia del efecto inhibitorio debido al  $H_2S$  en la digestión anaerobia es enfocado desde diferentes perspectivas por los tres artículos comentados. En el primero se trata de de encontrar la condiciones de operación que permitan el funcionamiento adecuado del sistema, mientras los dos últimos buscan reducir la concentración de  $H_2S$  presente en el sistema; en el estudio realizado por Reis se elimina directamente de la fase acuosa por precipitación, mientras que en el proceso empleado por Sarner se elimina por desorción mendiante el arrastre por gas, siendo este el gas producido por el reactor anaerobio, del que previamente se ha eliminado el  $H_2S$ .

5.3 Procesos para el tratamiento de aguas residuales por vía anaerobia con recirculación.

Aunque no se refiere a un proceso ideado para el tratamiento de vinaza, Ely [12] propone un proceso y equipo para reducir la cantidad de cáustico (base) agregada a un reactor anaerobio con objeto de mantener su funcionamiento estable (controlar pH), cuando se alimenta con agua residual de bajo pH. El proceso se muestra en la figura 5.3.

desorción de co, de la corriente se la alimentación mezclada con agua tratada de recirculación en una columna de desorción, que emplea como gas de arrastre al metano producido en la digestión anaerobia. Este gas no debe contener CO2, por lo que dicho compuesto debe de ser eliminado antes de introducirlo al desorbedor; después del desorbedor la corriente líquida entra al reactor. La desorción de CO, permite mantener un pH más elevado en el reactor y reducir la cantidad del reactivo usado en la regulación del pH. Este proceso está limitado por la relación entre la corriente de recirculación y la de alimentación, que no puede ser muy elevada ya que implica un proporcional en el tamaño del reactor si se desean mantener otras condiciones de operación (tiempo retención). Por otro lado, una relación de recirculación alta puede causar problemas de arrastre de lodos si se mantiene constante el tamaño del reactor, además de repercutir en un mayor consumo energético. .

Ferguson y sus colaboradores [14] analizan el efecto de la adición de diferentes bases al influente de un reactor anaerobio completamente mezclado, así como de la recirculación del efluente producido y la recirculación de este último después de haber desorbido el CO<sub>2</sub> contenido en dicha corriente por arrastre con aire (figura 5.4). El agua residual empleada consiste en los

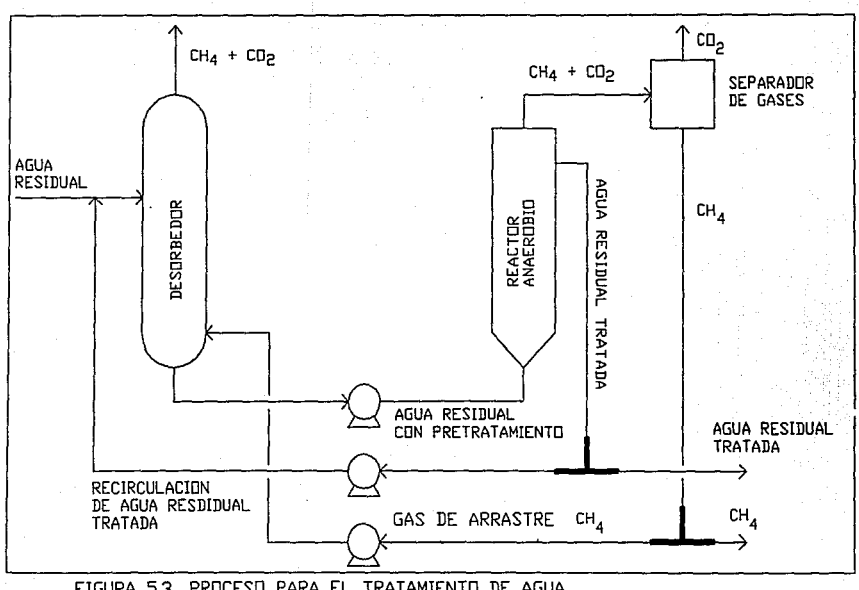


FIGURA 5.3 PROCESO PARA EL TRATAMIENTO DE AGUA RESIDUAL, PATENTADO POR ELY

FIGURA 5.4
PROCESOS EMPLEADOS POR FERGUSON

condensados obtenidos en la producción de pulpa de madera que contienen principalmente 50 mM/L de ácido acético, 30 mM/L de metanol y 12 mM/L de  ${\rm SO_4^{2-}}$  con un pH de 2.1. Es necesario recordar que en la degradación anaerobia el azufre contenido en los sulfatos y sulfitos del sustrato puede ser reducido a  ${\rm S^{-2}}$ .

En su análisis, presenta un sistema formado por 50 mM de carbono y 12 mM de  $\rm S^{+6}$ , compuestos que en el sustrato se encuentran en forma de  $\rm CH_3$ -COOH y  $\rm SO_4^{-2}$ , por lo que se convierten en relación estequiométrica en los productos de la degradación anaerobia:  $\rm CO_2$ ,  $\rm CH$ , y  $\rm H_2S$ .

Presenta la curva de valoración correspondiente al sistema  ${\rm CO}_2$ ,  ${\rm CH}_4$  y  ${\rm H}_2{\rm S}$ , así como la referente al sistema original: 50 mM de  ${\rm CH}_3$ -COOH, 12 mM de  ${\rm SO}_7^{-2}$ .

Estos diagramas, donde se considera que todos los productos a excepción del metano permanecen en fase acuosa, muestran que las reacciones de digestión anaerobia aumentan el pH del efluente.

Considera como opciones alternativa para aumentar el pH del influente (originalmente 2.1) la recirculación de una porción del efluente, o bien la recirculación del efluente después de haber desorbido CO, de él.

Con este objeto, calcula y muestra, en forma gráfica, el pH que se tendría en el reactor, así como la composición del gas producido cuando se adicionan tres diferentes mezclas de sustancias básicas: NaOH 100%, NaOH 50%-Na<sub>2</sub>CO<sub>3</sub> 50%, y Na<sub>2</sub>CO<sub>3</sub> 100%, en dichas gráficas incluye valores experimentales obtenidos.

Estima el efecto sobre el pH de la cantidad de base añadida y de la relación de recirculación para el sistema estudiados, así como el volumen de gas producido por el reactor, en relación al volumen del líquido alimentado al reactor (con las concetraciones anteriores). También estima la relación entre el volumen del gas de arrastre y el volumen del gas que sale del sistema y finalmente las fracciones de carbonato y CH<sub>4</sub> que contienen el efluente, el gas recuperado y el gas de arrastre del desorbedor.

Las conclusiones que obtiene son las siguientes:

De las bases empleadas, la que permite mantener un pH más elevado es NaOH.

Las altas relaciones de recirculación permiten reducir los requerimientos de base para neutralizar.

Graef y Andrews [60] plantean un modelo matemático que representa el funcionamiento de un reactor anaerobio considerando la existencia de fase gasesosa, fase líquida y fase biológica, siendo esta pseudofase la que representa el comportamiento de los microorganismos responsables de la digestión anaerobia. Muestra el equilibrio que se debe establecer entre estas fases en la digestión anaerobia.

Compara cuatro métodos para controlar el pH de un reactor anaerobio totalmente mezclado, alimentado con ácido acético. Los métodos empleados son:

- Lavado del gas (absorción de CO<sub>2</sub>) y recirculación de éste al reactor (figura 5.5).
- 2. Adición de una base a la alimentación del reactor.
- 3. Recirculación de microorganismos al reactor.
- 4. Reducción del gasto de alimentación al reactor.

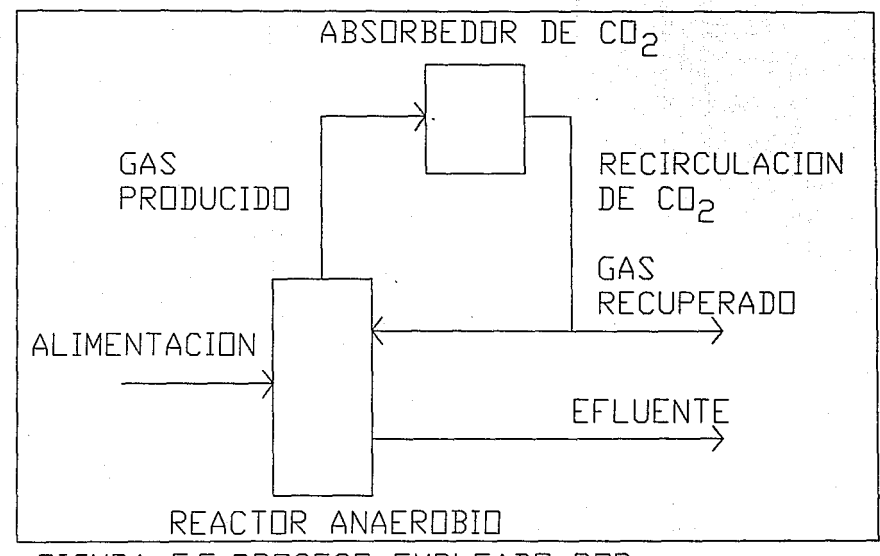


FIGURA 5.5 PROCESO EMPLEADO POR GRAEF Y ANDREWS

Presenta gráficas del desempeño del reactor con los diferentes métodos de control de pH.

Concluye que la recirculación de gas después de absorber el CO<sub>2</sub> es un método eficiente para el control del pH en un reactor anaerobio, y que su utilidad depende del pH que se establecería sin la recirculación del gas tratado.

## Comparación.

Los tres artículos descritos buscan mantener el pH del reactor anaerobio en el intervalo adecuado. Ely y Ferguson mediante la recirculación de una parte del efluente obtenido previa desorción de CO<sub>2</sub>, como alternativa a la adición de una base para el control del pH,. Graef hace un análisis más completo de lo que ocurre en el reactor anaerobio y plantea la desorción de CO<sub>2</sub> en el interior del reactor como un método factible de control del pH.

Del análisis de las tres investigaciones, se pueden establecer los aspectos a considerar en el desarrollo de un proceso de tratamiento de vinazas por vía anaerobia.

Primeramente se sabe que es necesario mantener un control sobre la concentración de  $H_2$ S en el sistema, sin olvidar la influencia que sobre este compuesto tiene el pH.

Se conoce también que existen diferentes métodos para mantener la concentración de H<sub>2</sub>S (precipitación, desorción o modificación en las condiciones de operación) en un intervalo adecuado.

Para mantener un pH adecuado se presenta la recirculación del gas con absorción de  ${\rm CO}_2$  [60] o bien del efluente con desorción de  ${\rm CO}_2$ 

[12, 14] como alternativa a la adición de una base a la corriente de alimentación.

Todas estas experiencias hacen posible proponer un proceso que permita el tratamiento por vía anaerobia de la vinaza, donde mediante la desorción de  $\rm H_2S$  sea posible mantener la concentración de este compuesto en un intervalo adecuado. Para la desorción de  $\rm H_2S$  se puede emplear como gas de arrastre  $\rm CH_4$ , que ocasiona a su vez la desorción de  $\rm CO_2$ , permitiendo incrementar el pH en el interior del reactor.

No se reporta ningún proceso donde se desorba conjuntamente  $CO_2$  y  $H_2S$  en el interior del reactor, ni tampoco otro en el que se recircule parte del efluente, previa desorción de  $CO_2$  y  $H_2S$ .

Si se desea manetener constante el tiempo de retención de un reactor anaerobio, es necesario aumentar su volumen conforme la fracción líquida recirculada sea mayor, mientras que la recirculación del gas no tiene este efecto; lo que requiere es de sistemas de separación de fases suficientemente eficientes, tal que eviten el arrastre de lodo en el efluente.

Tanto la recirculación de efluente líquido como la del gas producido incrementan la turbulencia en el interior del reactor, provocando un mayor mezclado y una mayor transferencia de masa, que puede beneficiar el proceso. Con esto, la disponibilidad de sustrato es más homogénea en el reactor y la desorción de gases más facil, lo que favorece el proceso.

### 5.4 Antecedentes experimentales inmediatos.

#### Planta Piloto

El Instituto de Ingeniería de la UNAM instaló en Tambaca, San Luis Potosí, una planta piloto para el tratamiento de vinazas cuyo trabajo prosigue hasta ahora. Sus resultados iniciales se reportan en el informe "Tratamiento anaerobio de vinazas a nivel planta piloto con dos tipos de reactores avanzados. la. y 2a. parte" [36]. Se trabajó con tres reactores tipo Filtro Anaerobio y un UASB.

Los principales resultados obtenidos fueron los siguientes: Una eficiencia máxima de remoción de 65% empleando vinaza diluída al 50% con agua, O=5 días y BV=10 kgDQO/m<sup>3</sup>día. Bajo condiciones más severas se alcanzó una eficiencia de 55% con vinaza pura (100%), O=2.5 días y BV=36 kgDQO/m<sup>3</sup>día, siendo ligeramente mayor la eficiencia del UASB en comparación del 1a del FA.

El pH del efluente fue del orden de 5.8, indicando la presencia de un microambiente en el lecho de lodos, para que se puedieran realizar la metanogénesis y la sulfatorreducción. A dicho pH, prácticamente todos los sulfuros se encuentran como H<sub>2</sub>S siendo considerado dicho compuesto la principal causa de inhibición.

Respecto al inóculo empleado, se encontró que la calidad de los lodos activados adaptados en anaerobiosis y de los lodos de fosa séptica era adecuada para el arranque de reactores anaerobios.

A partir de los resultado obtenidos se decidió orientar la investigación posterior hacia la reducción de los efectos inhibitorios de los componentes de la vinaza sobre la digestión

anaerobia, e incluir trabajo en reactores de laboratorio.

Reactores de laboratorio.

Tiempo después se inició el trabajo de investigación en laboratorio en el mismo Instituto (Ciudad Universitaria), que es el antecedente más directo del trabajo desarrollado en esta tesis. Los resultados obtenidos se reportan en la referencia [32]. Se presentan los primeros 260 días de operación de dos reactores UASB; del día 1 al 187 corresponde la experimentación del trabajo de tesis desarrollado por Cesar Jiménez Torres. Del día 187 al 260 corresponden a la parte inicial de esta tesis, por lo que se comentarán más adelante.

El período del día 1 al 187 comenzó después la obtención del inóculo y de la inoculación [32] [37] de dos reactores UASB (UASB1 y UASB2). Se arrancaron empleando vinaza diluída (20% de vinaza en agua); en esta etapa se adicionó NaHCO3 para neutralizar la vinaza, y el pH se mantuvo en el intervalo 6.5-7.5. La adición de NaHCO3 se redujo paulatinamente hasta suprimirse del todo, conservando el pH en el intervalo anterior y sobre todo la operación estable del reactor. En ese momento se consideró como concluido el período de arranque del reactor.

De acuerdo a la experimentación en planta piloto, respecto a la causa de la inhibición, se consideró, como primera hipótesis, la elevada concentración de sulfatos (sustrato para la formación de sulfuros) y de potasio en la vinaza. Con objeto de reducir estas concentraciones, se diluyó la vinaza (20% de vinaza en agua) de alimentación. Al operar los reactores se obtuvieron dos periodos

estables para el UASB2 y uno para el UASB1 (El reactor UASB2 fue arrancado primero) bajo las condiciones mostradas en la tabla 5.3. Los resultados obtenidos se muestran en la tabla 5.4.

Tabla 5.3 Condiciones de operación de los reactores (T=35 <sup>O</sup>C, vinaza diluída (20% de vinaza en agua). Fuente [32].

REACTOR	UASB2		UASB1
Período estacionario	10	20	10
TRH (dias)	6.6	3.4	7.1
Bv (kgDQO/m <sup>3</sup> dia)	2.75	4.68	2.08
Duración (días)	30	40	15

Tabla 5.4 Resultados de la operación en estado estacionario de los reactores UASB2 y UASB1. Fuente [32].

REACTOR	UASB2		UASB1
Período estacionario	-10	20	10
PARÁMETRO			
DQOi (mg/L)	17528	15928	14850
DQOe (mg/L)	5041	6082	8963
REMOCION	71%	62%	40%
SO4i (mg/L)	1087	1103	980
SO <sub>4</sub> e (mg/L)	181	296	206
S <sub>2</sub> -2 i (mg/L)	74	74	18
$S_2^{-2}i$ (mg/L)	208	228	260
Bv (kgDQO/m <sup>3</sup> dia)	2.75	4.64	2.08
CH <sub>4</sub> (L CH4/gDQOrem)	0.277	0.386	0.527
CH <sub>4</sub> en gas	68.42%	69.8%	56.3%

Estos resultados muestran que la dilución de la vinaza no permitió alcanzar resultados significativamente superiores a los obtenidos en la planta piloto ( 65% de remoción como máximo). Esto llevó a la conclusión de que la redución en la concentración de sulfatos no fue suficiente para garantizar la disminución necesaria en la concentración de H,S (formado durante la sulfatorreducción) para evitar la posible inhibición sobre de la digestión anaerobia, siendo necesario reducir la concentración de HaS de alguna otra manera. Se observó también que la reducción en la concentración de potasio (por dilución) no afectó en forma apreciable el rendimiento de la digestión anaerobia. Como es poco factible aumentar aún más la dilución (más agua, menos vinaza y por tanto mayor tamaño de reactor) o emplear otro medio para eliminar el potasio, se procedió a investigar el efecto y la remoción de H,S en el medio anaerobio, trabajo que corresponde propiamente a esta tesis.

La baja eficiencia de remoción mostrada en el período 10 del reactor UASB1 puede deberse a una erronea determinación de la DQO [32], que se refleja en el cálculo del porcentaje de remoción y en el valor de la relación de producción de metano por gramo de DQO removido, que es de 0.526 (mucho mayor a la estequimétricamente posible: 0.35L CH<sub>4</sub>/ gDQO removido), que muestran una incongruencia en los resultados.

Un importante aspecto en esta investigación preliminar consistió en la reducción en el tiempo de arranque de los reactores; de 40 días para el reactor UASB2 a 22 para el reactor UASB1, que se logró gracias al conocimiento de la respuesta del sistema.

### Micronutrientes

Por otra parte, resultados parciales del trabajo desarrollado son presentados en la referencia [37] que incluye aspectos estudiados en forma paralela a lo investigado en esta tesis, como es el efecto de la concentración de K<sup>+</sup> sobre los cationes de los siguientes elementos: Ní, Fe, Cu, Cr y Zn, considerados esenciales en el metabolismo anaerobio (micronutrientes). También se estudió el efecto del K<sup>+</sup> sobre las especies intecambiables de Ca, Mn y Mg, así como el efecto de la adición de los micronutrientes faltantes junto con agentes quelantes (cisteína y EDTA) que los mantienen disponibles para los microoganismos.

#### 6 PLANTEAMIENTO DEL TRABAJO EXPERIMENTAL

6.1 Objetivos de la investigación.

El objetivo final del trabajo en laboratorio empleando reactores anaerobios para tratar vinazas consiste en determinar las condiciones de operación más adecuadas (tiempo de retención (O), carga orgánica (Bv) y dilución del agua residual) que permitan un funcionamiento estable del reactor con una adecuada remoción de materia orgánica, buscando emplear reactores de menor tamaño y costo.

Los principales aspectos seleccionados para su estudio en el presente trabajo fueron:

- a) Determinar condiciones de operación estable para los reactores tipo UASB.
- b) Estudiar el efecto de la remoción de  ${\rm H_2S}$  y  ${\rm CO_2}$  sobre la digestión anaerobia, más específicamente la desorción de  ${\rm CO_2}$  y  ${\rm H_2S}$  en el interior de un reactor UASB empleando  ${\rm CH_4}$  como gas de arrastre.
- c) Empleo de un método de absorción de  ${\rm CO_2}$  y  ${\rm H_2S}$  para purificar  ${\rm CH_4}$  a partir del gas generado y verificar su eficiencia.

La desorción de  ${\rm H_2S}$  y  ${\rm CO_2}$  en el interior del reactor anaerobio debe mejorar las condiciones para la digestión anaerobia, al disminuir las concentraciones excesivas de  ${\rm H_2S}$  y la inhibición debida a éste, así como al aumentar el pH por la desorción de  ${\rm CO_2}$ . Es fundamental cuantificar el efecto de la disminución en la

concentración de estos compuestos, ya que ello puedo justificar el uso de dispositivos que los eliminen en reactores a escala planta piloto o incluso industrial. Es necesario considerar la evaluación de otros parámetros como concentración de potasio o de micronutrientes en el medio anaerobio, aspectos que exceden los límites de esta tesis. Al respecto se han realizado algunas acciones [37].

Concretamente, en esta tesis se propone eliminar  $\mathrm{H_2S}$  y  $\mathrm{CO}_2$  en forma simultánea por desorción en el interior del reactor mediante la recirculación de parte del gas, previamente lavado, producido por el reactor anaerobio.

El gas lavado se obtiene haciendo pasar el gas producido a través de un absorbedor que emplea una solución concentrada de NaOH. De obtener resultado favorables se podrán efectuar estudios posteriores sobre el efecto de la eliminación de cada uno de ellos. Así mismo, se podrá seleccionar el proceso de eliminación más conveniente para uno o ambos, ya que el práctico y confiable uso de NaOH a nivel laboratorio es poco adecuado a escala industrial e incluso planta piloto. Lo anterior se debe al alto costo de operación que provoca el empleo de dicho reactivo (no regenerable), que además conlleva otros problemas como el manejo de los precipitados formados y de la solución absorbente desechada (ver puntos 4.3.2 y 4.3.3). En esta eventual etapa se podría investigar el empleo de los procesos de purificación para gas sugeridos en el punto 4.3.4.

Con objeto de comprobar la hipótesis inicial se planeó emplear dos reactores UASB idénticos (UASB1, reactor testigo y UASB2, reactor

de prueba) bajo las mismas condiciones de operación (O, Bv, dilución). En ambos, el gas que se produce es recirculado, sólo que en uno de ellos (UASB2) ha pasado primero por un absorbedor de CO<sub>2</sub> y H<sub>2</sub>S por lo que el gas termina siendo casi unicamente metano. Esto permite comparar el desempeño de dichos reactores donde uno de ellos debe mantener una menor concentración de sulfuros y un mayor pH.

## 6.2. Descripción de los procesos empleados.

Como se mencionó, se operaron dos arreglos de procesos, ambos basados en un reactor tipo UASB con recirculación de gas. La diferencia fue que uno (UASB2) incluía una etapa de remoción de  ${\rm H_2S}$  y  ${\rm Co_2}$  en la línea de recirculación de gas y el otro (UASB1) no.

El esquema básico consiste en un reactor UASB alimentado por una bomba peristáltica cuya succión se conecta con una manguera sumergida en un recipiente graduado que contiene la vinaza (pura o diluída) a alimentar (influente), mezclada homogéneamente por la acción de un agitador maquético. El agua residual es depurada en su paso a través del reactor y se colecta en un frasco de vidrio, después de derramar por el borde del separador de fases montado en la parte superior del reactor. El gas producido es conducido a un medidor de volúmenes de gas. El conjunto se encuentra en un cuarto mantenido a 35<sup>±</sup>2°C.

El gas producido, después de pasar por una trampa de condensados es conducido a un divisor de corriente ("Y"), del cual una de sus ramas conecta con el medidor de gas y la otra con una bomba peristáltica que, en el caso del UASB2, introduce el gas producido en un frasco de absorción Fisher-Milligan que contiene una solución de NaOH. El gas tratado (con menor concentración en CO<sub>2</sub> y H<sub>2</sub>S) es inyectado en la parte inferior del reactor para ser colectado nuevamente en su parte superior (después de haber provocado la desorción de CO<sub>2</sub> y H<sub>2</sub>S) cumpliendo un circuito. El UASB1 cuenta con la misma línea de recirculación, pero sin contar con frasco absorbedor. El aumento de presión en este circuito provoca una descarga periódica de volúmenes de gas a través del medidor que los cuantifica; la presión se mantiene así en un intervalo definido. La figura 6.1 muestra el arreglo del UASB1 y la figura 6.2 el del UASB2.

# 6.3. Descripción del equipo de proceso empleado.

Los reactores UASB1 y UASB2 están construidos con un tubo de vidrio de 8 cm de diámetro interno, 45 cm de altura que da un volumen útil de 2.3 L. El extremo superior es cerrado por un tapón de hule que presenta dos horadaciones, una para conducir el gas producido y la otra para el tallo del embudo que forma el arreglo separador El dispositivo permite separar las fases sólida (lodo arrastrado), líquida (agua tratada) y gaseosa (gas producido) para mantener al lodo anaerobio dentro del reactor (Fig. 6.3). Los

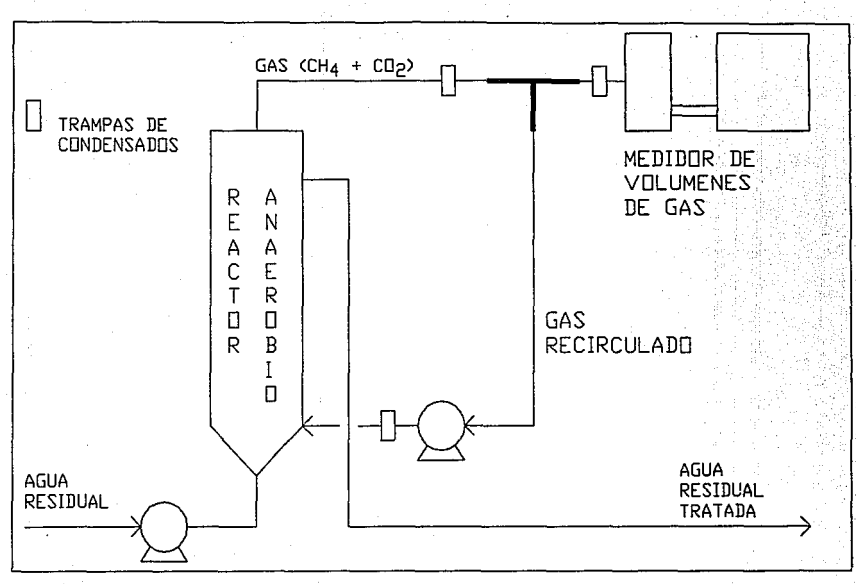


FIGURA 6.1 PROCESO CON UN REACTOR TIPO UASB SIN ELIMINACION DE H<sub>2</sub>S-CO<sub>2</sub> (UASB1)

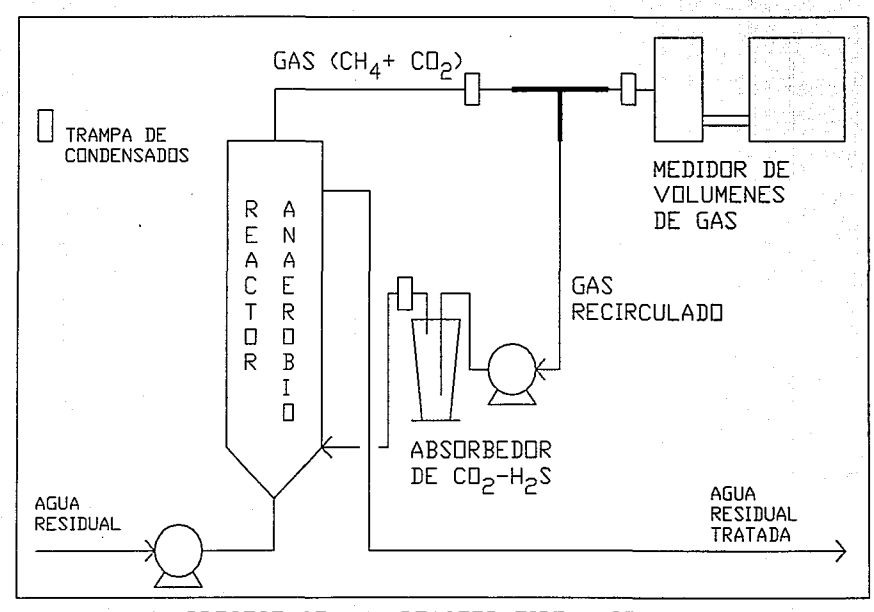


FIGURA 6.2 PROCESO CON UN REACTOR TIPO UASB CON ELIMINACION DE H2S-CO2 (UASB 2)

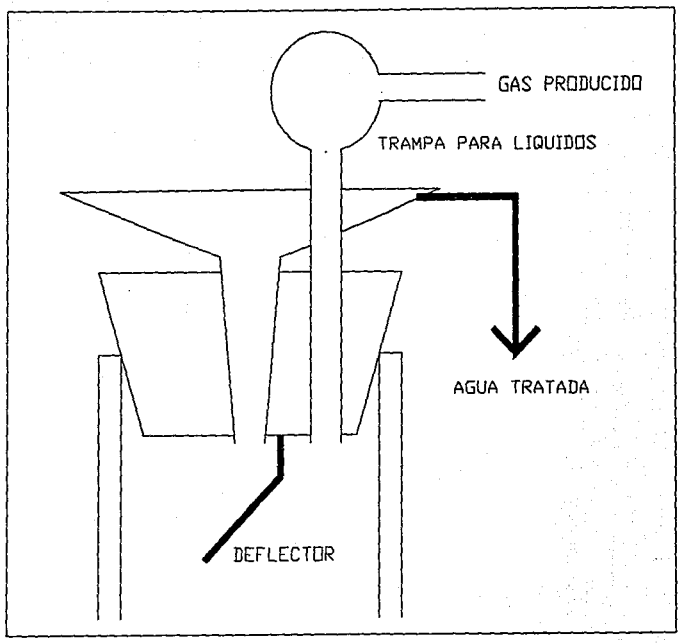


FIGURA 6.3 SEPARADOR DE FASES DE LOS REACTORES TIPO UASB.

reactores contenían en un inicio lodo anaerobio inoculado en la fase de investigación precedente [32], por lo que no se requirió volverlos a inocular. Las características de los lodos utilizados como inóculo se muestra en las siguientes tablas (6.1 y 6.2):

Tabla 6.1 Características fisicoquímicas del inóculo [32].

	UASB2	UASB1
SST mg/L	15426	17180
SSF mg/L	6703	8380
'SSV mg/L	8724	8800
рН	7.58	n.det.
alcalinidad mg CaCO <sub>3</sub> /L	1555	1572
IVL ml/L	76	n.det.
Vsed. m/h	2.5	n.det.

IVL= Indice volumétrico de lodos, Vsed= velocidad de sedimentación

El frasco de absorción Fisher-Milligan, empleado en el arreglo del reactor UASB2, es un frasco de vidrio con 250ml de capacidad cerrado con una tapa de plástico sujeta por una rosca metálica. La tapa tiene dos conductos, uno para el gas de salida y otro para el de entrada. Este es llevado a través de un tubo de vidrio hasta la parte inferior del frasco, donde burbujea en la solución contenida en el frasco. Las burbujas son atrapadas en una espiral de vidrio<sup>2</sup> que deben seguir para llegar a la superficie. El gas puede salir del absorbedor a través del conducto respectivo en la tapa.

<sup>&</sup>lt;sup>2</sup>La espiral de vidrio aumenta el tiempo que se mantiene en contacto cada burbuja de gas con la solución aumentando la transferencia de masa.

Tabla 6.2 Numeración bacteriológica del lodo anaerobio [32].

Bacterias	Lodo de inóculo.	Lodo purgado después de 110 días de operación.
Acetoclásticas	1.7 E7	2.2 E10
Hidrogenofilicas	5.4 E5	7.5 E11
Fermentativas	4.0 E6	4.9 E10
Cons. de propionato	5.2 E6	4.9 E10
Cons. de butirato	1.7 E6	4.9 E10
Sulfatorreductoras		5.7 E10

Nota: Cons. significa consumidoras

La solución para absorber CO<sub>2</sub> y H<sub>2</sub>S consistía en 250mL de NaOH 6N con 5 gotas de fenoftaleína como indicador de pH. Esta solución con pH 14 es incolora aunque se torna rápidamente roja al descender un poco el pH; este vire no se encontró reportado. Otro vire lo presenta en el intervalo de pH 9.8-8.0 (Ayres [2]) pasando nuevamente a incolora la solución.

El segundo vire del indicador fue empleado para conocer el estado de la solución (agotamiento de NaOH). Las reacciones de absorción son:

$$CO_2$$
 + NaOH ----> NaHCO<sub>3</sub>  
H<sub>2</sub>S + 2NaOH ----> Na<sub>2</sub>S + 2H<sub>2</sub>O

La concentración inicial de NaOH es 6 moles/L y la final aproximadamente 6.31 E-5 moles/L (esta concentración se encontró calculando la cantidad de NaOH en solución que corresponde a un pH de 9.8, considerando que la sosa se disocia completamente), por lo que practicamente todo el reactivo se ha empleado. Con esta

concentración de NaOH en teoría se pueden absorber 1.5 moles de  ${\rm CO_2}$  o 0.75 moles de  ${\rm H_2S}$ , lo que equivale aproximadamente a 51 y 25.5 L respectivamente de cada compuesto (T=35 $^{\rm O}$ C, P=560mmHg).

El cambio de la solución absorbente se realizaba en el momento en que comenzaba a notarse en ella la apariencion de color, ya que la cantidad de equivalentes de OH que corresponden al intervalo de pH del vire es muy reducido. A un pH de 9.8 la concentración de OH es 6.3095E-5 M, mientras que a pH 8.0 es de 1.0E-6 M, por lo que la cantidad de equivalentes de OH contenida en 250 mL de disolución es de 1.552E-5 moles, con el que en teoría sólo se puede absorber un máximo de 1.552E-5 moles de  ${\rm CO_2}$  o 7.76E-6 moles de  ${\rm H_2S}$ , lo que apenas corresponde a 0.532 mL de  ${\rm CO_2}$  o a 0.266 mL de  ${\rm H_2S}$  (T=15 $^{\rm O}$ C, P=560 mmHg). La mayor absorción de estos gases se lleva acabo a altos pH.

El medidor de volúmenes de gas se basó en el propuesto por Molleta y Albagnac [33]. Este medidor de gas fue realizado por la coordinación de instrumentación del Instituto de Ingeniería. Consta de dos frascos, unidos por un tubo que los comunica cerca de sus bases, parcialmente llenos con agua o alguna otra solución líquida conductora de electricidad. Uno de ellos se conecta con la fuente productora de gas (se mantiene sin comunicación con la atmósfera), el otro está abierto a la atmósfera. Este último tiene tres electrodos en su interior. La corriente de gas a medir llena paulatinamente el primer frasco desplazando líquido, por lo que el nivel de éste asciende en el frasco abierto a la atmósfera hasta alcanzar el electrodo superior; en dicho instante una válvula solenoide colocada entre la fuente de gas y el frasco permite que

el gas acumulado en él sea liberado a la atmósfera, en forma simultánea cierra el paso del gas proveniente de la fuente. Esto continúa hasta que el nivel del líquido en el frasco abierto a la atmósfera deja al descubierto el electrodo intermedio; en ese instante la válvula regresa a su posición original: se cierra a la atmósfera y permite la entrada de la corriente de gas al frasco cerrado a la atmósfera. Con esto se cumple un ciclo, que es registrado por un contador cada vez que el nivel de líquido alcanza el electrodo superior. El electrodo inferior permance siempre sumergido en la solución. El volumen de cada ciclo es conocido, por lo que la producción de gas se obtiene al multiplicar ese valor por el número de ciclos registrados al tiempo deseado.

Para la alimentación de la vinaza y la recirculación del gas se emplearon bombas Masterflex con cabezales número 14 (vinaza) y número 16 (gas). Estas bombas tienen un control que permite regular su velocidad, con lo que se logra establecer el gasto deseado.

Para evitar el arrastre de lodos anaerobios y el taponamiento por la acumulación de agua condensada en las mangueras de conducción de gas, se emplearon trampas para líquidos ubicadas en puntos estratégicos. En la parte superior de los reactores UASB se colocaron trampas tipo bola y antes de los medidores de gas, tubos con tapón rosca.

# 6.4 Parámetros y técnicas analíticas.

Los parámetros empleados para poder analizar el funcionamiento de

los reactores estudiados son los siguientes:

pH, alcalinidad, demanda química de oxígeno total (DQO<sub>t</sub>), demanda química de oxígeno soluble (DQO<sub>s</sub>), sólidos totales totales (STT), sólidos totales fijos (STF), sólidos totales volátiles (STV), sólidos suspendidos totales (SST), sólidos suspendidos fijos (SSF), sólidos suspendidos volátiles (SSV), sulfatos y sulfuros, tanto de la alimentación como del efluente líquido de los reactores. Estas pruebas se realizaron por duplicado de acuerdo a los Métodos estándar [1]; las técnicas se muestran en el apéndice 1 y los resultados completos se muestran en el apéndice 2.

También se determinó el volumen de gas producido a condiciones normales, la concentración de metano y de CO<sub>2</sub> en el gas producido. La determinación de concentraciones se realizó, emplendo cromatografía de gases (con la técnica mostrada en el apéndice 1), por duplicado.

# 6.5 Condiciones de operación.

Con objeto de cumplir los objetivos de investigación establecidos en el punto 6.1, se operaron los reactores por un período de 283 días bajo las condiciones que se especifican en las tablas 6.3 y 6.4.

Durante la investigación se emplearon dos diferentes tipos de vinaza: En la primera etapa de investigación, que comprende del día 1 al día 104, se utilizó vinaza originada por la fermentación de melaza (Tabla 6.5), mientras que en la segunda etapa se trabajó con vinaza proveniente de la fermentación de un lote de azúcar contaminado (Tabla 6.6).

Tabla 6.3 Condiciones de operación del reactor testigo UASB1
PARAMETRO

VINAZA	DE MELAZA	4					
PERIOR	00 Dias	Q	Θ	Bv	%Vinaza	CTRLpH	
1T1	1- 38	0.450	5.11	3.99	21.7	sı	
11	39-104	0.716	3.21	6.34	21.7	NO	
VINAZA	DE AZUÇAI	₹					
PERIOD	O Dias	Q	е	Bv	%Vinaza	CTRLpH	
1T2	105-115	0.795	2.90	7.04	66.5	NO	
<b>1</b> T3	116~156	0.746	3.08	6.61	66.5	SI	
111	157-180	0.793	2.90	7.02	66.5	МО	
1T4	181-198	1.126	2.04	10.07	66.5	SI	
1T5	199-222	0.621	3.70	5.55	66.5	SI	
1T6	223-252	0.720	3.20	9.68	100.0	SI	
1 <b>TV</b>	253-283	0.729	3.16	9.76	100.0	NO	
				3	_		

Nota: Q = L/d;  $\theta = d$ ;  $Bv = kg DQO/m^3 d$ 

%Vinaza = % (vol./vol.) de vinaza en la corriente de alimentación. CRTLpH = control de pH en la alimentación; adición de NaHCO,

T en la nomenclatura de los períodos indica transición.

Tabla 6.4 Condiciones de operación del reactor UASB2
PARAMETRO

VINAZA DE MELAZA	4				•	
PERIODO Días	Q	9	Bv	%Vinaza	CTRLpH	
2Ia <sup>*</sup> 1- 33	0.693	3.32	5.54	21.7	NO	
2T1 34- 62	0.728	3.20	6.45	21.7	NO	
2Ib 63-104	0.640	3.59	5.67	21.7	NO	
VINAZA DE AZUCAI	₹					
PERIODO Días	Q	Θ	Bv	<b>%Vinaza</b>	CTRLpH	
211 105-180	0.698	3.30	6.18	66.5	NO	
2III 181-196	1.313	1.75	11.74	66.5	NO	
2T2 197-222	0.674	3.41	6.03	66.5	SI	
2T3 223-250	0.687	3.35	9.24	100.0	sı	
2IV 251-267	0.676	3.40	9.09	100.0	NO	
Nota: Q = L/d; 6	= d; Bv	r = kg	DQO/m <sup>3</sup>	d		
%Vinaza = % (vol	l./vol.)	de vin	aza en	la corrien	te de alimentación.	
CRTLpH = control	l de pH e	en la a	limenta	ción; adic	ión de NaHCO <sub>3</sub>	
T en la nomencla	tura de	los pe	ríodos	indica tra	nsición.	

Tabla 6.5 Caracterización de la vinaza originada por la fermentación de melaza (días 1 a 104).

	DQOt	DQOs	STT	STF	STV	SST	SSF	ssv
x	100469	93855	117225	35623	81603	3565	1004	2561
s	14459	11029	8015	13227	7300	418	138	285
#	27	25	3	3	3	3	3	3

	pН	so4-	s <sup>2-</sup>	Na <sup>+</sup>	ĸ+	Li <sup>+</sup>
x	4.23	5762	1191	137	8122	38
S	0.06	296	126	140	4220	37
#	10	9	14	3	3	3

 $\overline{\mathbf{X}}$ : promedio, S: desviación estándar.  $\mathbf{\emph{f}}$ : número de muestras.

Todos los valores en mg/L, excepto pH, adimensional.

\* Sin absorción de CO, y H,S.

Nota: Esta tabla es producto de los resultados obtenidos en esta tesis complementados por los obtenidos en la fase experimental previa, en especial las concentraciones de Na<sup>+</sup> K<sup>+</sup> y Li<sup>+</sup> [32].

Tabla 6.6 Caracterización de la vinaza originada por la fermenta-

	CIOII	uc rocc	40 404			- (		
	Doot	DQOs	STT	STF	STV	SST	SSF	ssv
x	33513	30918	26092	6481	19305	4709	746	3963
s	3944	4718	2812	1999	2334	1272	279	1093
#	33	30	17	17	17	17	17	17
	На	so <sup>2</sup>	- s²	2- Na	+ к	+		
x	3.43	369	3 1.3	31 179	5 228	ο.		
s	0.05	35	1 5	50	-	_		

# 15 6 14 3 3  $\bar{\chi}$ : promedio, S: desviación estándar, #: número de muestras. Todos los valores en mg/L, excepto pH, adimensional. Nota: Las determinaciones de las concentraciones de Na $^+$  y K $^+$ 

fueron realizadas por Ilangovan y colaboradores [37].

Buscando alcanzar los objetivos propuestos, se estableció una estrategia para la modificación de las condiciones de operación:

- a) Operar en período estable los reactores a las mismas condiciones y de acuerdo al diagrama del proceso testigo (UASB1, Fig. 6.1).
- b) Montar el proceso a estudiar en el reactor UASB2 (Fig. 6.2) manteniendo el reactor UASB1 como testigo operando ambos en condiciones estables.
- c) Aumentar la carga (Bv) de operación de los reactores en la misma magnitud y en forma simultánea mediante la redución del tiempo de retención, buscando encontrar las condiciones límite de operación estable y las de fallo.
- d) Aumentar la carga mediante el incremento de la concentración de alimentación buscando encontrar las condiciones límite de

operación estable y de fallo.

Siguiendo esta estrategia se obtuvieron los períodos de operación mostrados en las tablas 6.3 y 6.4. Un período de operación se considera estable con base en los parámetros pH, gasto de alimentación, concentración de la alimentación, y en el porcentaje de la remoción de DQOs, debiendo éstos ser lo suficientemente constantes de acuerdo a la desviación estándar mostrada y al coeficiente de variación. Los períodos de transición se presentan después de un cambio en las condiciones de operación hasta que se alcanza un estado estable.

### 7 PESHITADOS V DISCUSION

7.1 Descripción de los períodos de operación.

En las tablas 7.1 y 7.2 se presentan el promedio  $(\overline{X})$ , desviación estandar (STD), número de muestras y el coeficiente de variación (CF%) obtenidos para todos los parámetros analizados en los efluentes durante la investigación; los datos del influente ya fueron reportados en las tablas 6.5 y 6.6. En el apéndice 2 se muestran los resultados completos. Los períodos de estabilización se presentan en el tránsito de un preríodo estable a otro. En las tablas 7.3 y 7.4 se muestran los resultados de porcentajes de remoción y de producción de gas para cada período de operación.

7.2 Eficiencia en la remoción de materia orgánica.

Empleo de la vinaza de melaza.

Los períodos 1I y 2Ia cumplen con el inciso (a) de la estrategia y en ellos se obtuvo eficiencias en la remoción de DQOs de 56.4% (UASB1) contra 51.8% (UASB2), lo que apoya la suposición de considerar a los dos reactores equivalentes, permitiendo efectuar comparaciones entre ambos.

Los períodos 1I y 2Ia se pueden comparar con el período 2Ib para cumplir con el inciso b), con eficiencias de 56.4 k y 51.8 k (UASB1) contra 74.6 k (UASB2); esto entre 18.2 y 22.8 puntos porcentuales mayor para el proceso que cuenta con absorción de  $\text{CO}_2$  y  $\text{H}_2\text{S}$  en el gas recirculado. Esto demuestra que el proceso con desorción de  $\text{CO}_2$ - $\text{H}_2\text{S}$  en el reactor proporciona condiciones más adecuadas a la digestión anaerobia. La diferencia de pH que se presenta es, de

acuerdo a Koster [25], una de las principales razones que permiten esa mejora.

Como fue presentado anteriormente, la concentración de  $\rm H_2S$  es una función del pH. Para el reactor UASB1, la concentración de sulfuros es:  $\rm S^{-2}II = 235.6~mg/L$ , lo que a un pH de 6.7 debido al equilibrio de las especies de  $\rm S^{-2}$  representa un 67% de  $\rm S^{-2}$  como  $\rm H_2S$ : 156.9 mg/L.

Para el reactor UASB2, en el período 2Ia (sin eliminación de  ${\rm CO_2-H_2S})$   ${\rm S^{-2}}=$  325.5 mg/L, pH = 6.59; por tanto  ${\rm ^8H_2S}=$  72.0 y en consecuencia la concentración de  ${\rm ^{1}_{2}S}$  es 243.3 mg/L.

Al eliminar  $CO_2$  y  $H_2S$  del gas recirculado al reactor, la concentración de sulfuros es  $S^{-2}$ lb = 239.9 mg/L a un pH de 7.31,  $H_2S$  = 32.9, con lo cual  $H_2S$  = 78.9 mg/L.

Se observa que la concentración de  ${\rm H_2S}$  es considerablemente mayor cuando no se eliminan  ${\rm CO_2}$  y  ${\rm H_2S}$  en el gas de recirculación que cuando si se hace, a pesar de que la concentración de sulfuros totales sea mayor en el reactor UASB2.

La concentración de  ${\rm H_2S}$  reportada como inhibitoria por Hilton [22], es de 200 mg/L. Esto explica una mayor inhibición en el proceso que no elimina  ${\rm CO_2-H_2S.}$ 

Comparando los resultados del período I con los presentados por Koster, se tiene que en su primer período reportado (pH = 6.4 - 6.6), encontró una concentración de 246 mg/L de  $\rm H_2S$  como responsable de una inhibición de 50% en la digestión anaerobia.

PERIO	<b>0</b> 0	9	рΗ	ALC	BASn	CHA	C02	DQOt	DQOs	STT	STF	STV	SST	SSF	SSV	504	5-2		mL/01/ ng CaCO3	
1T	X STD	450.4 275.9	0.811	1264	604.5	0.116	0.116	3872	4273							55.94	118.9	GASn: CH4: #	aL/DIA oles C	H4/a
	CFX	37 61.26		21 35.66					11 34,34				0	0		30.09		DQQt:	noles CC mg DQCi mg DQCs	t/L
11		716.2 186.5 61		605.8		0.094	0.094	3436	2335	6.405	3.839	3.847		0.065	0.416		186.6	STT: .	g/L g/L	
	_	26.04					37.26	31.21	26.28	40.79	49.54	50.07	16.29	8.397			79.19	SST: #	g/L g/L	
172	STD	74.51 11	9.072	237.6 6	348.5 2	0.062 6	0.062 6	1259 3	1189	1.199	0.543 3	0,666 3	0.47 3	0.135 3	0.349 3	90.99 3	35,92 3	5-2: 6	19/L 19 504/l 195-2/L	
113	_	9.378 746.3																		
	STD	127.8 39 17.12	0.B81 32	997.1 21	844.7 31	0.065 15	0.065 15	34178 13	4445 13	2.115 11	1.282 10	2.123 10	1.456	0.372 10	1.12	204.6 9	122.1			
111		793 111.2 22	0.251		398.5	0.079	0.079	29168 11265 5	3979	10.93	2.849	8.123		2,675	8.746	71.89				
		14.02																		
174	•	262.5	0.446 15	1057 11	1086	0.097 13	0.097 13	6	11311 6	1.793 5	0.639 5	2.205 5	3.865 5	1.067	2.809 5	47.41 3	15.48 5			
175	STD	620.9 124.4 23	0.649 23	9.66.8 13	521,2 21	0.082 9	0.082 9	4379 4	2130 4	1	1	1	1	1	1		282.3 132.8 3			
176	Ī	719.9	6.887	3175	2813	0.587	0.413	21865	10372	80.4	60.76	19.64	23.36	5.705	17.65	635.9	47.03			
	6 CFX	165.6 30 23	28	17	15	8	8	10 40.26	10	2	2	2	2	2	2	2	7			
117	STD	728.8 118.4 28 16.24	0.544 30	869.8 15	1267 24	0.141 16	0.141 16	10281	3894 10	4.032 3	2.367 3	1.694 3	0.475 2	0.12 2	0.29 3	8,232 2	215.6 7			

## REACTOR UASB2 prueba TABLA 7.2 UASB2 prueba

PERTODO		Q	рН	ALC	6ASn	CH4	CO2	DQOt	DQ0s	STT	STF	STV	SST	SSF	SSV	504	S-2	
21a	STD	156.8	6.5B8 0.194 21	127.5	661.2	0.084	0.084	2015	1143	10.98				0	0	0	325.6 153.1 5	Q: mL/DIA ALC: mg CaCO3/L GASn:mL/DIA
	CFX		2.944								-	0						CH4: aoles CH4/a CO2: aoles CO2/a
211		141.8	0.236	241.5	1064	0.054	0.054	1085	1143	19.99	3.916	0,339					169.5	DQOsteg DQOs/L
	CFX		12 3.375						10 13.67	3 20.37							11 83.52	STT: mg/L STF: mg/L STV: mg/L
21b		197.4	0.243	525		0.042	0.042	2295	2455	1.884	0.547	2.37	0.349	0.098	0,257	349.3	239.9 181.5 20	
	CFX	31.31	3.327	20	18,09	4,425	97.43	33.24	47.42	16.23	9.951	39.85	15.78	14.79	16,59	45.51	75.64	SO4: mg SO4/L S-2: mgS-2/L
211		130.5	0.22	407.3	91B.B	0.069	0.069	6077	2145	14.65 9.496 19	5.51	6.997	0.031		6.926	201	358.9	
	_		3.012	15.31	27.88	7,296	119.3	68.81	50.66	64.83	78.7	82.72	116	105.6	117	74.42	121	
	STD	7,805 16	0.13 13	774.1 10	1469 16	0.07B 12	0.07B 12	11516 5	2383 6	24.86 7.398 5 29.75	2.792 5	6.074 5	B.59 5	2.982 5	5.653 5	129.B 4	69.9 10	
212			1.045	1116	1144		0.223	4072		11.93	6.1 1		2.57	0.7		24.7	309.4 247 7	
	CFX	23.06	16.52	35.15	92,78	28.9	97.93	25.54	27,12	0	0	0	0	0	0	12.77	79.85	
	STD #	167.3 29	0,43 26	455.6 16	635,6 28	0.038	0.038 3	7992 B	1452 10	28.5 1.57 2 5.509	0.54	2.11	4.88	0.54	4.34	41.16	220.9	

Tabla 7.3 Resultados reactor UASB1, testigo.

VI	NAZA DE MELJ	AZA				
PERIO	DO Dias	*DQO	GasN	CH <sub>4</sub>	co2	CH4/DQOr
1T1	1~ 38	38.9	0.345	0.811	0.189	.180
11	39-104	56.4	0.810	0.747	0.253	.169
VINAZ	A DE AZUCAR			•		
PERIO	DO Días	%DQO	GasN	CH <sub>4</sub>	co2	CH4/DQOr
1T2	105-115	56.7	1.032	0.798	0.202	.206
1.T3	116-156	39.8	0.664	0.817	0.183	.206
111	157-180	65.9	0.920	0.663	0.337	.132
1T4	181-198	20.4	0.333	0.493	0.507	.072
1T5	199-222	33.7	0.404	0.668	0.332	.144
1T6	223-252	66.5	1.036	0.587	0.413	.095
1IV	253-283	56.2	1.149	0.585	0.415	.123

%DQO = % de remoción de DQOs

GasN = Volumen de gas producido 273.15K, 1 atm

 $CH_4/DQOr = m^3$  de  $CH_4$  a TPN producido por kg de DQO removida.

Tabla 7.4 Resultados reactor UASB2

VINAZA DE MELAZA					
PERIODO Días	%DQ0	GasN	CH <sub>4</sub>	co,	CH_/DQOr
2Ia <sup>*</sup> 1- 33	51.8	2.382	0.724	0.274	.600
2T1 34- 62	59.0	3.137	0.939	0.060	.774
2Ib 63-104	74.6	2.504	0.956	0.043	.566
VINAZA DE AZUCAR					
PERIODO Días	%DQ0	GasN	CH <sub>A</sub>	co,	CH4/DQOr
2II 105-180	79.2	3.296	0.942	0.057	.638
2III 181-196	78.4	6.703	0.908	0.091	.661
2T2 197-222	35.0	1.233	0.772	0.227	.45
2T3 223-250	66.8	3.597	0.933	0.066	.544
2IV 251-267	75.2	4.511	0.899	0.100	.593
%DOO = % de remoc	16n de DO	Os			

\*DOO - \* de tempotion de DOOR

GasN = Volumen de gas producido 273.15K, 1 atm

\* Sin absorción de CO2-H2S.

 $CH_4/DQOr = m^3$  de  $CH_4$  a TPN producido por kg de DQO removida.

En esta etapa se agotó la provisión de vinaza de melaza, por lo que no se pudo avanzar más en el estudio teniendo que emplear en los siquientes períodos vinaza de azúcar.

Empleo de vinaza de azúcar.

Al emplear vinaza de azúcar, más diluida que la vinaza de melaza, fue necesario aumentar la concentración de la alimentación al 66.5% para mantener la misma carga que en los períodos de operación precedentes.

Los períodos III y 2II cumplen con el inciso b); ahora para la vinaza de azúcar con eficiencias de 65.9% (UASB1)y 79.2% (UASB2) siendo 13.3

puntos porcentuales mayor para el proceso en estudio.

En estos períodos, para el reactor UASB1,  $S^{-2} = 210.4 \text{ mg/L}$ , pH = 6.79,  ${^{1}}{^{1}}{^{1}}{^{2}}{^{2}}{^{2}} = 61.9 \text{ por lo tanto } {^{1}}{^{2}}{^{2}}{^{2}} = 130.0 \text{ mg/L}$ . En el reactor UASB2 tenemos  $S^{-2} = 296.5 \text{ mg/L}$ , pH = 7.29,  ${^{1}}{^{2}}{^{$ 

Siguiendo la estrategia del inciso c) se disminuyó el tiempo de retención a 2.04 y 1.75 para los reactores 1 y 2 respectivamente, que corresponden a los períodos 1T4 y 2III con eficiencias de 20.4% y 78.4%. Como se puede observar en las figuras 7.1 y 7.2 (pH, DQO, gas) se llegó a las condiciones de falla del reactor

testigo mientras que el reactor UASB2 no se vió afectado.

Para los períodos 1T4 y 2III, para el reactor UASB1 tenemos:  $S^{-2}$  = 165.4 mg/L, pH = 5.58,  ${^{1}}{^{1}$ 

Es apreciable que la concentración de H<sub>2</sub>S se ha incrementado, con la disminución en el tiempo de retención mantenido a una concentración constante de vinaza en ambos reactores (aunque en el reactor UASB1 alcanza 159.3 mg/L) llegando a la condición de fallo. En el reactor UASB2, dada la ligera disminución en el pH, la fracción de H<sub>2</sub>S se ha incrementado, aunque aparentemete sin llegar a la condición de fallo. Es posible por lo tanto alcanzar 121.25 mg/L de H<sub>2</sub>S sin que se produzca una marcada inhibición al emplear vinaza al 66% en las condiciones del reactor UASB2, debido en parte a la remoción de CO.<sub>2</sub>en el gas recirculado, que evita una mayor disminución en el pH.

Buscado encontrar las condiciones de fallo para el reactor UASB2 se volvió a incrementar la carga; ahora a 15.2 kg DQO / m³ día, O = 1.35 días, como se aprecia en el período 2T2 (figura 7.2 ). El reactor falla casi de inmediato, por lo que se procedió a estabilizar el pH. El comportamiento descrito en este párrafo se considera como el período 2T2.

Prosiguiendo con la estrategia, respecto al inciso (d), se empleó vinaza al 100%, teniendo en los períodos 1IV y 2IV eficiencias de 56.2% (UASB1) y 75.2% (UASB2) mayor en 19.0 puntos porcentuales para el proceso con absorción de CO<sub>2</sub> y H<sub>2</sub>S en el gas recirculado.

En los períodos IV, en el reactor UASB1,  $s^{-2} = 337.8 \text{ mg/L}$ , pH = 6.48,  $\$H_2S = 76.8$  por lo tanto,  $H_2S = 259.4 \text{ mg/L}$ , mientras en el reactor UASB2 :  $s^{-2} = 412.4 \text{ mg/L}$ , pH = 7.29,  $\$H_2S = 33.9$  por lo tanto  $H_2S = 87.94 \text{ mg/L}$ . La gran diferencia en las concentraciones de  $H_2S$  explican en gran parte la disparidad en los valores obtenidos para las eficiencias de remoción entre el reactor UASB1 y el UASB2.

La concentración en el rector UASB1 parece ser suficiente para causar inhibición de la digestión anaerobia, según lo reporta Hilton [22], 200 mg/L. Koster [25] muestra una inhibición de 50% al tener 246 mg/L de H<sub>2</sub>S en un intervalo de pH entre 6.4 y 6.6; la eficiencia obtenida para el reactor UASB1 (56% de remoción de la DQOS) se parece a la reportada por el autor.

El reactor UASB2 mantuvo una baja concentración de H<sub>2</sub>S (87.94 mg/L) lo que explica su alta eficiencia de remoción (75.2%) y muestra que se mantiene alejado de una posible inhibición por H<sub>2</sub>S. Se puede observar que el aumento en la concentración de H<sub>2</sub>S se incrementó menos con el aumento en la concentración de vinaza que con la reducción en el tiempo de retención, manteniendo constante la concentracion de vinaza diluida, aunque las cargas (Bv) alcanzadas no fueron las mismas, siendo mayor en el caso de la reducción en el tiempo de retención, como se aprecia en la tabla 7.5.

Comparando el desempeño de los reactores a una misma carga, empleando vinaza de melaza y con vinaza de azúcar, se puede observar en los períodos 1I y 1II del reactor testigo que la eficiencia aumenta de 56.4% a 65.9% con el cambio de vinaza,

mientras que con el proceso en estudio en los períodos 2Ib y 2II se tiene 74.6% y 79.2%, siendo mayor la variación para el reactor testigo que para el proceso estudiado: 9.5 contra 4.6 puntos porcentuales.

Para la variación de la carga, por disminución del tiempo de retención, se tienen como base de comparación los períodos 1II (7.02 kgDQO/m³ día) y 2II (6.18 kgDQO/m³ día) con 65.9% y 79.2% de eficiencia. Para el reactor testigo no existe período 1III ya que no se adaptó, mientras con el proceso estudiado se tiene en el período 2III (11.74 kgDQO/m³ día) 78.4% de eficiencia.

Respecto a la variación de la carga por aumento de la concentración en la alimentación, se tiene como base de comparación los períodos 1II y 2II con 65.9% y 79.2% de eficiencia contra los períodos 1IV (9.76 kgDQO/m³ día) y 2IV (9.09 kgDQO/m³ día) con 56.2% y 75.2% de eficiencia, siendo la reducción mayor para el reactor testigo: 9.7 contra 4.0 puntos porcentuales.

# 7.3 pH y Alcalinidad.

Vinaza de melaza.

En los períodos 1I y 2Ia se obtuvo un promedio en el pH de 6.70 y 6.59 unidades, siendo estos valores similares (inciso (a) de la estrategia). Comparando con el período 2Ib (inciso (b)), pH de 7.31, se encuentra que el proceso con absorción de  ${\rm CO_2}$  y  ${\rm H_2S}$  en el gas recirculado mantuvo un pH mayor en 0.61 y 0.73 unidades frente al los períodos 1I y 2Ia.

Para el reactor UASB2, se tiene que el cambio del proceso al pasar del proceso testigo al proceso prueba, manteniendo los demás parámetros constantes causo un incremento en el pH. Por lo demuestra que la eliminación de  ${\rm CO_2-H_2S}$  es un método que permite incrementar el pH en el reactor.

Vinaza de azúcar.

el proceso estudiado.

Respecto al inciso (b) se tiene en los períodos 1II y 2II pH de 6.80 y 7.30; 0.50 unidades mayor para el proceso estudiado.

El período 1T3 corresponde a la recuperación del reactor UASB1, medante el control del pH por adición de NaHCO<sub>3</sub>. En la figura 7.1 se puede apreciar el paulatino incremento en el pH a partir del inicio de este período.

Conforme al inciso (c) de la estrategia, en los períodos 1T4 y 2III se tuvo un pH de 5.58 y 7.00 con falla del reactor testigo. De acuerdo al inciso (d) de la estrategia, se obtuvo pH de 6.48 y 7.29 en los períodos 1IV y 2IV siendo mayor en 0.81 unidades para

Se observó que el aumento de la .carga, causa una disminución del pH, como se puede observar del período 1I al 1T2, al pasar de Bv = 6.34 a 7.04 el pH cambia de 6.7 a 6.3, o del período 1II al 1IV donde el aumento de carga por incremeto de la concentración al pasar de Bv = 7.02 kg DQO/m<sup>3</sup>día a 9.76 provocó un descenso de 6.876 a 6.481.

Los valores obtenidos para la alcalinidad presentan un comportamiento paralelo al observado para el pH, excepto en los períodos en que se adicionó  $NaHCO_3$  a la alimentación de los reactores para estabilizarlos por control de pH. En estos períodos, la alcalinidad fue mayor a aquellos donde no se efectuó dicha adición debido al efecto buffer del  $HCO_3^-$ . Los reultados

mostrados en las tablas 7.1 y 7.2 permiten observar estos efectos. Los resultados obtenidos para los períodos estables muestran una tendencia a presentar una mayor alcalinidad si el pH del reactor es mayor tal como se aprecia en la tabla 7.3.

Tabla 7.5		ph y alcalinio	reactores.		
PERIODO	pН	ALCALINIDAD	PERIODO	рH	ALCALINIDIAD
11	6.702	2457	2Ia	6.58	2459
			21b	7.313	2624
111	6.786	3205	211	7.295	2659
			ZIII	7.002	2986
1IV	6.481	3081	2IV	7.286	2314
	ALCA	LINIDAD: mg Cac	CO3/L		

Uno de los efectos de la desorción de  ${\rm CO}_2$  del interior del reactor puede ser la menor alcalinidad encontrada en el reator UASB2, tal vez debido a que la eliminación de  ${\rm CO}_2$  en el interior del reactor, al consumir  ${\rm H}^+$  y  ${\rm HCO}_3^-$  aumentando el pH, provoca una disminución en la concentración de esta última especie, que es responsable de gran parte de la alcalinidad por su efecto buffer.

# 7.4 Producción y composición del gas.

Los resultados mostrados en la tabla 7.2 muestran que el proceso empleado en realidad elimina  ${\rm CO}_2$  el gas producido por el reactor anaerobio, ya que se pasa de fracciones en  ${\rm CH}_4$  de 0.724 ( período 2 ${\rm Ia}$  ) a fracciones iguales o mayores a 0.899, llegando incluso a 0.956.

La producción de gas para el reactor UASB2 fue mayor que la obtenida en el reactor testigo, a pesar de que una gran proporción de CO<sub>2</sub> no se puede contabilizar directamente al ser absorbida por la solución de NaOH. Esto se explica porque el proceso probado realiza una mayor degradación de la materia orgánica gracias que las condiciones son más adecuadas para el proceso anaerobio.

El volumen del metano producido en la digestión anaerobia (0.2 a  $0.3~{\rm m}^3~{\rm CH_4}$  (TPN)/kg DQOremovido [38]) depende de la estequiometría de las reacciones que se lleven acabo.

Los valores obtenidos para el reactor UASB1 resultan 'un poco menores a este intervalo (Tabla 7.3), tal vez debido a fugas en el sistema. Respecto al reactor UASB2, los valores obtenidos son muy altos y corresponden a una conversión mayor a la estequiométrica, lo que muestra la existencia de un error, ya sea en la calibració del medidor de gas para ese reactor, en el funcionamiento del mismo o en la determinación de la DQO. Este fenómeno se presentó ya en los antecedentes de este trabajo experimental (reactor UASB1 tabla 5.4). Lo más probable es que se deba a una mala calibració del medidor, ya que al comparar los períodos 11 y 21a, que corresponde a procesos iguales, se deberían de tener valores semejantes ya que todos los parámetros de operación semejantes, así como todos los demás resultados. El factor de escala entre los resultados de los dos períodos es 3.55. Si todos los resultados para redimiento de CH, correspondientes al reator UASB2 se dividen entre este factor resultan mucho más parecidos a los del reactor UASB1. De ser cierto esto, la producción de gas reportada en la tabla 7.4 debera ser dividida entre 3.55.

# 7.5 Sulfatos y sulfuros.

En general se presenta una mayor concentración de sulfatos en el

efluente del reactor UASB2 que en el reactor testigo (tabla 7.3). Para los períodos I, 767.6 contra 402.4 mg/L; para los períodos II, 270 contra 187.6; pero como no se obtuvieron más resultados, lo único que se puede suponer es que las condiciones del reactor testigo fueron más propicias para las bacterias sulfatorreductoras que las del reactor UASB2. Esto puede deberse a que el pH que prevalece en el reactor UASB2 es más alto que el del reactor testigo, por lo que en concordancia a Hilton y sus colaboradores [22], presenta condiciones menos adecuadas a la sulfatorreducción, lo que se observa en los porcentajes de remoción que son mayores para el reactor testigo (UASB1).

Tabla 7.6 Pricipales resultados obtenidos para los sulfatos.

		REACTOR U	ASB1	REACTOR UASB2	
Período	ALIMENTACION	EFLUENTE	%REMOCION	EFLUENTE	*REMOCION
I	1750	402.4	67.8	767.6	38.6
II	2456	187.6	92.4	270.1	89.0
III	2456	n.e.	n.e.	186.2	92.4
IV	3693	90.55	97.5	n.d.	n.d.
Concentraciones en		ma/I.	nd = no	determinado	

n.e. = no existió ese período en condiciones estables.

La determinación más problemática fue la de sulfuros ( apéndice 1) y este hecho se ve reflejado en los valores obtenidos para la desviación estandar de los resultados y en el coeficiente de varianza correspondiente, por lo que la interpretación que se hace de estos puede no ser muy cercana a la realidad.

Se observa que la concentración de sulfuros en el reactor testigo es menor en todos los casos a la mantenida en el reactor UASB2. Esto en principio parecería incoherente, dado que el reactor UASB2 cuenta con un sistema de eliminación de  ${\rm H_2S}$ , mientras que el reactor UASB1 no cuenta con ese dispositivo. Sin embargo, el efecto del pH puede ser la causa, ya que al mantener el reactor UASB2 a un pH más elevado que el reactor UASB1, una menor fracción de  ${\rm S^{-2}}$  se encuentra como  ${\rm H_2S}$ , causando una menor desorción de este compuesto ( sólo se puede desorber  ${\rm H_2S}$  y no  ${\rm HS^-}$  o  ${\rm S^-}$  ), debido a que el pH al que operan los se encuentra en la vecindad del valor de la constante de equilibrio del  ${\rm H_2S}$  (pK=6.87), tal y como se muestra en la figura 3.8. Una variación de pH de 6.5 a 7.2 puede reducir en un 50% la fracción de  ${\rm S^{-2}}$  en forma de  ${\rm H_2S}$ , lo que permite que la concentración de  ${\rm S^{-2}}$  sea mayor para este reactor. Esto implica que la parcial de  ${\rm H_2S}$  en el reactor UASB1 no será tan significativa en la concentración del  ${\rm H_2S}$  disuelto.

En la tabla 7.7 se presenta un resumen de los principales resultados obtenidos para períodos estables.

TABLA RESUMEN 7.1

PERIODOS COMPARABLES	TRH 2145	B∨ 4,000/23	%dil	pН	Stot m <sub>3</sub> /L	H2Sdis	E% DQO	E% SO4
. 1 I	3.21	6.34	21.7	6.703	235.6	156,9	56.4	67.8
2 Ia	3.32	5.54	21.7	6.588	325.5	243.3	51.8	N.D.
2 Ib	3.59	5.67	21.7	7.313	239.9	78.9	74.6	38.6
1 II	2.90	7.04	66.5	6.787	210.4	130.0	65.9	92.4
5 II	3.30	6.18	66.5	7.296	296.5	100.5	79.2	89.0
S III	1.75	11.74	66.5	7.002	242.5	121.3	78.4	92.4
1 IV	3.16	9.76	100	6.481	337.8	259,4	56.2	97.5
2 IV	3.41	9.09	100	7.286	412.4	87.94	75.2	N.D.

. !:

FIGURA 7.1

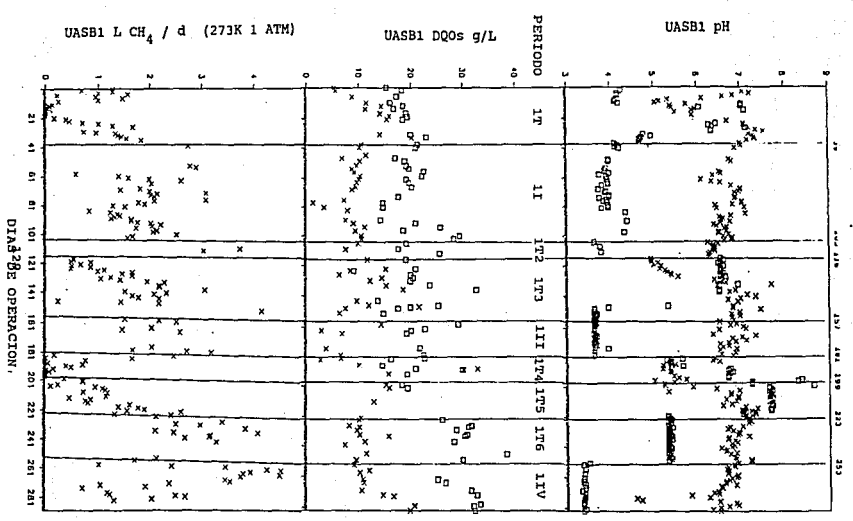
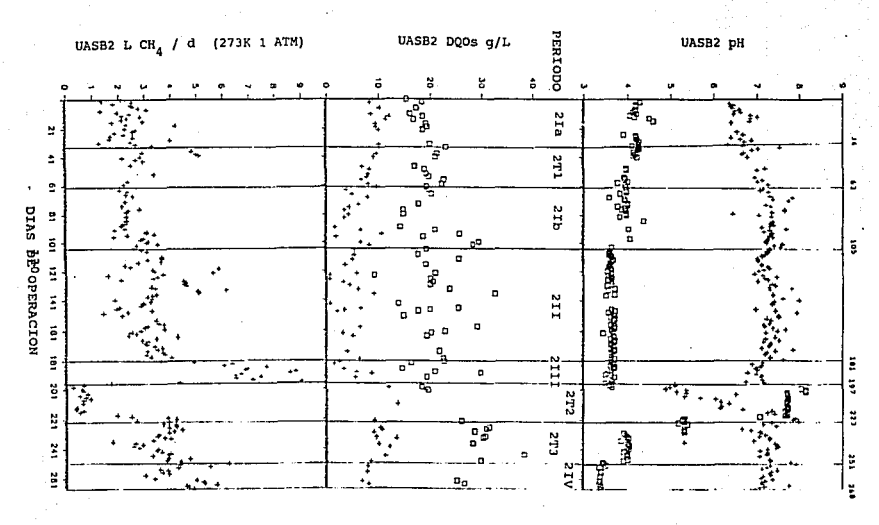


FIGURA 7.2 11 Influente + Efbente



#### R CONCLUSIONES

Las conclusiones obtenidas de la investigación experimental realizada, con base en las investigaciones efectuadas con anterioridad y a los resultados obtenidos son las siguientes:

- 1. El proceso que cuenta con recirculación de gas del que se ha absorbido CO<sub>2</sub> y H<sub>2</sub>S, presentó eficiencias de remoción mayores entre 22.8 y 13.3 puntos porcentuales al proceso que únicamente consta de recirculación del gas producido (UASBI), Esto permitió que el pH en su interior se mantuviera en un intervalo más adecuado a la digestión anaerobia.
- 2. El proceso con desorción de  ${\rm CO_2-H_2S}$  se consiguió operar en forma estable a una carga orgánica de  $11.74~{\rm kgDQO/m}^3$ día y un 0 de  $1.75~{\rm días}$ , condiciones que no pudieron ser alcanzadas por el reactor testico.
- 3. La desorción de CO<sub>2</sub>-H<sub>2</sub>S permite mantener un pH más elevado, de 0.509 a 0.805 unidades, en comparación con el proceso que carece de ésta. El pH fue siempre mayor a 7.0 para cualquier período estable del reactor UASB2 y siempre fue menor a ese valor para el reactor UASB1. El método empleado, recirculación al reactor de gas tratado (principalmente CH<sub>4</sub>), resultó un forma adecuada de lograrlo, lo que concuerda con lo demostrado por Ely [12] y Graef y Andrews [60]. La desorción de CO<sub>2</sub> empleando como gas de arrastre el metano producido en la digestión anaerobia, previa eliminación

- del CO<sub>2</sub> y del H<sub>2</sub>S que contiene, permite incrementar el pH en el interior del reactor.
- 4. La recirculación de gas sin CO<sub>2</sub> ni H<sub>2</sub>S al reactor, evita o al menos reduce la necesidad de neutralizar la alimentación o recircular efluente para mantener un pH adecuado en el reactor. Aunque traslada el problema a la absorción de CO<sub>2</sub> y H<sub>2</sub>S del gas generado, el nuevo problema es más sencillo ya que involucra a menos compuestos que pueden ser manejados más facilmente.
- La recirculación de gas evita tener que aumentar el volumen del reactor debido a la recirculación del efluente.
- 6. No se puede afirmar que la absorción de  ${\rm H_2S-CO_2}$  del gas recirculado permita reducir la concentración de  ${\rm S^{-2}}$  en el reactor anaerobio. Las condiciones de equilibrio de las formas químicas del azufre en el reactor dependen mucho del pH, fijado fundamentalmente por la capacidad amortigüadora de los bicarbonatos. Un pH superior a 7, al reducir la forma que puede ser desorbida ( ${\rm H_2S}$ ), favorecerá una mayor concentración de  ${\rm HS^-}$  y de  ${\rm S^{-2}}$  en el reactor.
- 8. La adición de diferentes compuestos alcalinos a la alimentación del reactor fue durante toda la investigación un auxiliar muy valioso en la estabilización del funcionamiento de los reactores.

En todo trabajo de investigación, simultáneamente a la obtención de conclusiones se descubre la existencia de aspectos dignos de estudio e incluso imprescindibles en una investigación posterior. Con la perspectiva alcanzada con esta tesis se propone dirigir la investigación posterior al diseño y operación a escala planta piloto del proceso estudiado, ya que los resultados obtenidos a nivel laboratorio son satisfactorios.

Los aspectos que se proponen son:

Modificar el diseño de los reactores UASB para mejorar los separadores de fases y evitar así un posible arrastre de lodos anaerobios en el efluente debido a la turbulencia que provoca la recirculación de gas.

Determinar con un estudio técnico – económico el sistema de absorción de  ${\rm CO_2-H_2S}$  más adecuado para emplearse a escala planta piloto o industrial.

Modificar el diseño de los reactores UASB para permitir una mejor transferencia de masa en los fenómenos de desorción que ocurren en su interior.

Aplicar un método analítico más adecuado para la determinación de  $s^{-2}$  y de  $s0_{\star}^{-2}$ .

Comparar el efecto obtenido en el control del pH entre la recirculación de gas lavado con respecto a la recirculación de líquido, en forma experimental.

### BIBLIOGRAFIA

- [1] APHA, AWWA, WPCF, (1980). Standar Methods for the examination of water and wastewater. 15 Edición, 1134 pp.
- [2] Ayres, G. H. (1970). Análisis Químico Cuantitativo. Harla, México.
- [3] Azúcar S.A. (1988) Desarrollo operativo 1982 1988. Subdirección de planeación y desarrollo. Gerencia de estudios económicos de Azúcar S.A.
- [59] Bailey, J.E.; Ollis, D.F. (1977) Biochemical Engineering Fundamentals. McGraw Hill Inc. USA.
- [4] Benson, E. H; Parrish, R. W; (1974). HiPure process removes CO2/H2S. Hydrocarbon Processing. Vol. 53, No. 4, pp. 81-82.
- [5] Bendell, Kirby, Buenger, McGaugh (1984). Chelate's role in gas treating. Hydrocarbon Processing pp. 63-66, enero.
- [61] Brown, Sallee (1967). Química Cuantitativa. Editorial Reverté, Barcelona, España.
- [6] Carbajal C. (1981). Problemas de contaminación ambiental que causan los ingenios azucareros y sugerencias para empezar a resolverlos. XI Convención Nacional de Técnicos Azucareros de México.
- [7] M.Constant, H. Naveau, G.L. Ferrero, E.J. Nyns (1989). Biogas, end use in the european community. Elselvier Applied Sience, England.
- [8] Cork, Douglas J; Szuchen, Maka (1982). Acid-Gas Bioconvertion favors sulfur production. Biotechnology and Bioengineering Symp. No 12, 285-290.
- [9] Cork, Douglas J., Jerger, Douglas E., Maka, Andrea (1986). Biocatalytic production of sulfur from Process Waste streams. Biotechnology and Bioengineering Symp. No 16.
- [10] David Gidi, Alfredo Fuad. (1990). Control de la contaminación del agua en México. Memorias, VII congreso nacional de la sociedad mexicana de ingeniería.
- [69] Dean (1987). Lange's Handbook of Chemistry: McGraw Hill.
- [11] Del Moral Palacio, Laura Estela (1991). Diseño de una planta piloto para procesar residuos de la planta de cromatos de Cromatos de México. Tesis, Facultad de química, UNAM.

- [12] Ely, Stephen R; Olsen, George P. (1989). Process for treatment of wastewater. US patent 4826600, propiedad de AMOCO corporation.
- [13] Facultad de Química, UNAM (1985). Perfiles químico -tecnológicos, tercera edición. Serie "Cuadernos de Posgrado", división de estudios de posgrado, Facultad de Química, UNAM, México D.F.
- [14] Ferguson, John. Eis, Brian J. and Benjamin, Mark M. (1984). Neutralization in anaerobic treatment of an acidic waste. Water Res. Vol 18, No 5, pp 573-580.
- [15] Garde, R. V. (1989). Removal of Hydrogen Sulfide from Biogas by Chemoautotrophic Fixed-Film Bioreactor. Biotechnology and Bioengineering, Vol 34, pp 410-414.
- [67] Gas Processors Suppliers Association (1987). Engineering Data Book. Gas Processors Association. Décima edición.
- [60] Graef, Andrews (1973). Matematical Modeling and Control of Anaerobic Digestion in G.F. Bennett "Water-1973 CEP Symp. Serv. No. 136, Vol. 76, p. 101.
- [16] Gulf Publishing Co. (1990). Gas Process Handbook '90. Hydrocarbon Processing. Abril pp 69-99.
- [17] Guyot, Jean Pierre (1990). Introducción a la microbiología de los digestores anaerobios. Memorias de la serie de conferencias "Tratamiento anaerobio de aguas residuales en América Latina", Universidad Nacional Autónoma de México, México D.F.
- [18] Hardison, Leslie C. (1980) Autocirculation process and aparatus. US patent 4238462, diciembre 9.
- [19] Hardison, Leslie C. (1985) Go from H2S to S inone unit. Hidrocarbon Processing, April.
- [21] Hilton, Archer (1988). Anaerobic Digestion of a Sulfate-rich Molasses Wastewater: Inhibition of Hydrogen Sulfide Production. Biotechnology and Bioengineering, Vol 31, pp 885-888.
- [22] Hilton, Barry L; Oleszkiewicz, Jan A. Sulfide-Induced Inhibition of Anaerobic Digestion.
- [62] Higgins, I.J. (1985) Biotechnology principles and applications. Blacwell Scientific Publications. Great Britain.
- [23] Honig, Pieter (1969). Principios de tecnología azucarera. CECSA, México, D.F.

- [24] Keim, P; Brant, J; Aivasidisi, A; Wardrey, C. (1988). Process control in anaerobic fluidized bed reactor using porous glass granules for microbial colonization. Post-Papers. Fifth International Symposium on Anaerobic Digestion. Bologna, Italia.
- [25] Koster, I.W., Rinzema A., de Vegt, A. L., and Lettinga, G. (1986). Sulfide Inhibition of the Methanogenic Activity of granular Sludge at various pH levels. Wat. Res. Vol 20, No 12, pp 1561-1567.
- [26] Lara Magaña, Marcela. (1990). Arranque y operación de reactores UASB a escala piloto bajo diferentes condiciones de alimentación. Tesis, Universidad Veracruzana, México.
- [27] Lettinga, G. (1981). Anaerobic treatment for wastewater treatment energy production. Inter-American Seminar Biogas. João Pessoa. Brasil.
- [28] Lettinga, Van Velsen, Hobma, de Zeeuw, Klapwijk (1980). Biotechnol. Bioeng. 22, pp 699-734.
- [29] McCarty, P.L. (1964). Anaerobic Waste treatment fundamentals. Pub. Works, (95).
- [30] Moeller Chávez, Gabriela; Del Moral Palacio, Laura Estela; Rodríguez Rivera, Fernando (1989). Arranque de un digestor anaerobio convencional para tratamiento de lodos. Segunda reunión de investigadores universitarios en contaminación ambiental. UNAM. [31] Moeller Chávez, Gabriela; Soler A. Francisca; Del Moral Palacio, Laura Estela (1990). Comparación estadística de algunas técnicas para la determinación de la DQO en aguas residuales y lodos. Memorias, VII congreso nacional de la Sociedad Mexicana de Ingeniería Sanitaria y Ambiental.
- [32] Moreno R, Gloria; Rodríguez R, Fernando; Jiménez T, Cesar; Noyola R, Adalberto. 1990. Tratamiento de vinazas de alcohol de caña con reactores UASB: Arranque del proceso y reducción de su inhibición. Memorias, VII congreso nacional de la Sociedad Mexicana de Ingeniería Sanitaria y Ambiental.
- [33] Molletta, Albagnac G. (1982). A gas meter for low rates of gas flow: Aplication to the methane fermentation. Biotechnological Letters 4.5.3 19-322.
- [34] Nagl G.L. (1988) Economics of odor control. WPCF annual conference.

- [35] Noyola A., Briones R. (1988) Tratamiento de vinazas a escala piloto: inoculación y arranque de reactores tipo lecho de lodos y filtro anaerobio. Memorias, VI congreso nacional de la Sociedad Mexicana de Ingeniería Sanitaria y Ambiental.
- [36] Noyola Robles, Briones Mendez, Jiménez Torres (1989). Tratamiento anaerobio de vinazas a nivel plata piloto con dos tipos de reactores avanzados. 1a. y 2a. parte. Informe, Instituto de Ingeniería, UNAM.
- [37] Noyola R, Adalberto; Rodríguez R, Fernando; Ilangovan K. (1991). Effect of H2S and K in the anaerobic treatment of molasses stillage. Brasil
- [38] Noyola R, Adalberto (1990) Tratamiento anaerobio de aguas residuales: una experiencia de adaptación tecnológica en México. Conferencias: Tratamiento anaerobio de aguas residuales en América latina. UNAM, Mexico D.F.
- [39] Oleszklewicz, J.A., Marstaller, T., and McCartney, D. M. Efects of pH on Sulfide Toxicity to Anaerobic Processes. Environmental Technology Letters, Vol. 10, pp 815-822.
- [40] Parkin, G. F; Sneve, M.A; Loos, H (1991). Anaerobic Filter treatment of sulfate-conteining wastewater. Wat. Sci. Tech. Vol. 23.
- [68] Perry R.H., Green D.W. (1984). Prry's Chemical Engineering Handbook. McGraw Hill. Sexta Edición.
- [63] Quintero Ramírez, Rodolfo (1981). Ingeniería Bioquímica. Editorial Alhambra Mexicana. México.
- [41] Ramette, R. W. (1983). Equilibrio y análisis químico. Fondo educativo interamericano, México.
- [42] Reis, M.A.M., Gonçalves, L.M.D., Carrondo, M.J.T. (1988). Sulphate Removal in Acidogenic Phase Anaerobic Digestion. Environmental Technology Letters, Vol 9, pp 775-784.
- [43] Rizema, Arjen and Lettinga, Gatze (1988). The effect of Sulfide on the Anaerobic degradation of Propionate. Environmental Technology letters, Vol 9, pp 83-88.
- [44] Sarner, Erik; Hultman, Bengt G.; Berglund, Anders E. (1988) Anaerobic treatment using new technology for controlling H2S toxicity. Tappi Journal V.71 No2.

- [45] Sherer, P; Sahm, H. (1981). Eur J. Appl. Microbiol. 12, 28-35.
  - [46] Secretaría de Recursos Hidráulicos (1976). 8 Azúcar, serie "Uso del agua y manejo del agua residual en la industria" pp.21 y 24.
- [47] Smith P.H., Mah R.A. (1966) Kinetics of acetate metabolism during sludge digestion. Appl. Microbiol 14: 368-371.
- [48] Sorlini, C; Ranalli, G; Merlo, S; Balsari, P. (1989). Preliminary research support matrices to utilize in anaerobic expanded bed digestors. Post-Papers. Fifth International Symposium on Anaerobic Digestion. Bologna, Italia.
- [49] Speece, Richard E. (1983). Anaerobic Biotecnology for Industrial Waste Water Treatment. Environ. Sci. Technol. Vol. 17. No. 9.
- [50] Speece, Richard E; Parkin, G. F. (1983). The response of methane bacteria to toxicity. Third Intl. Symp. on Anaerobic Digestion, Boston, USA.
- [58] Stafford, D.A.; Hawkes, D.L.; Horton, R. (1980) Methane production from waste organic matter. CRC Press Inc. USA.
- [51] Thompson , Ralph B. (1980). Catalyticremoval of hydrogen sulfide from gases. US patent 4189462, febrero 19.
- [52] Thompson, Ralph B. (1980). Composition for catalytic removal of hydrogen sulfide from gases. US patent 4218342, agosto 19.
- [53] Valdés Jiménez, Obya Abreu, Ramos Álvarez (1990). Experiencias cubanas en el proceso de digestión anaeróbica con el uso de reactores UASB. Memorias de las conferencias "Tratamiento anaerobio de aguas residuales en América Latina", UNAM, México.
- [54] Vera Avila, Luz Elena (1982). "Equilibrios simultáneos en disolución acuosa". Facultad de Ouímica, UNAM.
- [55] Verachtert, Hubert; De Mot, R. (1990). Yeast, biotechnology and biocatalisis. Marcel Deeker Inc, New York USA.
- [64] Wark, Warner (1990). Contaminación del aire. Ed. Limusa Méx.
- [56] Young, J. C.; McCarty, P. L. (1969). Journal Water Pollution Control.
- [57] Zehnder, Alexander J.B. (1988). Biology of Anaerobic Microorganism. John Wiley & Sons Inc. USA.

### APENDICE 1

### TECNICAS DE ANALISIS.

## ALCALINIDAD

# Fundamentos.

La alcalinidad es la capacidad de un agua, propiamente de los compuestos en ella disueltos, para reaccionar con un ácido fuerte que se añada al agua. En cuanto mayor sea la alcalinidad, el pH de la muestra se conservará más cercano al original; es por tanto una medida de la capacidad tampón del sistema.

Este parámetro depende, en muchos casos, principalmente de la concentración de carbonatos, bicarbonatos e hidróxidos; así es una práctica común expresar la alcalinidad como la equivalencia en mg de CaCO<sub>4</sub>/L contenidos en el agua.

Para determinar la alcalinidad de una muestra es necesario agregarle una solución de un ácido fuerte. El punto final de la valoración depende de los componentes de la muestra, por lo que la alcalinidad depende del punto final establecido.

Se han definido dos pH como puntos finales para las valoraciones con objeto de poder realizar comparaciones con los resultados obtenidos. Son: 8.3, alcalinidac con fenoftaleína (el segundo vire de la fenoftaleína es en el pH 8.3), y el punto final de todas las reacciones de valoración, que puede variar entre pH 5 y 3.7; en estas condiciones se conoce como alcalinidad total.

La comparación de los valores de alcalinidad, para estos dos pH, permite determinar la alcalinidad debida a cada compuesto; cuando la alcalinidad con fenoftaleína es cero (muestra con pH < 8.3),

entonces la alcalinidad es debida únicamente a la presencia de bicarbonatos (ver figura 2.4), ya que a un pH de 8.3 prácticamente todo el C<sup>4</sup> se encuentra como bicarbonato [(pKal+pKa2)/ 2 = 8.3]. Si la alcalinidad con fenoftaleína es aproximadamente un medio de la alcalinidad total, el valor de estos parámetros se deberá únicamente a la presencia de carbonatos, ya que en ausencia de hidróxidos, la misma cantidad de reactivo se emplea en pasar de carbonatos a bicarbonatos como de bicarbonatos a bióxido de carbono y ácido carbónico.

En caso de que la alcalinidad con fenoftaleína sea igual a la alcalinidad total, sólo tendremos hidróxidos en la muestra, ya que esto indica que durante la valoración no se formaron bicarbonatos y que por tanto originalmente tampoco se pudo haber tenido carbonatos.

No es posible tener concentraciones semejantes de carbonatos e hidróxidos ya que a un pH alto (presencia de OH<sup>-</sup>), el C<sup>4</sup> se encuentra como carbonato; mientras que a un pH intermedio, (5 - 11; presencia de bicarbonatos), la concentración de OH<sup>-</sup> es menor a 1E-J. Por esta razón, cualquier otra combinación de valores de alcalinidad indica la existencia de un par de compuestos.

El agua residual (vinaza) tanto antes como después de su tratamiento mantuvo un pH inferior a 8.3, por lo que la alcalinidad con fenoftaleína fue siempre cero y en consecuencia la alcalinidad se debe únicamente a la presencia de bicarbonatos. El pH del agua residual sin tratar fue siempre menor a 4.3 teniendo por tanto una alcalinidad de cero.

Tabla A.1 Relación entre la alcalinidad total y la acalinidad con fenoftaleína

Alcalinidad	hidróxidos	Debida a: carbonatos	bicarbonatos
F = 0	0	0	T
F < .5 T	0	2F	T - 2F
F	2F - T	2T - 2F	0
F = T	T	0	0

F = Alcalinidad tomando 8.3 como pH final (fenoftaleína).

T = Alcalinidad total.

#### Reactivos.

Solución estandar primario de bicarbonato de sodio. Na2CO3 desecado a 250<sup>O</sup>C durante cuatro horas, que se disuelve en 1L de aqua destilada.

Solución estandar secundario, aproximadamente 0.1N de H<sub>2</sub>SO<sub>4</sub>. Se prepara disolviendo 3mL de ácido en 1L de agua destilada. La estandarizanción se realiza contra la solución de carbonato de sodio: Un volumen conocido de esta solución se valora potenciométricamente contra el ácido preparado, primero hasta aproximadamente pH 5, entonces se hierve la solución para eliminar el bióxido de carbono disuelto, se enfria y se continúa la valoración.

#### Procedimiento.

Las muestras se tomaron del separador de fases (conos) de los rectores UASB (1 y 2).

La muestra siempre con un pH menor a 8.3 se valcraba hasta pH 4.3. empleando la solución diluida de  ${\rm H}_2{\rm SO}_A$ .

El algoritmo para el cálculo de la alcalinidad es la siguiente:

# Alcalinidad mgCaCO3/1 = $\frac{A * N * 50000}{mL \text{ muestra}}$

A = mL de ácido empleado en la valoración de la muestra.

N = Normalidad del ácido empleado.

### DEMANDA QUIMICA DE OXIGENO (DQO)

La cantidad de oxígeno necesario para oxidar los compuestos presentes en una muestra de agua residual es un parámetro adecuado para expresar la concentración de materia orgánica presente en ella, si carece de otros compuestos no orgánicos oxidables en las condiciones de la prueba, ya que la materia orgánica puede oxidarse hasta CO<sub>2</sub> y H<sub>2</sub>O. La DQO es en consecuencia una evaluación de la cantidad total de materia orgánica presente.

Como parámetro para evaluar el comportamiento de procesos biológicos empleados en la depuración de agua residual tiene el iconveniente de que en dichos procesos la materia orgánica presente no puede ser degradada completamente; una parte es transformada en nuevos microorganismos (biomasa), además, las bacterias empleadas (aerobias o anaerobias) son incapaces de degradar algunos compuestos orgánicos, por ello la demanda química de oxígeno no representa del todo bien la concentración de materia orgánica degradable por procesos biológicos.

Sin embargo, la DQO es un parámetro consistente y puede correlacionarse en forma empírica con pruebas como DBO (Un parámetro más apropiado es la prueba conocida como demanda bioquímica de oxígeno o DBO<sup>1</sup>), carbono orgánico o contenido de

La demanda bioquímica de oxígeno es una prueba que estima la cantidad de oxígeno requerido por bacterias aerobias para degradar lo más que son capaces una muestra.

materia orgánica [1]. La DQO presenta la ventaja de ser una prueba rápida (la DBO dura aproximadamente cinco días), especialmente útil cuando se requiere información inmediata de la operación de procesos de depuración biológicos.

Existen diferentes tipos determinaciones de DQO:

DQO total o de la muestra completa.

DQO soluble, donde se realiza la prueba al filtrado de la muestra total.

DQO volátil, que corresponde a la diferencia entre el DQO total y el de una muestra a la que se han eliminado los compuestos volátiles.

El método empleado es el reflujo con dicromato de potasio; este es un enérgico oxidante en medio ácido

 $\text{Cro}_7^{2-} + 14\text{H}^+ + 6\overline{e}^- ----> 2\text{Cr}^{3+} + 7\text{H g}$  (E = 1.33 V [2] capaz de oxidar la materia orgánica presente. El dicromato de potasio no reducido es valorado con sulfato ferroso amoniacal.

$$6F_{e}^{2+} + cro_{7}^{2-} + 14H^{+} -----> 2cr^{3+} + 6F_{e}^{3+} + 7H_{2}O$$

Para evitar que los compuestos orgánicos volátiles (compuestos alifáticos de cadena corta) no sea oxidados al permanecer en fase gaseosa sobre la solución oxidante, se agrega sulfato de plata como catalizador. Bajo las condiciones de la prueba los cloruros y en general los halogenuros pueden ser oxidados

lo que causaría un error. Para reducirlo se agrega sulfato mercúrico; el mercurio forma complejos con los halogenuros, lo que disminuye la concentración libre de los halogenuros en la solución, reduciendo su oxidación, por ello la concentración de

Halogenuros no debe ser elevada, manteniendo una relación de 10 a 1 (HgSO<sub>4</sub>-Cl en peso) o mayor con el mercurio. En el caso de las muestras que contienen nitritos (generalmente, si acaso, presentes en concentraciones despreciables), es necesario añadir 10mg de ácido sulfámico, NH<sub>2</sub>SO<sub>3</sub>H, por miligramo de nitrógeno en forma de nitrato para evitar su oxidación con la consecuente interferencia.

La prueba requiere de un blanco para evitar errores debidos a la presencia de materia oxidable en el agua empleada.

#### Reactivos

Solución estandar de dicromato de potasio 0.25N; se elabora con K<sub>2</sub>Cr, desecado a 103<sup>0</sup>C por 2 horas.

Solución estandar de sulfato ferroso amoniacal,  ${\rm Fe(NH_4)}_2 {\rm SO}_4 {\rm ^{-6}H_2O}$ , que debe contener 20 mL de  ${\rm H_2SO}_4$  por litro de disolución.

Solución concentrada de ácido sulfurico con sulfato de plata. Se disuelven 5.5g de  ${\rm AgSO}_4$  / L de  ${\rm H_2SO}_4$ .

Solución indicadora de 1,10 ortofenantrolina (ferroína).

Las reacciones que se realizan son de oxidación-reducción por lo que los equivalentes en la normalidad de las soluciones debe ser redox.

Procedimiento.

Las muestras se colectaban de los frascos que recibían el efluente de los reactores.

20 mL de muestra se colocaban en un matraz con conexión para reflujo.

Afiadir el sulfato mercurico requerido (10 mg  ${\rm HgSO}_4$  / mg  ${\rm Cl}^-$ ) junto con cuerpos de ebullición.

Agregar una pequeña porción de  ${\rm H_2SO_4}$ -AgSO\_4 suficiente para disolver el sulfato mercúrico y permitir así la complejación de los halogenuros.

Adicionar la solución oxidante de dicromato de potasio (10 mL). La muestra y la solución de dicromato de potasio deben de ser medidas con toda precisión.

Completar el volumen de  ${
m H_2SO_4-AgSO_4}$  requerido (30 mL). Es necesario enfriar mientras se mezcla para evitar la perdida de materia volátil.

El matraz se coloca a reflujo durante 2 horas; existen otros métodos que emplean tiempos menores cuando se han hecho correlaciones experimentales adecuadas para la muestra en particular [31]; no siempre es posible encontrar una correlación adecuada.

Se retira el matraz del reflujo y se diluye hasta alcanzar el doble del volumen inicial empleando agua destilada (120 mL de volumen final).

Se enfría hasta temperatura ambiente, se añade la solución indicadora de Ferroína y se valora el dicromato remanente con la solución de sulfato ferroso amoniacal. La muestra debe estar a temperatura ambiente y diluida porque de lo contrario es posible que el indicador (que es una molécula orgánica) sea oxidado, lo cual impediría observar el punto de equivalencia.

El algoritmo para el cálculo de la DQO cuando la normalidad del dicromato de potasio es 0.25N es el siguiente:

mg DQO / L = 
$$(A - B) * N * 8000$$
  
mL de muestra

Donde:

- A = mL de solución de sulfato ferroso amoniacal empleados en la valoración del blanco.
- B = mL de solución de sulfato ferroso amoniacal empleados en la valoración de la muestra.
- N = normalidad del sulfato ferroso amoniacal utilizado.
- si se emplean 20 mL de muestra, el DQO máximo que se puede determinar es de 1000 mg/L, por lo que es necesario diluir la muestra para cumplir con dicha condición quedando el siguiente algoritmo:

mg DQO / L = 
$$(A - B) * N * 8000$$
  
mL de muestra \* dilución

Donde dilución = Volumen de muestra / volumen final.

La dilución más comunmente empleada fue de 1/50 que permite determinar hasta 50000 mg/L de DQO.

Esta prueba en sus modalidades de DQO total y DQO soluble se realizó 3 veces por semana.

#### SULFATOS

El método empleado fue el gravimétrico con ignición del residuo [1].

#### Fundamentos.

El sulfato de bario, BaSO<sub>4</sub> es un compuesto con un producto de solubilidad tal (kps = 9.5 E-10 [2]) que con un exceso de bario, la concentración de SO<sub>4</sub><sup>2-</sup> sin precipitar será muy pequeña; esta propiedad puede emplearse para determinar la concentración de sulfatos presentes en una muestra.

El sulfato de bario se forma al hacer reaccionar, en medio ácido para evitar la precipitación de carbonato de bario, cloruro de bario con los sulfatos de la muestra en presencia de HCl. La precipitación se debe realizar a temperatura cercanas a los 100°C para disminuir la solubilidad del sulfato de bario y permitir que los cristales se formen lentamente y adquieran un mayor tamaño.

Los sulfuros presentes en la muestra pueden ser oxidados a sulfatos en las condiciones de la prueba.

El precipitado se debe filtrar en caliente con papel de poro fino para impedir la precipitación de sustancias extrañas y debe de ser lavado con agua caliente hasta que se haya eliminado todo el cloruro de bario.

El residuo se calcina a 800<sup>°</sup>C por una hora para eliminar el agua Ocluida en los cristales.

La materia suspendida, silicatos, BaCl precipitado, Nitratos, y agua ocluida pueden ocasionar desviaciones positivas de los resultados.

Sulfatos de sodio y potasio pueden ser ocluidos en los cristales de sulfato de bario ocasionando errores negativos, como también lo causan bisulfatos que se descomponen en la calcinación.

Reactivos.

Ácido clorhídrico, 1-1 (HCl-H,O).

Solución de Bacl 0.4M.

Procedimiento.

Colocar 5mL de muestra tomada de efluente y llevar a 150 mL con aqua destilada.

Ajustar el pH en 4.5-5 agregando HCl.

Calentar la solución a ebullición y añadir 25 mL de solución de BaCl caliente.

Digerir el precipitado al menos 2 horas a más de 80°C por debajo

de la temperatura de ebullición.

Filtrar en caliente en un papel de poro fino y de calcinación sin cenizas (Whatman ashless 40).

Lavar el precipitado con agua caliente para eliminar los cloruros. Calcinar el precipitado a  $800^{\circ}$ C por 1 hora y pesar.

Algoritmo de calculo:

$$\frac{\text{mg SO}^2}{\text{L}} = \frac{\text{mg BaSO4}}{\text{mL de muestra}} * \frac{\text{PM SO}^2}{\text{PM BaSO4}} = \frac{\text{mg BaSO4}}{\text{mL de muestra}} * \frac{\text{411.6}}{\text{mL de muestra}}$$

Esta prueba se realizó dos veces por semana.

#### SULFUROS.

El método empleado fue la precipitación con acetato de Zinc para la posterior valoración del H<sub>2</sub>S por el método iodométrico [1]. Fundamentos.

La prueba se divide en dos partes; una consiste en la separación de los sulfuros de la muestra (evitando así interferencias de tiosulfitos o ioduros y la presencia de algunas sustancias coloridas) y la otra en la determinación de los sulfuros.

El zinc forma con el sulfuro, en medio básico, un precipitado muy poco soluble (kps 8 E-25 [21]).

En la segunda parte, el precipitado de sulfuro de zinc es disuelto en medio ácido con la presencia de iodo, con quien reacciona el sulfuro siendo reducido a azufre.

$$z_{ns} + z_{HC1} ----> z_{nC1} + H^+ + s^2 - s^2 + z_1^2 ----> z_1 + s + s^2 - s^2 + z_1^2 ----> z_1^2 + s^2$$

El iodo remanente puede valorarse con tiosulfato de sodio para conocer la concentración de sulfuros.

$$I_2 + 2S_2O_3^2 ----> 2I + S_4O_6^2 - 6$$
  $I_3 + 2S_2O_3^2 ----> 3I + S_4O_6^2$ 

Como indicador para esta valoración se puede emplear una solución de almidón $^2$ .

Reactivos.

Solución estandar 0.025N de iodo<sup>3</sup> que se prepara disolviendo de 20 a 25 g de ioduro de potasio (KI) junto con 3.2g de I2 y llevando a 1L para posteriormente estandarizarla con la solución estandar de tiosulfato de sodio.

Solución estandar 0.025N de tiosulfato de sodio (Na2S203).

Solución 2N de acetato de zinc, Zn(CH3COO)3.

Solución 6N de NaOH.

Solución 6N de HCl.

Procedimiento.

Tomar una muestra de 2 mL, se deposita en un frasco para DBO previamente lleno a 3/4 con aqua.

Añadir 2 mL de acetato de Zinc.

Llenar a tope con agua, se agita suavemente y se deja reposar 30 minutos.

Filtrar decantando primero el sobrenadante empleando un papel filtro de fibra de vidrio para evitar el arrastre de partículas de papel.

Depositar el precipitado en un vaso empleando para ello un máximo de 100 mL de agua.

Pasar a un matraz Erlemeyer, disolver el precipitado y añadir en este orden 5mL de solución estandar de iodo y 3mL de solución de

<sup>&</sup>lt;sup>2</sup>Para fucionar como indicador de la presencia de iodo, una solución de almidón debe de calentarse para que la beta-amilasa, una de las susutancias que se producen, pueda formar un complejo azul con el iodo en presencia de ioduros.

En realidad es una solución estandar de 13.

HC1.

Valorar con tiosulfato de sodio. El indicador (almidón) se agrega cuando el color debido al iodo ha disminuido de tal forma que se presume cercano el puento de equivalencia de la valoración; que se determina cuando el indicador vira de azul a transparente.

Algoritmo de cálculo.

$$\underline{\underline{mq}}\underline{\underline{de}}\underline{\underline{s}}\underline{\underline{totales}}\underline{\underline{l}$$

A = mL de la solución de  $Na_2S_2O_3$ .

B = N de la solución de  $Na_2S_2O_3$ .

C = mL de la solución de I2.

D = N de la solución de I2.

Esta prueba se realizó tres veces por semana.

# Análisis de gases.

Para determinar la composición de los gases se empleó un cromatógrafo que permite distinguir entre  $CO_2$ ,  $CH_4$  y  $N_2$ . Este instrumento carecía de integrador para determinar el área correspondiente a cada compuesto, por lo que la determinación de la composición se efectuó mediante una correlación entre la altura del pico y el volumen inyectado de cada compuesto. Una correlación adecuada fue el inverso de la fracción en volumen del componente contra el inverso de la altura del pico. Con este procedimiento es posible obtener correlaciones (sin tendencia a presentar curvatura) con coeficientes de correlación de 0.9997.

Debido a la diferencia de temperaturas entre el gas de las muestras procedente de los reactores anaerobios (  $35^{\circ}$ C ) y la del

gas empleado para determinar la correlación fue preciso normalizar los resultados. Esto se realizó considerando que el metano y el bióxido de carbono suman el 100% de la muestra. Esto se hizo así debido a que son los únicos dos gases producidos en cantidades apreciables por los reactores anaerobios (la concentración de  $\rm H_2S$  siempre será menor a 5%).

Esta prueba se realizó diariamente cuando había disponibilidad del cromatógrafo.

Esporádicamente se realizó la determinación de la presencia de ácido sulfhídrico en el gas. Para ello se empleó una variante del método utilizado en la determinación de sulfuros en el efluente líquido:

Procedimiento.

Se colecta en una ampoyeta de vidrio de dos vías con septo la muestra de gas.

Se inyecta HCl e Iodo en exceso.

El líquido obtenido se pasa a un matraz y se valora el exceso de iodo con tiosulfato de sodio empleando almidón como indicador.

El volumen de la ampoyeta (determinado con precisión: se llena de agua una temperatura conocida, se pesa así la ampoyeta llena y vacía, finalmente en base a la diferencia de pesos y a la densidad del agua se calcula el volumen de la ampoyeta) y las condiciones de temperatura y presión ( 305K, 585mmHg) de la muestra permiten conocer la cantidad de moles presente en la muestra y a partir de ello la fracción mol de H<sub>2</sub>S en el gas.

SÓLIDOS.

La materia orgánica se puede presentar suspendida o disuelta en un

agua residual. La determinación de los residuos sólidos totales, que incluyen tanto los sólidos disueltos (no filtrables) y los suspendidos (filtrables al menos en parte) se realiza pesando una muestra secada a una temperatura definida. La temperatura de secado permite diferenciar entre diferentes clases de compuestos. Muestras secadas a temperaturas entre 103 y 105°C, pierden el agua no ocluida o el agua de cristalización, CO2, además de materia orgánica en pequeñas cantidades.

A temperaturas de  $180^{\frac{1}{2}2}$ °C se pierde la mayor parte del agua ocluida. El agua de cristalización generalmente no se elimina, alguna parte de la materia orgánica se pierde por volatilización. Los bicarbonatos han sido transformado en carbonatos y estos parcialmente convertidos en óxidos y sales con perdida de  ${\rm CO}_2$ . Algunos cloruros y nitratos se han perdido también.

Las muestras calcinadas a 550°C han perdido toda la materia orgánica, toda el agua así como una mayor proporcion de todos los compuestos inorgánicos perdidos a 180°C, por esto la diferencia de pesos entre una muestra secada a 105°C y a 550°C se relaciona con la cantidad de materia orgánica presente en la muestra, aunque bajo la influencia de todos los compuestos inorgánicos que se volatilizan.

Procedimiento empleado.

Sólidos totales.

Lavar, secar y poner a peso constante una cápsula de porcelana 4.

<sup>&</sup>lt;sup>4</sup>para poner a peso constante una cápsula, se coloca en una mufla al menos 1/2 hora a 550+50°C, se deja enfriar hasta que alcance la temperatura ambiente, se pesa y se guarda en un desecador hasta su uso. Cuando se emplea papel filtro de fibra de vidrio se procede de iqual forma.

Tomar 5 mL de muestra y depositarla en la cápsula de porcelana.

Secar la muestra (al menos 2 horas a  $105^{\circ}$ C) en la estufa, enfriar en el desecador hasta temperatura ambiente y entonces pesar.

Calcinar la muestra a 550°C en la mufla durante media hora, enfriar en el desecador hasta temperatura ambiente y entonces pesar.

Sólidos volátiles.

Poner a peso constante un disco de papel filtro de fibra de vidrio (Whatman GF/A).

Tomar 5 mL de muestra y filtrarla a través del papel de fibra de vidrio.

Secar la muestra (al menos 2 horas a  $105^{\circ}$ C) en la estufa, enfriar en el desecador hasta temperatura ambiente y entonces pesar.

Calcinar la muestra a 550°C en la mufla durante media hora, enfriar en el desecador hasta temperatura ambiente y entonces pesar.

Algoritmos de cálculo:

SSF = (p550C-pCTE) \* 1000 \* (1 / M)

Sólidos suspendidos volátiles

ssv

mg / L

SSV = (p105C-p550C) \* 1000 \* (1 / M)

Donde:

pCTE es el peso constante (mg) de la cápsula o papel empleado.

p105C es el peso (mg) después de haber desecado la muestra a  $103-105\,^{\circ}\mathrm{C}$ .

p550C es el peso (mg) después de haber desecado la muestra a  $550^{\circ}\text{C}$ .

M es el volumen de la muestra (mL).

#### APENDICE 2

## RESULTADOS EXPERIMENTALES

Las tablas que se presentan corresponden los análisis efectuados en forma periódica para cada reactor indicando el día de su realización. Los análisis y lecturas fueron los siguientes:

Parámetro	Clave	Unidades
Нд	рн	sin
Alcalinidad	ALC	mg CaCO3 / L
Volumen de gas producido en condi-	GASn	mL / día
ciones normales: 273.15K, 1 atm.		
Concentración de metano	CH4	moles CH <sub>4</sub> / mol
Concentración de Bióxido de carbono	CO2	moles CO <sub>2</sub> / mol
Demanda química de oxígeno Total	DQOt	mg DQOt / L
Demanda química de oxígeno Soluble	DQOs	mg DQOs / L
Sólidos totales totales	STT	mg / L
Sólidos totales fijos	STF	mg / L
Sólidos totales volátiles	STV	mg / L
Sólidos suspendidos totales	SST	mg / L
Sólidos suspendidos fijos	SSF	mg / L
Sólidos suspendidos volátiles	ssv	mg / L
Sulfatos	SO4	mg SO <sub>4</sub> / L
Sulfuros	S-2	mg s <sup>-2</sup> / L

Todos los análisis se realizaron por duplicado en base a los Métodos estandar [1].

Análisis no realizados con periodicidad (como la concentración de  ${
m H}_2{
m S}$  en el gas) se reportan en el lugar oportuno.

REAGI	DE 114	sui i	معتلمه													
DIA	Q			GASn	CHA	CD2	DQOt	000s	STT	STF	STV	SST	SSF	SSV	504	5-2
1	285	F			0.925		7891			•••					•••	
2	230				0.702											
3	300			1280				5739								
4	255	7.08		995.7												25B
5	350	7.24	3290	1565	0.821	0.179										
6				218.1												
. 7	635	6.62	2750	948.3	0,673	0.327	9974	B760							127.6	336.4
8	625	6.11		1470	0.649	0.351										
9	890	5.33	2300	995.7												
10	525	5.14	1710	237.1												
11	20	5.04	1730	0	0.723	0.277	12468	11519								259.2
12	200	5.75	2180	118.5	0.610	0.390										
13	130	5.39	1800	71.12			15675	14352	14.74	6.723	8.017					
14	190	5.42	2680	23.71												
15	230	5.96	2690	82.78			12314	11338							261.4	553
16	110	5,89		0												
17	0	5.5		0												
19	0			0			14157	14157								225,8
19	1000	5.893		0												
20				0			16992	15940								
21	120			166												
22	750			379.3	0.766	0.234	16806	15513								
23		6.71		450.4												
24	750			699.4												
25	650	7.1	4200	1008	0.933	0.067										
26	640	7.11	4260	1260												
27	200	7.13	4370	1660												
28	300				0.924	0.076										
29	275	7.37				0.053										
30		7.54	2900	711.2												
31	690			948.3												
32				1326			16502	14068								
33	575			1375											168.8	
34	575	7.33					20150	20150								
35	650	7.34			0.897											
26	720	7.17	4500	1925	0.684											
37	900					0.221										
38	690	7				0.220										
39	970	7.03					12313	10522								679
40	840		3100		0.722											
41		6.89					10231	10231								325.B
42	635		2760			0.224			4.638	2,395	2,243				98,78	356.4
43	800					0.228										
44	B10		2440			0.244										
45	745		2320			0.285										
46	785		2300		0.800	0.200	9687	11519								159.9
47 48	750 790		2940		0 727	A 05-	10000		n. e.							
48 49		4.70	2100				10000	6866	21.51	10.04	11.47					87.18
50	760 830	6.74	2100			0.231	11896	10007							209.9	170 4
30	000	0.8	2100		V.001	0.119	11076	10223								172.1

	•																	
	DIA	DE 45	of Joc Ha	ALC	GASn	CHA	C02	DQOt	DQ0s	STT	STF	STV	SST	SSF	SSV	S04	5-2	
	51	740	•															
	52	770				0.756		14501	9659								98.4	
	53 54	745 B10		2180	2774	0.715		14303	7637									
	55	290		2160				9091	8727	22,59	10.05	12.54	3.04	0.77	2.27		190.6	
	56	925		1360														
	57	870	6.52					15283	9245									
	58 59	930 0	6.56	2220	569	0.909	0.091											
	60	730	0.37		Jui		0.055	10566	10377									
	61				1399	0.690												
	62	685	6.09			0.769		12406	10150								79.97	
	63	740	6.34			0.765			2015								70.75	
	64 65	710 540	6.55	2900 4760	2608	0.714	0.266	11240	4812								10.73	
	66	590	6.81	7700	2039	0.837	0.163											
	67	340		3420					9594									
	68	510		1920		0.973												
	69			2020		0.747		20926	6889									
	70 71	270 500	6.97 6.68	2060		0.7/3												
	72	910	5150	2400		0.710											93.79	
	73	680			2134													
	74	590	6.9			0.731		3521										
	75	610	6,88	3000	2086	0.751	0.249	7700	7308								93.79	
	76 77	900	7.04	2800	3082	0.809	0.191	/300	/308								73.17	
	7B	780	7.04	2600		0.753		7333	1333								153.7	
	79	930	6.83			0.679												
	80	1000	6.42			0.637	0.363											
	81 82	5B0	7.1 6.46		1290	0.800	0 300		3529								84.58	
	83	970	0.40	2100	1317				8000									
	84			1980			0.398		,.	•							66.14	
	85	470		2760		0.774										226.4	158.3	
	86		7.13			0.909												
	87 88	B30	6.8			0.694										407.5		
	89	B30	6.6	2380		183.0				11.11	4.84	6.27	2.31	0.74	1.57	107 44	536	
	90	750	6.55	1900					7547									
	91	820	6.76	2360		0.781											416	
	92	770	6.54			0.754			9006	10.91	7.28	3.63	2.5	0.9	1.6	407.5		
	93 94	855 810	6.38			0.299										1161		
	95	840	6.68	2620					11180							596.8	3	
	96	670	6.63	2080				,			5.86	11.56	2.91	0.72	2.19		472	
	97	780	6.68		1731			8537	9451									
	98	840	6.5	2600												tnt i	560	100
	100	800 635	6.5 6.73		2134	0.660	0.340				5,86					181.1		
	iw	033	0.73		2003													

```
Reactor URS61 tolige
    Q pH ALC GASn CH4 CO2 DQOL DQOS STT STF STV SST SSF SSV SO4 S-2
DIA
101
     800 6.61
                       12112 10559
    840 6.82 2740 2513 0.720 0.280 21.75 15.68 6.07
                                                          1.9 0.74 1.16 333.4
102
    730 6.8 2720 1660 11212 10606
103
104
    500 6.63 2220 1565
                  0.832 0.168
                                         12.72 5.26 7.46 2.87 0.77 2.1
105
    920 6.24
                     0.800 0.200 11765 10000
106
    720 6.48
107
    700 6.38
                     0.853 0.147
108
    870 6.36 2060
109
    B20 6.36 2600
                      0.787 0.213
                                         10.92 4.31 6.61 2.25 0.5 1.75 279.9 289.6
                     0.844 0.156 10671 7622
110
    800 6.39 2020
111
    B20 6.4 2000
                                         9.81 3.98 5.83 1.72 0.47 1.25
112
    900 6.29 1900 3732 0.670 0.330
113
    730 6.25 1920 3035 8720
                                                                       251.1
114
    740 6.28
115
    720
    800 4.92 1120 0.656 0.344
                                          11.49
                                                       2.542
116
                       17540 11700
117
    690 4.93
                                                                            203.2
    780 4.94
                 521.6
118
117
    670 5.09 1620 521.6 0.802 0.198
                                        13.04 6.42 6.62 1.93 0.47 1.46 465.1 289.6
    620 4.99 2100 474.2 0.829 0.171
120
121
    620 5.16 1820 853.5 0.864 0.136
                 8.246
122
    870
123
    920 5.14
                 497.9
                               16670 15230 18.17 6.72 11.45 6.57 1.69 4.88
    900 5.26 2260 853.5 0.853 0.147 1E+05 8540
124
    600 5.3 1900 474.2
125
    600 5.39 2440 1114 0.836 0.164
126
                                        16.13 7.59 8.54 3.33 0.91 2.42
    660 5.4 2100 995.7 11760 6470
127
    700 5.54 2160 1660
128
                                         15.83 6.6 9.23 4.33 1.22 3.11
129
                  1470
                               15630 14380
    625
130
    875 6.38 2420 1660
131
    815 6.56 3260 1233
                               10980 12200
                                                                       823.2 462.4
132
                  1043
    710 6.65
133
    800 7.7 3840 1422 0.961 0.039 16.36 6.23 10.13 4.5 1.25 3.25
   735 6.46 3190 1944 0.844 0.156 21760 15290
134
135
   620
136
    955
137
    900 6.88 2900 2181
                                21000 18500
                  2181 0.821 0.179 15.06 10.25 4.81 5.33 1.38 3.95 255.2 147.7
138 760 6.75
139
    970
    480 7.15 4240 3058 0.860 0.140 14.23 7.46 6.77 4.4 1.18 3.22
140
141 790 7.34 4460 1517
    940 7
142
                  2323
143
    860 6.71
                  2086
144
    B35 6.94 3380 1660
                               8540 9760
145
                                         12.72 7.77 4.95 2.42 0.82
    620
                  1778
146
    730
                  2181
    775 6.83 2920 237.1
                              11080 12070 12.35 5.7 6.65 1.77 0.49 1.28 489.8 78.59
147
   665 6.83 3180 1446
148
                               B420 21430
149
    550 7.45 4560 2181
                                5750 7500
150 570
                   0.778 0.222
```

```
Reactor UASB1 tratige
DIA Q pH ALC: BASA
                                  CO2 DQOL DQOs
      600 6.97 4470
152
          6.79
      850 6.98
                          0.829 0.171
                                                 11.48 5.63 5.85
                                                                   2.7
                                                                          0.8
                                                                              1.9 341.6 18.69
153
154
                      4149 0.759 0.241
155
                          0.807 0.193
156
      900 6.83
                           0.754 0.246
157
      B30
                           0,722 0.278
          6.5
                                                  9.84 3.72 6.12 3.16 0.76 2.4 123.5
15B
      925
           6.9
                2520 1517 0.623 0.377 25290 14290
159
      885 6.76
160
      B40 7.06
                      2181 0.762 0.238
                                                 37.78 11.13 26.65 32.56 7.35 25.21
      849 7.12 4020 2513 0.759 0.241
161
162
      800 6.49 3240
                          0.621 0.379
163
     850
                                      37500 3000
164
      975
                      2039
                                      9410 6930
165
      980 6.35
                      1470 0.840 0.160
166
          7,34
                                                 12.37 5.47 6.9 7.14 1.97 5.17
167
      635 7.02
               3570
                          0.749 0.252
     733 6.B
                      2584 0.617 0.383
169
169
     685 7,12 3660
                          0.773 0.227
170
     760 6.88
                          0.617 0.383
171
     885 6.71
                          0.571 0.429
                          0.573 0.427
     830 6.51 3600
172
173
     815 6.72 3300
174
     720 6.58 3030
                          0.607 0.393
175
           6.9 3180
                          0.623 0.377 32210 3850
176
     660 6.51
                          0.611 0.389
                                                  27.1 8.98 18.12 22.53 5.86 16.67
177
     710
                          0.648 0.352
178
     775 6,88
                      2039 0,558 0.442
179
     BOS 6.55
                3060
                           0.637 0.363
                      1660 0.696 0.304 41430 6670 11.65 4.38 7.27 5.77 1.14 4.63
                                                                                         203.8
190
     500 6.82 2075
181
      650
                     2715 0.501 0.499
                      3189 0.589 0.411 39900 6730 17.67 6.15 11.52 13.12 3.32
182
     950
                                                                                         143.7
183
    1280 6.34
                2800 166 0.517 0.483 6130 2830
184
    1100 6,5
                2425 2466 0.531 0.469
185
    1280 5.36
                          0.494 0.506
186
    1305 5.48 1400 1660 0.506 0.494
               1650 758.6 0.525 0.475 13430 10190 13.27 8.01 5.26 3.89 0.83 3.06 164.6
187
    1290 5.19
189
    1525
189
    1425 5.18
               1650 37.93
                                     48600 32710 14.49 6.48 8.01 3.58 0.94 2.64
                     711.2 0.475 0.525 27620 30000
190
    1240 5,38
    1150 5.36
                     379.3 0.524 0.476
191
                     474.2
192
    1180 5.38
                3800 142.2 0.215 0.785 20180 15700
193
    1200
                                                 17.84 7.14 10.7 6.78 1.67 5.11 279.9 168.8
194 1150 5.44 3900
195
    1355 5.55
                     71.12 0.648 0.352
176
     850 5.72 4350
                          0.466 0.534
                                                 15.21 6.79 8.42 2.38 0.22 2.16 209.9 173.8
197
     870
            5
               2100
198
      485 5.45
199
      450 5.22
                         0 0.642 0.358
200
      550 5.24 5300 355.6 0.861 0.139 16800 15260
```

							•										
a	_ 134																
DIA	יר טו	1581	ALC		CUA	202	DQGt	NOC-	CTT	STF	STV	SST	SSF	SSV	504	5-2	
200	-	5.24			0.861				311	311	311	551	-	Dut	541	<b>J</b> L	
201	400	5.68	3300	711.2		V. 137	10000	10200								200.1	
202		6.42	4675	711.2			17180	15890								2	
203		6.95	5325		0.733	0.267											
204		5.32		237.1													
205	580	6.77		104.3	0.722	0.278											
206	720	6.77		948.3													
207		6.93		1091													
208		6.92		1138													
209 210	575 650	6.64	2000	725.5 1185													
211	530	0,01		1160			12940	12860									
212	450	6.78	3833	1162			12/10	11000									
213	385	6.57	0000	450.4													
214	740		3333	853.5													
215	720	7.37		758.6												177.2	
216	595			B06.1													
217	535	7.23	3417														
218	610	7.32			0.610												
219	575	7.33			0.614												
220 221	710 B50	7,25	TENT		0.616												
222	630				0.610		25000	10500	25 00	B 73	17 15	21 40	5 74	14 23		469.6	
223					0.636						17.13	21177	3.20		1239		
224		7,22	•		0.485						17.47	19.14	4.65			476.4	
225	590		3425		0.567												
226	520			2134													
227	700	7.02					24700										
228	990	6.72					24250	10100									
229	750	6.67														965.6	
230	685	8.6	3825	3414			20900	9700									
231 232	750 640	6.93	7500	2513 2987					32.17	10.35	21.62	27.58	6./6	20.82		496.8	
233	685	6.92		270/			04415	10210									
234	B50	7,17						15700									
235	780	6.7		3841			31000										
236	750	6.68		2110											32.93	462.B	
237	500	6.85	2700	2466													
238	625	6.9	2867				14640	11220									
239	600	6.78	2700													374.4	
240	080	6.84		3153			13150	7470									
241 242	895 890	6.78 6.53		2679													
243	670	6.66	3117													177.2	
244		6.64		3295												111.2	
245		6.894	2505	0270													
246		6.75					12400	11500									
247	725				0.617	0.383											
248		6.85	2800		0.575												
249		6.873	2200			0.435											
250		7.22						9520									

	g	L. 116	sal i	hostique														
	DIA				GASn	CH4	C02	DQOt	DQOs	STT	STF	STV	SST	SSF	SSV	504	S-2	
	251	750	7.23	3017		0.617	0.383											
	252	B00	6,92			0.637	0.363											
	253		6.82					10560	9160									
	254		6.84				0.415											
	255		6,68				0.392											
	256		6.65				0.402										138.8	
	257			2850			0.462	11610	12010								130.0	
	258		6.687	-			0.409	34390	10000									
	259		6.91	2833	1019 2429			34370	10200								829.6	
	260 261		6.89				0.420											
	262		6.78				0.479											
	263		6.72		4258		V. 17.		10910									
	264		6,64		4528			,										
	265		6,63		3943			11860	11070									
	266			2600						13.94	6.21	7.73			1,24			
	267	790	6.52	2317	4506	0.511	0.489											
	268	740	6.54	2350	3762												396.3	
	269																	
	270				3470			10710	10520									
	271				3560													
	272		6,46				0.074									00.70	225.8	
	273			2867						15.43	6.5	8.93	1.36	0.43	0.71	70.70	322.6	
	274		6.24				0.581	1/840	100W								322.0	
	275 276		4.5B	2783	698.4													
	277	210		4050														
	278	770	6.87	4030	1107	0 500	0.200									82.32	188.9	
	279			4750			0.301			23.14	11.37	11.77	2.31	0.69	1.62			
	280	630	6.7				0.452	22100	20520			/	21				262.7	
	281	600					0.409										•	
	282		6,32				0.428											
	283		6.5		1320			20720	19720									

REACT	OR UAS	B2 pru	ieps													
DIA	q	pH	ALC					0Q0s	STT	STF	STV	SST	SSF	SSV	504	5-2
1	665			2109	0.B40	0.160	10942	8820								
2	750			1359	0.850	0.150										
3	740			2514			11214	8245								
4		6.35														354.0
5						0.360										
6						0.370										
7			2300			0.310		10166								225.8
9		6.58				0.280										
9		6.48			0.800	0.200										
10		6.61														
11						0.300		8481								263.8
12						0.265										
13	700			2839			13029	12037	10.78	4.924	6.058					
14		6,84														
15	745			2129			9469	11338								908'3
16		6.82		2940												
17		6.39		1764												
18	750			2312			11386	9363				4				175.1
19	340			4197												
20							11353	9363 9474 10038								
21	780			2251												
22	925			2656	0.628	0.372	5856	10038								
23		6.53		2333												
24	550			1865												
25		6.67	2440		0.695	0.305										
26	630			1703												
27			2440			0.286										
28		6.61				0.275										
29					0.408	0.092										
30	500	6.7	2400	2474												
31 32	1000			1257												
32		6.66					11103	10114								
34							10100									
35		7.53 7.02					10602	10150								
33		4.88				0.109										
37	1000	0.00	4420			0.024										
38		6.69	2120			0.020										
39						0.020	10522	0457								107 1
40	815					0.024	10322	7021								683.6
							11570	9077								252.1
42		u.,,				0.035				1 04	12.27					347.2
43	760					0.036			17,23	1470	12.27					347.2
44	700		2120			0.030										
45	600		2120			0.038										
45	790		2160			0.037										155.3
47	930			2480		V. Cur										15515
	1000		2220			0.119	10000	4484	22.99	10	12.98					107.6
49		7,17				0.025					-21.0					.01.10
50		6.99				0.024	8734	817A								162.9
51	620					,,,,,,,										89.18
52	620				0.961	0.039										31410
53	620		2640			0.144	9470	7955								89.1B
																3,110

REACT	or uas	B2 pru	eba									_				
DIA	Q	pН	ALC	GA5n	CH4	C02	DQGt	DQ0s	STT	STF	STV	SST	5SF	SSV	504	5-2
- 54	310		1740													
55	700	6.94	2550		0.717	0.083	8182	7636	22.76	10.51	12.25	4,66	1.05	3.61		112.2
56	800		2050													
57	770	7.11				0.031		6604								
58	820	7	2620	2345	0.768	0.032										
. 59	820															
60	660	7,24				0.117		7925								116.8
61					0.974	0.026										
62	610			2019	0.976	0.024	9211	9586								116.B
63	670	7.13			0.4/4	U.UZ6										
64						0.056	8148	3704								107.6
65	680	7.24		2323												
66	580					0.022										
67	620					0.025		4797								
68	660					0.038										
69			1600			0.027		7778								
70	520	7.35	1900			0.022										99.4
71						0,027										nn 4
72	610			2236	0,980	0.020										99.4
73	530															
74						0.033		5986								107.6
75	640	7.3	3400	2106		0.040										102.1
76			****			0.168		4231								107.6
77						0.028		****					•			149.1
78						0.026	2222	2222								135.3
79					0.954											133.3
80		6.42			0,973	0.149	75.70									135.3
81		7.03			0.980		3329	4110								38.5
82	//5	1.32	2/00	2286				3333								425.6
83 84			2640			0.043		2222								38.5
85	520					0.037										425.6
86					0.724											72310
87		7,35 7,29				0.032										480
88	630	7.38				0.200										
89	750	7.30	2400			0.024			14 47	5.02	0.45	2 74	0.83	1 01		490
90			2100			0.024	5744	1577	17.7/	3.02	7.13	2./7	0.65	1,,,		400
91						0.017		13/2							333.4	
92		7,28						4577	0 10	4.4	7 70	7 07	0.63	1 44		214
93		7.15			0.765		/173	6322	7.10	0,1	2.70	2,07	0.03			
73		7.33				0.019										472
95			1190					10550							1247	
96		7.28	2100	2710	0.771	0.029	**140	14337	11.20	4 97	4.47	2.24	0.63	1.43		472
97	700	7.35	2400	1807			4573	1970	*****			2.40	V.03			***
98	740	7 75	3070	2010	6 97B	0.022 0.024	.575	.027							930.2	560
99	760	7.23	5020	2837	0.974	0.074				5.44						
100	865	7.19		3123	V	-1447				*****						
.~	000			0.20												

REACTO	IR UAS	82 pru	eba													
	Q	pН	ALC	6ASn	CH4	C02	DQOt	DQOs	STT	STF	STV	551	SSF	SSV	S04	5-2
101	775	7.21		305B			8696	6522				1.78				155.2
102	B30	7.5B	3160	3477	0.974	0.026			11.49	5.74	5.75	1.78	0,57	1.21	559.8	
103		7.39		2672			8102	8182								16
104	260	7.54	2480								. ~					
105	670	7.28		25/5	0,972	0.028			11.18	5.33	5,65	2.71	0.//	1.74	6/4.1	155.2
106	660	7.28		2865	0.982	0.018	17059	3294								
107	630	1.72		2028												
108	920	1.72	2680		0.4/3	0.02/										193.6
109	750	7.18	2490		0.974	0.026	7451	F107	11.43	5.21	0./4	5.03	1.30	3.6/	140.2	212.8
110	740	7.09	2360		0.4/2	V.VZ6	7431	3103								
111	730	7.11	2300	3038	A 074	A 435			n 50			2 42			.72 0	
112	820	- 4	2200	3038	0.4/1	0.024	E010	4040	4.34	4.74	4.03	2,49	V. 0	1.69	172.9	241 6
114	000	7 ^	2040	2010			3810	4740								24110
115	000	7.01		2771												280
116	610	7 00	2700	2730	A 074	0.024			0.70			2 71			175 0	200
117	450	7 1	2000	2274	0.777	0.020	5050	3510	0.70			2.71			133.0	241.6
110	740	7.27		2432			3650	3010				2.71				241.0
119	790	7.27	2480	5840	0.974	0.024			7 94	4	7 94	1.83	AF 0	1 47		290
120	07.4	7.15	2400	3279	0.940	0.040			****	,	4.77	1.03	0100	****		B.AAI
121	640	7.03	2700	TTAS	0.740	0.040										14110
122	950	,,,,,	2,00	5623	*****	*****									139.9	145.4
123	B30	6.94		3691			5170	5720	7.93	3.23	4.7	2.5	0.43	2.07	189.3	
124																
125	660	7.45	1900	3474								7.7 30.76 25.59				
126	630	7.16	2520	3300	0.973	0.027			13.09	5.19	7.9	7.7	1.69	6.01		145.6
127	640	7.23	2640	2063			2940	590		• • • • • • • • • • • • • • • • • • • •			••••	-,	600.9	1672
128	650	7	2600	4473												
129	640			4559				3130								510.4
130	875	7.34	2800	4494											131.7	
131	770	7.41	2500	4581			8540	4270	35.28	9.95	25.33	30.76	7.14	23,62		1672
132	725	7.27		3213												
133										9.82	26.58					
134	795	7.28	2340	6101	0.686	0.314	18240	5880							798.5	313.6
135	750			5015	0,827											
136	830			5059	0.827	0.173						17.94				253.7
137	750	7.35	3000	3409			26000	9000							209.9	
138	B70	7.35		3257	0.965	0.035			23.32	13.95	9.37	17.94	4.47	13.47		313.6
139	878			3083												
140	540	7.59	2100	3235	0.962	0.038			23.68	7.89	15.79	18.1	4.79	13.31		253.7
141	965	7.98	2340	1824											209.9	
142	825	7.39		3192												
143	760	7.33		2909												161.5
144	670	7.34	2560	2909	'		4270	610								
145	680			2827					4.92	4.35	5.57	5.2 1.41	1.54	3.66		
146	740			2012												
147	642	0.75	1760	1847				6400	8.59	4.08	4.51	1.41	0.41	. 1		161.5
148	633	7.41	2500	3234			11220	3320							135.8	

		B2 pru														
DIA						CO2	DQOt		511	STF	STV	SST	SSF	SSV	S04	5-2
149		7.92	2550					2000								101.6
150	525	<b></b>			0.981	0.019									366.3	
151	550	7.48	2910	2108												
152		7.49					5880		<b>.</b>							
153	625	7.21			0.976	0.024			7.44	3.86	3.58	1.24	0.34	0.88		101.6
154		7.3		3402	0.977											
155				7100		0.033										345.9
156	620	7.27		3477	0.971	0.029									164.6	
157	123	/-14		2048						,						
158	770	7.17		3073					7.25	3.16	4.09	0.75	0.5	0.23		
159	710	7.35	1950	2939	0.884	0.111		6250								120.1
160		7.65		3/2/					9.98	3.4	6.08	4.58	1.33			
161		7.46	2460	2016	0.951	0.049									90.55	345.9
162	635	1.19	2830	24/3	0.472	0.028		7000								
163	740			2646				2000								
164	B25			2361				4054							123.5	
165		7.41		4234			3430	4930								
166		7.19	****	3514	0.460	0.040	5450		10	4,28	5.72	5.23	1,54	3.69		
167	605 650	7.5	2880	28/3	0.480	0.020										141.4
168		7.14	7100	2101	0.751	0.049									<b></b> .	
169			2020	2981	0.974	0.026									374.6	116.6
170		7.28			*****	****										
171		7.26			0.977											
172	735				0.955	0.043										
173		7.84														141.4
174		7.42			0.945											124.9
175			3030				3370									116.6
176		7.18			0,685				6.73							155
177	625				0.968										148.2	
178	690	7.3	****		0.944											
179					0.658		ar 74								312.8	
150	390	7.61				0.025	B570	6140	24.28	25.88	3.4	1.26	0.37	0.89		124.9
191	320	7.12	1420	3585			70.0									188.8
182 183			0076				7210			12.49	25,68	35.79	10.76	24.83		
	1150						32550	1420								335.4
184 185			2//5		0.953											
	1460	7.06	PEAA		0.929											
186					0.899										395.1	
187 188	1485 1700	,	2039	0000	0.740	0.060	27310	\$240	14.65	7.49	12.56	15.1				199,8
189		6.77			0.907								73			316.6
190		6.98					34590			12.58	8,48	17.05	4.27			335.4
	1300	7.1		0000	0.754	0.066	40950	62/0							135.8	185
191 192	1700	7 67		7454	0.943	0.001										
	1300	/.0/	2576	/404	0.906	0.094		E400								
193 194	1380	7 (1	27/2	0100				2400							41.16	
	1780	/ -11	2400	/141	A DE-				10.44	5.45	10,49	10.68	2,37	8.31		316.6
195	1680	0./3		7018	0.738	0.042										218,9
	1150	1.12	3023	4524	0.4/3	0.027			30.8	4.13	21.67	18.82	4.16	14.66		185
197															168.6	
198	465	5.1		654.3												

	rok u	ASB2	Pusp	۹									nort.			
DIA							DUUT	DUUS	STT	SIF	517	SST	5SF	SSV	S04	5-2
199		4.98			0.993										218.1	
200		4.07				0.006	14690	11850								
201	510	5.34		569												218.9
202							21530	19030								
203	544	5.35	3975		0.587	0.413										
204	685	6.49	2500	768.1												
205	575	5.31		493.6	0.514	0.486										
206		5.67		711.2												
207		6.02														177.2
208	700			625.9												
209		6.14														
210		6.33														
211	940	0.53		317.4			17250	17500								
212		6.16	****				17230	12200								
213		6.13		369.8												
214		6.65														211.2
215		7.33		625.9												177.2
216		7.23														258.8
217	530		3583													
218	750	7.64		1906												
219	625	7.73		2447												
220	805	7.89		3841												
221	890	7.84	3467	4182												911.2
222	730	7.96	3242	2646			10300	9100	11.83	6.1	5.73	2.57	0.7	1.87		211.2
223		7.33					23400	9000		•	*****		•••			190.B
224		7.13		3670				,,,,,	76 97	0 47	10 44	19 52	4 11	14 41		
225		7.44	3108						24.75	u. 77	10110	10.02	7,,,,	.,,,,		20010
226	630	****		41B2											98.78	
227		6.64		3901			24700								70.76	
228		6.85		4407												FA7 /
							24500	10500								503.6
229		7.06														911.2
230		7.09	2/08	3901			32000	8900								
231		7.18		3497					30.07	7.39	22,68	28,28	5,19	23,09		190.8
232		7.04														
233		7.28						9340								
234		7.27		3942				13310								
235	720	6.91	3067	3275												177.2
236	675	5,31		1718												503.6
237	0	7.41	2900	2587												
238	600	7,45	3850	2970			13120	9890							16.46	
239		7.48														469.6
240		7.43		2729			12250	11950								
241		7.23		3457				00								
242		7.06		3416												170.4
243		7.23														177.2
244		7.21														
245		7.22	2022													
				3857			****									
246		7.05		3249			11300	11100								
247	625		***			0.033										
248						0.045										4.5
249	680	7.3	2167	3794	0.880	0.120										166

REACTO	R 095	82 pe	clea														
DIA	q			GASn	CH4	CO2	DQGt	DQOs	STT	STF	STV	SST	59F	SSV	S04	5-2	
250	725	7.79		4339			9330	8330								170.4	
251	€35	7.91	1B67		0.957												
252	700	7.3			0.934												
253		7.22			0.873		8570	7770									
254		7.11			0.746												
255		7.46			0.970	0.030											
256 257		7.33	2317 1B33				0376	7680								166	
25B		7.31	1822		0.932	0.010	8270	7600								202.8	
259		7.14	1750		0.734			18580								202.0	
260		7.07	1/30	2111	0.104	0.000		10000								822.8	
261		7.36		3773	0.905	0.095											
262		7.18			0.793											364	
263		7.11		5220			7740	6650									
264	B50	7.1		5262												506.9	
265	825	7.75		5744			8300	7910									
266	580	7.16	3350						11.35	5.08	6.27			2.52			
267		7.05	2B00		0.950												
268	690	6.95	2667	4842	0.872	0.128							_			202.8	
269										5.42	6.42	0.88	0.17	0.71			
270		6.85					8530	6750								741.9	
271		7.19		5492													
272		7.14			0.568		2410	naco	75	= /.		1 70	A 45			364	
273 274		7.08	2733		0.952				12.33	3,64	6.71	1.33	0.43	0.9		506.9	
275	635	7.1		5073	0.732	V. 040	7/30	7000								300.7	
276	600	7.1	3583												127.6		
277		7,13	3117		0.792	0.70R			14.57	4.44	8.13	2.55	0.64	1.91			
278		7.17	••••		0.927							2.00	٠	••••		585,2	
279		7.27	2167				15260	8840	16.97	6.53	10.44	5.29	0.9	4.39		00012	
280	680	7.18	2050					9760								741.9	
281	640	7.26	3383		0.932										148.2	129.1	
282	530	7.15		3270	0,948	0.052											
283	400	7.2		2725				9160									
284		7.25			0.882												
285		7.38					11510	11510	14.37	6.53	7.84	3.78	0.66	3.12			
286		7.24			0.912												
287		7.23								5.82	7.28	1.98	0.55	1.43			
288		7.63						5670									
289	640	7.2		5241	U.750	U.250	10710	9330	13.84	6.26	7.58	1.58	0.42	1.16			

# PROCENTAJE DE ${\rm H_2S}$ CONTENIDO EN EL GAS PRODUCIDO

DIA	UASB1	UASB2
92	2.75	0.43
160	2.3	0.51
186		0.4
250	2.41	
264		0.39